



TUGAS AKHIR - KS 141501

**PREDIKSI NILAI WARNA LARUTAN (ICUMSA)
DAN BESAR JENIS BUTIR (BJB) UNTUK
MENENTUKAN KUALITAS GULA
BERDASARKAN METODE SUPPORT VECTOR
MACHINE
(STUDI KASUS: PT. PABRIK GULA RAJAWALI
I SURABAYA)**

***PREDICTION OF THE VALUE OF SOLAR
COLOR (ICUMSA) AND GREAT TYPE OF BULB
(BJB) FOR DETERMINING SUGAR QUALITY
BASED ON SUPPORT VECTOR MACHINE
METHOD
(CASE STUDY: PT PABRIK GULA RAJAWALI I
SURABAYA)***

Ria Widiya Ariani
NRP 5214100066

Dosen Pembimbing
Wiwik Anggraeni, S.Si., M.Kom.

DEPARTEMEN SISTEM INFORMASI
Fakultas Teknologi Informasi dan Komunikasi
Institut Teknologi Sepuluh Nopember
Surabaya 2018



Nopember



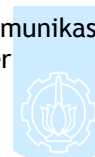
TUGAS AKHIR - KS 141501

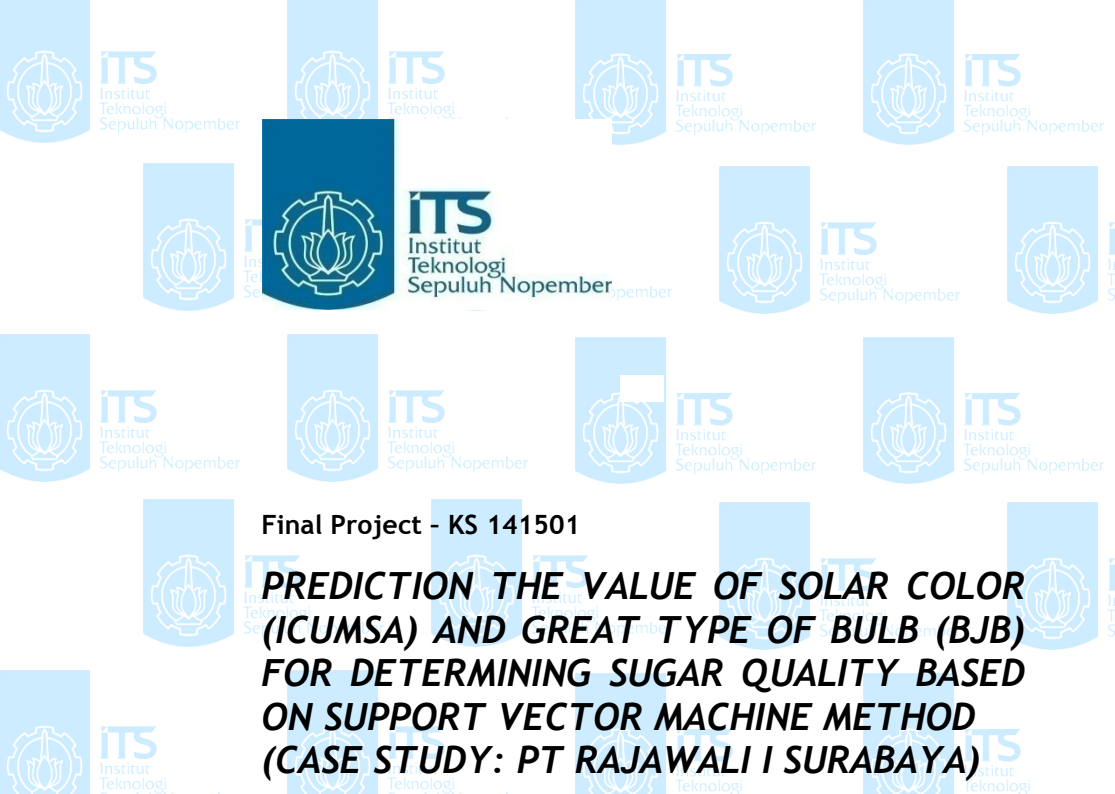
PREDIKSI NILAI WARNA LARUTAN (ICUMSA) DAN BESAR JENIS BUTIR (BBJ) UNTUK MENENTUKAN KUALITAS GULA BERDASARKAN METODE SUPPORT VECTOR MACHINE (STUDI KASUS: PT. PABRIK GULA RAJAWALI I SURABAYA)

Ria Widiya Ariani
NRP 05214100066

Dosen Pembimbing
Wiwik Anggraeni, S.Si., M.Kom.

DEPARTEMEN SISTEM INFORMASI
Fakultas Teknologi Informasi dan Komunikasi
Institut Teknologi Sepuluh Nopember
Surabaya 2018





Final Project - KS 141501

**PREDICTION THE VALUE OF SOLAR COLOR
(ICUMSA) AND GREAT TYPE OF BULB (BJB)
FOR DETERMINING SUGAR QUALITY BASED
ON SUPPORT VECTOR MACHINE METHOD
(CASE STUDY: PT RAJAWALI I SURABAYA)**

**Ria Widiy Ariani
NRP 05214100066**

**Supervisor
Wiwik Anggraeni, S.Si., M.Kom.**

**Information System Department
Faculty of Information Technology and Communication
Institut Teknologi Sepuluh Nopember
Surabaya 2018**



LEMBAR PENGESAHAN

PREDIKSI NILAI WARNA LARUTAN (ICUMSA) DAN BESAR JENIS BUTIR (BJB) UNTUK MENENTUKAN KUALITAS GULA BERDASARKAN METODE SUPPORT VECTOR MACHINE (STUDI KASUS: PT. PABRIK GULA RAJAWALI I SURABAYA)

TUGAS AKHIR

Disusun Untuk Memenuhi Salah Satu Syarat
Memperoleh Gelar Sarjana Komputer
pada

Departemen Sistem Informasi
Fakultas Teknologi Informasi dan Komunikasi
Institut Teknologi Sepuluh Nopember

Oleh:

RIA WIDIYA ARIANI
NRP 5214100066

Surabaya, Januari 2018

Plh Ketua
Departemen Sistem Informasi


Edwin Riksakomara, S.Kom, MT.
NIP 196907252003121001

LEMBAR PERSETUJUAN

PREDIKSI NILAI WARNA LARUTAN (ICUMSA) DAN BESAR JENIS BUTIR (BJB) UNTUK MENENTUKAN KUALITAS GULA BERDASARKAN METODE SUPPORT VECTOR MACHINE (STUDI KASUS: PT. PABRIK GULA RAJAWALII SURABAYA)

TUGAS AKHIR

Disusun Untuk Memenuhi Salah Satu Syarat
Memperoleh Gelar Sarjana Komputer
pada

Departemen Sistem Informasi
Fakultas Teknologi Informasi dan Komunikasi
Institut Teknologi Sepuluh Nopember

Oleh :

RIA WIDIYA ARIANI

NRP 5214100066

Disetujui Tim Penguji : Tanggal Ujian : 15 Januari 2018
Periode Wisuda : Maret 2018

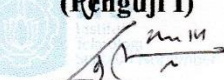
Wiwik Anggraeni, S.Si., M.Kom.


(Pembimbing I)

Ahmad Mukhlason, S.Kom, M.Sc.


(Penguji I)

Faizal Mahananto, S.Kom, M.Eng, Ph.D


(Penguji II)

**PREDIKSI NILAI WARNA LARUTAN (ICUMSA) DAN
BESAR JENIS BUTIR (BJB) UNTUK MENENTUKAN
KUALITAS GULA BERDASARKAN METODE
SUPPORT VECTOR MACHINE
(STUDI KASUS: PT. PABRIK GULA RAJAWALI I
SURABAYA)**

Nama Mahasiswa : Ria Widiya Ariani
NRP : 5214100066
Jurusan : Sistem Informasi FTIK-ITS
Dosen Pembimbing I : Wiwik Anggraeni, S.Si., M.Kom.

ABSTRAK

Gula merupakan salah satu komoditas yang sering kita temui dalam kehidupan sehari-hari. Gula biasa dimanfaatkan untuk menambah cita rasa manis pada makanan atau minuman. Penggunaan gula tidak hanya oleh rumah tangga namun juga banyak digunakan di bidang industri, khususnya industri di bidang makanan dan minuman. Mengingat penggunaan gula baik di rumah tangga atau industri, tidak heran jika jumlah konsumsi gula di Indonesia juga besar. Sebagai bahan untuk membuat produk makanan atau minuman yang akan dikonsumsi oleh masyarakat, gula yang dipergunakan tentunya perlu memenuhi standar kualitas atau mutu tertentu agar layak untuk dikonsumsi. Untuk itu, pemerintah melalui Badan Standardisasi Nasional telah mengatur standar mengenai kualitas gula.

PT. PG Rajawali I Surabaya merupakan salah satu pabrik yang memproduksi gula. Untuk dapat melakukan pengujian kualitas gula, perusahaan memerlukan pihak ketiga yang berlokasi diluar Surabaya. Hal ini menyebabkan perusahaan mengalami kesulitan untuk melakukan pengujian kualitas gula yaitu berupa permasalahan biaya yang mahal dan waktu yang dibutuhkan untuk pengujian lama.

Untuk mengatasi permasalahan tersebut, perusahaan dapat melakukan prediksi kualitas gula mereka sendiri. Karena dapat

dilakukan sendiri, waktu yang dibutuhkan bisa menjadi lebih singkat sehingga bisa segera dilakukan evaluasi jika hasil produksi kualitasnya rendah. Melalui penelitian tugas akhir ini, metode Support Vector Machine (SVM) digunakan untuk memprediksi kualitas gula yang dihasilkan di PT. PG Rajawali I Surabaya. SVM merupakan salah satu metode yang dapat digunakan untuk melakukan prediksi dengan mencari nilai hyperplane dari data-data yang ada. Nilai prediksi dapat dioptimumkan dengan mengatur parameter-parameter yang mempengaruhi prediksi. Model terbaik untuk data training ditentukan berdasarkan nilai root mean square error (RMSE) dan absolute error dari hasil prediksi. Namun model terbaik untuk testing ditentukan berdasarkan nilai MAPE yang dihasilkan.

*Pada penelitian ini, terdapat tiga jenis kualitas gula yang dihasilkan yaitu GKP 1, GKP 2, dan gula yang tidak termasuk kedalam GKP 1 atau GKP 2 (*undefined*). Untuk menentukan kualitas gula tersebut, proses produksi sangat berpengaruh. Dimana pada masing-masing proses produksi terdapat beberapa parameter yang perlu dipenuhi agar gula tersebut bisa menghasilkan kualitas yang sesuai standar.*

Model terbaik untuk data testing warna larutan (ICUMSA) yang memberikan MAPE terbaik adalah menggunakan kernel Radial, $C=18.65$, $\gamma=0.045$ dengan MAPE 31% yang termasuk kategori cukup baik. Model terbaik untuk data testing BJB menghasilkan MAPE sebesar 8% termasuk kategori sangat baik. Untuk kernel Dot nilai $C=1$ dan kernel Radial $C=0.675$ serta $\gamma=8.65$. Sedangkan hasil akurasi klasifikasi kualitas gula terbaik adalah sebesar 73.33% dengan menggunakan kernel Dot.

Kata Kunci : kualitas gula, support vector machine, prediksi, parameter, klasifikasi

**PREDICTION THE VALUE OF SOLAR COLOR
(ICUMSA) AND GREAT TYPE OF BULB (BJB) FOR
DETERMINING SUGAR QUALITY BASED ON
SUPPORT VECTOR MACHINE METHOD
(CASE STUDY: PT RAJAWALI I SURABAYA)**

| | |
|---------------------|----------------------------------|
| Student Name | : Ria Widiya Ariani |
| SIDN | : 5214100066 |
| Department | : Information System FTIK-ITS |
| Supervisor I | : Wiwik Anggraeni, S.Si., M.Kom. |

ABSTRACT

Sugar is one of commodity that we use everyday in our life. Sugars are used to add sweet taste to foods or drinks. The use of sugar is not only by household but also widely used in industry, especially industry in foods and beverages. Given the use of sugar either in the household or industry, do not be surprised if the amount of sugar consumption in Indonesia is also large. As an ingredient to make foods or beverage products that will be consumed by the customers, sugar must have certain quality or quality standards to be worth consuming. To ensure this condition, the government through the National Standardization Agency has set the standard on the quality of sugar.

PT. PG Rajawali I Surabaya is one of the sugar producing factories. To be able to test the quality of sugar, the company requires a third party located outside of Surabaya. This causes the company to have difficulty to conduct sugar quality testing that is in the form of expensive cost problems and the time required for the old test.

To solve these problems, companies can make predictions of their own sugar quality. Because it can be done alone, the time required can be shortened so that the evaluation can be done immediately if the quality of production is low. Through this final project, Support Vector Machine (SVM) method is used to

predict the quality of sugar produced at PT. PG Rajawali I Surabaya. SVM is one method that can be used to make predictions by finding the value of hyperplane from existing data. Predicted values can be optimized by setting parameters that affect predictions. The best model for training data is determined based on the root mean square error (RMSE) and the absolute error value of the predicted result. However the best model for testing is determined based on the resulting MAPE value.

In this research, there are three types of quality of sugar produced are GKP 1, GKP 2, and sugar which is not included into GKP 1 or GKP 2 (undefined). To determine the quality of sugar, the production process is very influential. Where in each production process there are several parameters that need to be met so that the sugar can produce the appropriate quality standard.

The best model for color solution testing (ICUMSA) which gives the best MAPE is using Radial kernel, $C = 18.65$, $\gamma = 0.045$ with MAPE 31% which is good enough category. The best model for BJB data testing yields 8% MAPE including excellent category. For Dot kernel value $C = 1$ and Radial kernel $C = 0.675$ and $\gamma = 8.65$. While the best quality classification accuracy is 73.33% by using Dot kernel kernel.

Keyword : sugar quality, support vector machine, prediction, parameter, classification

KATA PENGANTAR

Rasa syukur saya ucapkan kepada Allah SWT atas limpahan rahmat dan karunianya, sehingga Tugas Akhir dengan judul **PREDIKSI NILAI WARNA LARUTAN (ICUMSA) DAN BESAR JENIS BUTIR (BJB) UNTUK MENENTUKAN KUALITAS GULA BERDASARKAN METODE SUPPORT VECTOR MACHINE (STUDI KASUS: PT. PABRIK GULA RAJAWALI I SURABAYA)** dapat selesai dengan baik dan tepat waktu.

Tak lupa penulis juga mengucapkan terima kasih kepada seluruh pihak yang telah membantu penulis selama menempuh pendidikan di Departemen Sistem Informasi ini, diantaranya:

- Kepada Rifa'i dan Kaulah selaku kedua orang tua penulis dan seluruh anggota keluarga penulis yang senantiasa mendoakan dan memberikan dukungan kepada penulis.
- Kepada Ibu Wiwik Anggraeni, S.Si., M.Kom. selaku dosen pembimbing, penulis mengucapkan terima kasih sebanyak-banyaknya atas bimbingan dan kesabarannya hingga Tugas Akhir ini dapat terselesaikan.
- Kepada Bapak Ahmad Mukhlason dan Faizal Mahananto S.Kom., M.Eng., Ph.D. selaku dosen penguji 1 dan dosen penguji 2, penulis juga mengucapkan terima kasih atas kesediannya memberikan masukan, kritik, dan sarannya kepada penelitian ini.
- Kepada Bapak Faisal Johan Atletiko selaku dosen wali penulis yang telah membimbing penulis selama masa studi di Departemen Sistem Informasi ITS.
- Kepada sahabat-sahabat saya Dian Reny Auditiasofa, Fity Ainiqolbi, Mas Amaliyah, Nilam Cahya Nafiah, Nishrina Dini, dan Redty Yaniari yang selalu memberikan semangat dan mendengarkan keluh kesah penulis.
- Kepada sahabat-sahabat saya Erma Maulina Q.A, Hiqma Lovenya Janalasika, Niken Dwi Trisnaningati, dan Trishna Fadea D.N yang selalu memberikan dukungan dalam berbagai hal dan berbagi keceriaan selama 3.5 tahun ini.

- Kepada dosen, staff, dan karyawan di Departemen Sistem Informasi ITS yang telah memberikan ilmu dan bantuan secara langsung ataupun tidak kepada penulis.
- Dan kepada pihak-pihak lain yang belum bisa penulis sebutkan pada buku ini.

Penulis menyadari bahwa masih terdapat kekurangan-kekurangan atas hasil Tugas Akhir ini. Karena itu, penulis berharap dapat dilakukan penelitian lebih lanjut oleh para peneliti yang lain terkait topik yang diangkat oleh penulis dalam Tugas Akhir ini. Sehingga bisa didapatkan hasil yang lebih baik kedepannya.

Semoga penelitian Tugas Akhir ini dapat menjadi hasil penelitian yang bermanfaat bagi para akademisi khususnya di departemen Sistem Informasi ITS.

Surabaya, Januari 2018

Penulis

DAFTAR ISI

| | |
|---|-------|
| LEMBAR PENGESAHAN | vii |
| LEMBAR PERSETUJUAN | ix |
| ABSTRAK | x |
| ABSTRACT | xii |
| KATA PENGANTAR | xiv |
| DAFTAR ISI | xvi |
| DAFTAR GAMBAR | xix |
| DAFTAR TABEL | xxi |
| DAFTAR LAMPIRAN | xxiii |
| BAB I PENDAHULUAN | 1 |
| 1.1. Latar Belakang | 1 |
| 1.2. Rumusan permasalahan | 5 |
| 1.3. Batasan Permasalahan | 5 |
| 1.4. Tujuan | 5 |
| 1.5. Manfaat | 6 |
| 1.6. Relevansi | 6 |
| BAB II TINJAUAN PUSTAKA | 7 |
| 2.1 Studi Sebelumnya | 7 |
| 2.2 Dasar Teori | 9 |
| 2.2.1. Gula Kristal Putih | 9 |
| 2.2.2. Proses Produksi Gula Kristal Putih | 10 |
| 2.2.3. Kriteria Kualitas Gula Kristal Putih | 12 |
| 2.2.4. Standar Parameter Proses | 16 |
| 2.2.5. Support Vector Machine | 18 |
| 2.2.6. Grid Search | 24 |
| 2.2.7. Genetika Algoritma (GA) | 24 |
| 2.2.8. Evaluasi Hasil | 24 |
| BAB III METODOLOGI | 27 |
| 3.1. Tahapan Pelaksanaan Tugas Akhir | 27 |
| 3.1.1. Identifikasi permasalahan | 28 |
| 3.1.2. Studi literatur | 28 |
| 3.1.3. Menentukan metode penelitian | 28 |
| 3.1.4. Mengumpulkan data | 28 |
| 3.1.5. Pra-processing data | 29 |
| 3.1.6. Menentukan parameter pengujian | 29 |
| 3.1.7. Membangun model support vector machine .. | 29 |

| | |
|---|-----------|
| 3.1.8. Menentukan parameter optimum | 30 |
| 3.1.9. Melakukan prediksi..... | 30 |
| 3.1.10.Mengklasifikasikan hasil prediksi warna larutan (ICUMSA) dan BJB..... | 30 |
| 3.1.11.Mengklasifikasikan kualitas gula | 31 |
| 3.1.12.Evaluasi hasil klasifikasi | 31 |
| 3.1.13.Penarikan kesimpulan | 31 |
| 3.1.14.Penyusunan laporan tugas akhir | 31 |
| BAB IV PERANCANGAN | 33 |
| 4.1. Tahap Pre-Processing Data | 33 |
| 4.1.1. Penanganan <i>missing value</i> data..... | 33 |
| 4.1.2. Import data pada Rapidminer..... | 35 |
| 4.2. Tahap Penyusunan Model pada Rapidminer | 38 |
| 4.2.1. Perancangan data training warna larutan (ICUMSA) dan BJB..... | 39 |
| 4.2.2. Perancangan data testing warna larutan (ICUMSA) dan BJB | 50 |
| 4.2.3. Perancangan klasifikasi warna larutan (ICUMSA) dan BJB dan kualitas gula..... | 52 |
| BAB V IMPLEMENTASI..... | 55 |
| 5.1. Penentuan Parameter | 55 |
| 5.2. Penentuan Parameter Optimum..... | 55 |
| 5.2.1. Data Training 80%:20% | 56 |
| 5.2.2. Data Training 60%:20% | 60 |
| 5.3. SVM Genetika Algoritma (GA) | 64 |
| 5.3.1. Data Training 80%:20% | 65 |
| 5.3.2. Data Training 60%:40% | 66 |
| BAB VI HASIL DAN PEMBAHASAN | 67 |
| 6.1. Hasil Prediksi | 67 |
| 6.1.1. <i>Grid search:</i> data 80%:20% | 67 |
| 6.1.2. <i>Grid search:</i> data 60%:40% | 68 |
| 6.1.3. Genetika Algoritma: data 80%:20% | 71 |
| 6.1.4. Genetika Algoritma: data 60%:40% | 76 |
| 6.2. Evaluasi Hasil Prediksi Warna Larutan (ICUMSA) dan BJB | 81 |
| 6.3. Klasifikasi Hasil Prediksi Warna Larutan (ICUMSA) dan BJB | 82 |

| | |
|--|-----|
| 6.4. Evaluasi Hasil Klasifikasi Warna Larutan (ICUMSA) dan BJB..... | 83 |
| 6.3.1. <i>Grid search:</i> data 80%:20% | 83 |
| 6.3.2. <i>Grid search:</i> data 60%:40% | 84 |
| 6.3.3. Genetika Algoritma: data 80%:20% | 86 |
| 6.3.4. Genetika Algoritma: data 60%:40% | 87 |
| 6.5. Klasifikasi Kualitas Gula..... | 90 |
| 6.6. Evaluasi Hasil Klasifikasi Kualitas Gula..... | 91 |
| BAB VII PENUTUP | 95 |
| 7.1. Kesimpulan..... | 95 |
| 7.2. Saran | 96 |
| DAFTAR PUSTAKA..... | 99 |
| BIODATA PENULIS..... | 103 |
| LAMPIRAN A : DATA AKTUAL..... | A-1 |
| LAMPIRAN B : HASIL PREDIKSI SVM GRID SEARCH DAN KLASIFIKASI BJB DAN ICUMSA | B-1 |
| LAMPIRAN C : DATA HASIL PREDIKSI DAN KLASIFIKASI SVM GA | C-1 |
| LAMPIRAN D : DATA HASIL KLASIFIKASI KUALITAS GULA | D-1 |
| LAMPIRAN E : CONTOH HASIL PERHITUNGAN PREDIKSI SVM | E-1 |

DAFTAR GAMBAR

| | |
|--|----|
| Gambar 1. 1 Jumlah Impor Gula Nasionals | 2 |
| Gambar 2. 1 Parameter Proses untuk Prediksi ICUMSA..... | 16 |
| Gambar 2. 2 Parameter Proses untuk Prediksi BJB | 16 |
| Gambar 2. 3 Klasifikasi dengan Metode SVM[25]..... | 19 |
| Gambar 2. 4 Proses perhitungan SVM..... | 22 |
| Gambar 3. 1 Metodologi penelitian..... | 27 |
| Gambar 4. 1 Langkah spenggunaan fitur <i>Replace Missing Value</i> pada SPSS | 33 |
| Gambar 4. 2 Pengaturan Replace Missing Value pada SPSS | 34 |
| Gambar 4. 3 Penanganan <i>Missing Value</i> dengan SPSS | 35 |
| Gambar 4. 4 Fitur Add Data pada Rapidminer | 36 |
| Gambar 4. 5 Kotak dialog pemilihan data yang akan diimpor pada Rapidminer | 36 |
| Gambar 4. 6 Pengaturan format kolom data pada Rapidminer | 37 |
| Gambar 4. 7 Pengaturan lokasi penyimpanan data yang diimpor pada Rapidminer | 38 |
| Gambar 4. 8 Hasil impor data pada Rapidminer | 38 |
| Gambar 4. 9 Operator-operator pada Rapidminer..... | 39 |
| Gambar 4. 10 Operator <i>retrieve data</i> | 40 |
| Gambar 4. 11 Operator <i>optimize parameters (grid)</i> | 40 |
| Gambar 4. 12 Operator cross validation..... | 41 |
| Gambar 4. 13 Pengaturan cross validation..... | 41 |
| Gambar 4. 14 Opeator <i>Apply Model</i> dan <i>Write Model</i> | 42 |
| Gambar 4. 15 Pengaturan operator <i>write model</i> | 42 |
| Gambar 4. 16 Pengaturan operator <i>performance (regression)</i> | 43 |
| Gambar 4. 17 Operator <i>support vector machine</i> | 44 |
| Gambar 4. 18 Pengaturan operator SVM | 44 |
| Gambar 4. 19 Pengaturan <i>optimize parameters (grid)</i> | 45 |
| Gambar 4. 20 Pemilihan parameter untuk dioptimasi | 45 |
| Gambar 4. 21 Pengaturan jenis kernel | 46 |
| Gambar 4. 22 Pengaturan parameter C | 46 |
| Gambar 4. 23 Pengaturan parameter gamma | 47 |
| Gambar 4. 24 Proses/layer 1 SVM grid search | 47 |
| Gambar 4. 25 Proses/layer 2 SVM <i>grid search</i> | 48 |

| | |
|--|----|
| Gambar 4. 26 Proses/layer 3 SVM <i>grid search</i> | 48 |
| Gambar 4. 27 Operator <i>retrieve data</i> | 48 |
| Gambar 4. 28 Operator <i>optimize selection</i> | 49 |
| Gambar 4. 29 Proses/layer 1 model SVM GA | 49 |
| Gambar 4. 30 Proses/layer 2 model SVM GA | 50 |
| Gambar 4. 31 Proses/layer 3 model SVM GA | 50 |
| Gambar 4. 32 Operator read model | 51 |
| Gambar 4. 33 Rancangan model untuk data testing | 51 |
| Gambar 5. 1 Model SVM grid search..... | 56 |
| Gambar 5. 2 Pengaturan parameter C..... | 57 |
| Gambar 5. 3 Pengatura parameter gamma..... | 58 |
| Gambar 5. 4 Model SVM GA | 65 |
| Gambar 6. 1 Grafik Data Aktual BJB dan Prediksi SVM Grid Search (80%:20%) | 67 |
| Gambar 6. 2 Grafik Data Aktual ICUMSA dan Prediksi SVM Grid Search (80%:20%) | 68 |
| Gambar 6. 3 Grafik Data Aktual BJB dan Prediksi SVM Grid Search (60%:40%) | 69 |
| Gambar 6. 4 Grafik Data Aktual ICUMSA dan Prediksi SVM Grid Search (60%:40%) | 70 |
| Gambar 6. 5 Grafik Data Aktual BJB dan Prediksi SVM GA (80%:20%)..... | 72 |
| Gambar 6. 6 Grafik Data Aktual ICUMSA dan Prediksi SVM GA (80%:20%)..... | 73 |
| Gambar 6. 7 Grafik Data Aktual BJB dan Prediksi SVM GA (60%:40%)..... | 77 |
| Gambar 6. 8 Grafik Data Aktual ICUMSA dan Prediksi SVM GA (60%:40%)..... | 78 |
| Gambar 6. 9 Grafik perbandingan akurasi klasifikasi ICUMSA | 89 |
| Gambar 6. 10 Grafik perbandingan akurasi klasifikasi BJB .. | 90 |
| Gambar 6. 11 Grafik perbandingan akurasi klasifikasi kualitas gula | 92 |

DAFTAR TABEL

| | |
|---|----|
| Tabel 1. 1 Tabel Konsumsi Gula Nasional..... | 1 |
| Tabel 2. 1 Kriteria Kualitas Gula Kristal Putih (SNI 3140.3:2010) | 14 |
| Tabel 2. 2 Standar Parameter Proses Produksi Gula | 17 |
| Tabel 2. 3 Confusion matrix..... | 26 |
| Tabel 5. 1 Rentang nilai parameter C dan gamma | 55 |
| Tabel 5. 2 Parameter optimum variabel BJB data training 80%:20% | 58 |
| Tabel 5. 3 Parameter optimum variabel ICUMSA data training 80%:20% | 59 |
| Tabel 5. 4 Parameter optimum variabel BJB data training 60%:40% | 61 |
| Tabel 5. 5 Parameter optimum variabel ICUMSA data training 60%:40% | 63 |
| Tabel 5. 6 Hasil error SVM GA 80%:20% | 65 |
| Tabel 5. 7 hasil error SVM GA 60%:40% | 66 |
| Tabel 6. 1 Daftar atribut BJB yang relevan hasil SVM GA | 74 |
| Tabel 6. 2 Daftar atribut ICUMSA yang relevan hasil SVM GA | 74 |
| Tabel 6. 5 Daftar atribut BJB yang relevan hasil SVM GA | 79 |
| Tabel 6. 6 Daftar atribut ICUMSA yang relevan hasil SVM GA | 79 |
| Tabel 6. 7 Standar klasifikasi gula kristal putih (SNI 3140.3:2010) | 82 |
| Tabel 6. 8 Confusion matrix ICUMSA kernel Dot (80%:20%) .. | 83 |
| Tabel 6. 9 Confusion matrix ICUMSA kernel Radial (80%:20%) | 84 |
| Tabel 6. 10 Confusion matrix BJB kernel Dot (80%:20%) | 84 |
| Tabel 6. 11 Confusion matrix BJB kernel Radial (80%:20%) ... | 84 |
| Tabel 6. 12 Confusion matrix ICUMSA kernel Dot (60%:40%) | 85 |
| Tabel 6. 13 Confusion matrix ICUMSA kernel Radial (60%:40%) | 85 |
| Tabel 6. 14 Confusion matrix BJB kernel Dot (60%:40%) | 85 |
| Tabel 6. 15 Confusion matrix BJB kernel Radial (60%:40%) ... | 86 |
| Tabel 6. 16 Confusion matrix ICUMSA kernel Dot (80%:20%) | 86 |

| | |
|--|----|
| Tabel 6. 17 Confusion matrix ICUMSA kernel Radial (80%:20%) | 86 |
| Tabel 6. 18 Confusion matrix BJB kernel Dot (80%:20%) | 87 |
| Tabel 6. 19 Confusion matrix BJB kernel Radial (80%:20%).... | 87 |
| Tabel 6. 20 Confusion matrix ICUMSA kernel Dot (60%:40%) | 87 |
| Tabel 6. 21 Confusion matrix ICUMSA kernel Radial (60%:40%) | 88 |
| Tabel 6. 22 Confusion matrix BJB kernel Dot (60%:40%) | 88 |
| Tabel 6. 23 Confusion matrix BJB kernel Radial (60%:40%).... | 88 |
| Tabel 6. 24 Penilaian akurasi klasifikasi kualitas gula..... | 91 |

DAFTAR LAMPIRAN

| | |
|---|------|
| Tabel A. 1 Data stasiun gilingan | A-1 |
| Tabel A. 2 Data stasiun pemurnian | A-7 |
| Tabel A. 3 Data stasiun penguapan | A-14 |
| Tabel A. 4 Data stasiun masakan | A-21 |
| Tabel A. 5 Data warna larutan (ICUMSA) dan BJB..... | A-30 |
| Tabel B. 1 Hasil prediksi SVM grid search dan klasifikasi BJB 80%:20% | B-1 |
| Tabel B. 2 Hasil prediksi SVM grid search dan klasifikasi ICUMSA 80%:20% | B-2 |
| Tabel B. 3 Hasil prediksi SVM grid search dan klasifikasi BJB 60%:40% | B-4 |
| Tabel B. 4 Hasil prediksi SVM grid search dan klasifikasi ICUMSA 60%:40% | B-7 |
| Tabel C. 1 Hasil prediksi SVM GA dan klasifikasi BJB 80%:20% | C-1 |
| Tabel C. 2 Hasil prediksi SVM GA dan klasifikasi ICUMSA 80%:20% | C-2 |
| Tabel C. 3 Hasil prediksi SVM grid search dan klasifikasi BJB 60%:40% | C-4 |
| Tabel C. 4 Hasil prediksi SVM grid search dan klasifikasi ICUMSA 60%:40% | C-7 |
| Tabel D. 1 Hasil klasifikasi kualitas gula SVM grid search 80%:20% | D-1 |
| Tabel D. 2 Hasil klasifikasi kualitas gula SVM GA 80%:20% D-2 | |
| Tabel D. 3 Hasil klasifikasi kualitas gula SVM grid search 60%:40% | D-4 |
| Tabel D. 4 Hasil klasifikasi kualitas gula SVM GA 60%:40% D-7 | |

Halaman ini sengaja dikosongkan

BAB I

PENDAHULUAN

Bab I berisi mengenai pendahuluan yang menjelaskan mengenai latar belakang, rumusan masalah, batasan permasalahan, tujuan, manfaat, dan relevansi topik dari penulisan buku tugas akhir ini.

1.1. Latar Belakang

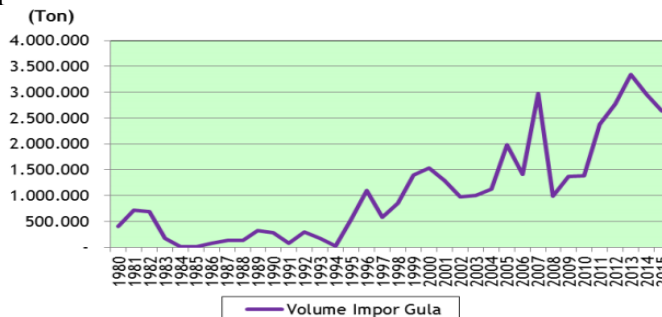
Gula merupakan salah satu komoditi yang paling sering kita jumpai dalam kehidupan sehari-hari. Gula dipergunakan untuk berbagai olahan makanan dan minuman untuk konsumsi rumah tangga ataupun di industri. Jenis gula yang diproduksi di Indonesia juga beragam misalnya gula merah, gula cair, gula rafinasi, dan lain sebagainya. Salah satu jenis gula yang paling sering kita gunakan adalah gula kristal putih atau yang biasa disebut dengan gula pasir. Gula pasir merupakan jenis gula yang biasa digunakan untuk membuat makanan dan minuman di rumah tangga.

Menurut Survei Sosial Ekonomi Nasional (SUSENAS) yang dilaksanakan oleh BPS, jumlah konsumsi gula nasional mengalami kenaikan dan penurunan yang fluktuatif seperti terlihat pada Tabel 1.1. Konsumsi gula pada tahun 2011 mencapai 7,383 kg/kapita/tahun, lalu jumlah ini menurun menjadi 6,476 kg/kapita/tahun pada 2012 [1]. Tahun 2015 konsumsi gula rumah tangga mencapai 6,805 kg/kapita/tahun, jumlah ini meningkat 6,17% dibandingkan tahun sebelumnya [1].

Tabel 1. 1 Tabel Konsumsi Gula Nasional

| Tahun | Konsumsi | | Pertumbuhan (%) |
|-----------|---------------------|-------------------|-----------------|
| | (Ons/Kapita/Minggu) | (Kg/Kapita/Tahun) | |
| 2002 | 1,765 | 9,203 | |
| 2003 | 1,739 | 9,068 | -1,47 |
| 2004 | 1,712 | 8,927 | -1,55 |
| 2005 | 1,704 | 8,885 | -0,47 |
| 2006 | 1,541 | 8,035 | -9,57 |
| 2007 | 1,654 | 8,624 | 7,33 |
| 2008 | 1,617 | 8,432 | -2,24 |
| 2009 | 1,516 | 7,905 | -6,25 |
| 2010 | 1,475 | 7,691 | -2,70 |
| 2011 | 1,416 | 7,383 | -4,00 |
| 2012 | 1,242 | 6,476 | -12,29 |
| 2013 | 1,275 | 6,648 | 2,66 |
| 2014 | 1,229 | 6,409 | -3,59 |
| 2015 | 1,305 | 6,805 | 6,17 |
| Rata-rata | 1,514 | 7,892 | -2,15 |

Jumlah konsumsi gula rumah tangga sejak 2002 – 2015 dapat dikatakan cenderung mengalami penurunan. Namun sayangnya hal ini tidak berbanding lurus dengan jumlah impor gula pada periode tersebut yang justru cenderung mengalami peningkatan [1] seperti pada Gambar 1.1. Gula impor yang masuk ke Indonesia dengan harga jual yang lebih murah dan dengan kualitas yang sama atau bahkan lebih baik tentunya membuat masyarakat tertarik untuk memilih membeli gula impor dibandingkan gula hasil produksi lokal.



Gambar 1. 1 Jumlah Impor Gula Nasional

Berdasarkan data dari Kementerian Perindustrian, saat ini terdapat 50 unit pabrik gula kristal putih berbasis tebu yang dikelola oleh BUMN dan berada di Pulau Jawa selama ini

beroperasional dengan tidak efisien dan menghasilkan gula dengan kualitas yang rendah [2]. Standar kelayakan mutu gula di Indonesia diatur dalam Standar Nasional Indonesia (SNI) 3140.3:2010 [3]. Melalui standar tersebut, pemerintah berupaya untuk melakukan pengawasan produk gula yang beredar di pasaran layak untuk dikonsumsi oleh masyarakat. Jenis gula yang diatur dalam standar ini adalah gula kristal putih.

Proses penentuan kualitas gula memang cukup rumit. Terdapat banyak parameter yang perlu dinilai untuk mengetahui kualitas gula. Penilaian dilakukan pada setiap tahapan pembuatan gula, mulai dari awal produksi hingga gula terbentuk dan siap untuk disimpan atau dijual ke pasaran. Hal ini membuat pabrik gula mengalami kesulitan untuk menentukan kualitas gula yang mereka produksi. Salah satu parameter untuk menentukan kualitas gula berdasarkan SNI 3140.3:2010 adalah warna larutan (ICUMSA) dan Besar Jenis Butir (BJB). Untuk menentukan nilai kedua parameter ini, pabrik gula tidak bisa melakukannya sendiri, namun pengecekan harus dilakukan oleh pihak ketiga yaitu laboratorium. Pabrik gula perlu mengirimkan sample produk kepada Laboratorium Pengujian Mutu Gula dan Bahan Pembantu Pusat Penelitian Perkebunan Gula Indonesia (LPMGBP-P3GI) yang berada di Pasuruan-Jawa Timur [4]. Proses pengecekan nilai warna larutan (ICUMSA) dan Besar Jenis Butir (BJB) kepada pihak ketiga ini membutuhkan waktu yang lama dan biaya yang tidak sedikit. Sehingga proses yang diperlukan oleh pabrik gula untuk mengetahui bagaimana kualitas gula yang mereka hasilkan juga membutuhkan waktu yang lama.

Salah satu perusahaan di Indonesia yang bertanggung jawab untuk produksi gula adalah PT. PG Rajawali I Surabaya. PT. Rajawali I Surabaya mengalami kesulitan untuk menentukan kualitas gula yang mereka produksi per harinya. Karena proses penilaian kualitas yang lama dan biaya yang cukup tinggi, PT. Rajawali I Surabaya

memutuskan untuk tidak melakukan penilaian terhadap hasil produksinya. Hal ini menyebabkan adanya ketidakpastian kualitas gula yang dikirimkan kepada konsumen. Sehingga tidak jarang perusahaan menerima kritik karena kualitas gula yang dikirimkan tidak sesuai dengan harapan konsumen.

Berdasarkan permasalahan tersebut, penulis menyarankan kepada PT. PG Rajawali I Surabaya untuk melakukan prediksi kualitas gula yang mereka hasilkan. Dengan melakukan prediksi kualitas gula yang dihasilkan perharinya, PT. PG Rajawali I Surabaya bisa mengontrol kualitas gula yang dihasilkan. Sehingga biaya bisa lebih rendah dan waktu yang dibutuhkan bisa lebih singkat. Dengan waktu prediksi yang cepat, PT. PG Rajawali I Surabaya bisa segera melakukan evaluasi jika hasil produksi memiliki kualitas yang rendah.

Metode SVM juga diteliti oleh Binoy B. Nair, V.P Mohandas, dan N.R. Sakthivel untuk memprediksi trend harga saham [5]. Pada penelitian tersebut, peneliti membandingkan hasil prediksi antara tiga metode yaitu ANN, naïve bayes, dan metode *hybrid* berbasis SVM. Dari hasil penelitian yang mereka lakukan, didapatkan nilai akurasi metode SVM lebih tinggi dibandingkan nilai akurasi dua metode prediksi lainnya.

Berdasarkan hal tersebut, penulis mengajukan kepada PT. PG Rajawali I Surabaya untuk melakukan prediksi dengan menggunakan metode *vector machine* dan melakukan analisis proses dalam kegiatan produksi yang menjadi indicator rendahnya kualitas gula yang dihasilkan. Metode ini dipilih karena kemampuannya untuk melakukan klasifikasi dengan beberapa kriteria tertentu dan klasifikasi lebih dari dua kelas [6]. Melalui penelitian ini, penulis berharap dapat membantu PT. PG Rajawali I Surabaya dalam melakukan prediksi kualitas gula yang mereka produksi. Selain itu, pihak manajemen PT. PG Rajawali I Surabaya juga memanfaatkan informasi terkait proses produksi yang menjadi penyebab rendahnya kualitas gula

dalam pengambilan keputusan untuk memperbaiki hasil produksi gula mereka.

1.2. Rumusan permasalahan

Perumusan masalah dari penelitian tugas akhir ini antara lain sebagai berikut:

1. Bagaimana model yang dihasilkan dengan metode *support vector machine* untuk melakukan prediksi kualitas gula di PT. PG Rajawali I Surabaya?
2. Bagaimana hasil prediksi kualitas gula kristal putih menggunakan metode *support vector machine*?
3. Bagaimana akurasi prediksi kualitas gula kristal putih dengan metode *support vector machine*?

1.3. Batasan Permasalahan

Batasan permasalahan dari penelitian tugas akhir ini antara lain sebagai berikut:

1. Data yang digunakan untuk melakukan prediksi adalah data dari PT. PG Rajawali I Surabaya mengenai hasil penilaian kualitas gula kristal putih di perusahaan tersebut.
2. Data yang digunakan dalam penelitian tugas akhir ini adalah data hasil produksi gula kristal putih di PT. PG Rajawali I Surabaya pada tahun 2014 untuk periode giling 149 hari.
3. Hasil dari penelitian ini adalah berupa prediksi kualitas gula yang dihasilkan oleh PT. PG Rajawali I Surabaya.
4. Prediksi dilakukan dengan memperhatikan dua syarat berdasarkan SNI 3140.3:2010 yaitu warna larutan ICUMSA dan Besar Biji Butir (BBJ).
5. Parameter yang digunakan untuk melakukan prediksi adalah meliputi parameter yang tertera pada Tabel 2. 2.

1.4. Tujuan

Tujuan dari penelitian tugas akhir ini antara lain sebagai berikut:

1. Mengetahui bagaimana model yang dihasilkan dengan metode *support vector machine* untuk memprediksi kualitas gula kristal putih di PT. PG Rajawali I Surabaya.

2. Mengetahui hasil prediksi kualitas gula kristal putih dengan menggunakan metode *support vector machine*.
3. Mengetahui akurasi prediksi kualitas gula kristal putih dengan metode *support vector machine*

1.5. Manfaat

Manfaat yang diharapkan oleh penulis dari penelitian tugas akhir ini adalah:

Bagi Akademis

Menambah wawasan atau pengetahuan bagi para akademisi atau mahasiswa mengenai prediksi kualitas gula dengan menggunakan metode *support vector machine*.

Bagi Perusahaan

Memberikan referensi bagi pihak PT PG Rajawali I Surabaya mengenai prediksi kualitas gula yang dihasilkan dengan cepat. Sehingga pengambilan keputusan di perusahaan terkait meningkatkan atau mempertahankan kualitas gula hasil produksi dapat dilakukan dengan lebih cepat.

1.6. Relevansi

Topik yang diangkat pada tugas akhir ini adalah mengenai prediksi kualitas gula di PT. PG Rajawali I Surabaya. Topik yang diajukan oleh peneliti sesuai untuk Laboratorium Rekayasa Data dan Intelegensi Bisnis (RDIB) karena mencakup bidang keilmuan *Business Analytic*. Topik ini berkaitan dengan materi klasifikasi pada mata kuliah Sistem Cerdas dan juga materi peramalan pada mata kuliah Teknik Peramalan. Tugas akhir ini melingkupi prediksi kualitas produksi gula yang dilakukan berdasarkan data yang didapatkan dari PT. PG Rajawali I Surabaya.

Topik ini layak diajukan karena dengan melakukan prediksi kualitas gula yang dihasilkan dapat membantu PT. PG Rajawali I Surabaya untuk mengetahui kualitas gula yang dihasilkan dengan lebih cepat. Sehingga pengambilan keputusan yang dapat diambil oleh pihak untuk meningkatkan kualitas gula yang diproduksi juga bisa lebih cepat.

BAB II

TINJAUAN PUSTAKA

Bab ini menjelaskan berbagai teori-teori yang digunakan untuk pengerjaan tugas akhir ini. Teori yang dijelaskan yaitu yang terkait dengan informasi umum mengenai objek dari penelitian yaitu gula kristal putih, kriteria penentuan kualitas, dan metode prediksi yang digunakan oleh penulis.

2.1 Studi Sebelumnya

Beberapa studi pustaka sebelumnya yang digunakan sebagai acuan dalam penelitian ini antara lain:

| | |
|-------------------------------|---|
| Judul Paper | Bankruptcy Prediction Using Support Vector Machine with Optimal Choice of Kernel Function Parameters[7] |
| Penulis | Jae H. Mina, Young-Chan Leeb |
| Tahun | 2005 |
| Deskripsi Penelitian | Pada penelitian ini, penulis melakukan prediksi terhadap kebangkrutan bank. Metode yang digunakan adalah SVM, <i>multiple discriminant analysis</i> (MDA), <i>logistic regression analysis</i> (Logit), dan jaringan syaraf tiruan <i>back-propagation</i> . Peneliti menggunakan teknik <i>grid search</i> dengan menggunakan <i>cross-validation</i> untuk mengetahui nilai parameter optimal dari fungsi kernel SVM. Dari hasil penelitian yang dilakukan, ternyata didapatkan bahwa nilai akurasi dari prediksi dengan metode SVM lebih tinggi dibandingkan tiga metode yang lainnya. |
| Keterkaitan Penelitian | Penelitian yang akan dilakukan adalah prediksi dengan menggunakan SVM. Paper ini dapat menjadi referensi terkait penggunaan SVM untuk melakukan prediksi. Selain itu, adanya tambahan Teknik <i>grid search</i> dan <i>cross validation</i> |

| | |
|--|---|
| | juga dapat dijadikan referensi agar hasil penelitian yang dilakukan dapat menghasilkan nilai prediksi yang optimum. |
|--|---|

| | |
|-------------------------------|--|
| Judul Paper | A GA-Based Feature Selection and Parameters Optimization for Support Vector Machines[8] |
| Penulis | Cheng-Lung Huang, Chieh-Jen Wang |
| Tahun | 2006 |
| Deskripsi Penelitian | Penelitian ini bertujuan untuk menemukan parameter yang optimum untuk digunakan dalam melakukan klasifikasi dengan metode SVM. Peneliti menggunakan pendekatan algoritma genetika untuk pemilihan fitur dan melakukan optimasi parameter. Pada penelitian ini, peneliti membandingkan hasil akurasi yang diperoleh dengan metode <i>grid search</i> dan genetika algoritma untuk beberapa set data. Hasilnya, SVM dengan genetika algoritma dapat menghasilkan nilai akurasi yang lebih besar. |
| Keterkaitan Penelitian | Metode <i>grid search</i> dan genetika algoritma dapat dijadikan sebagai referensi untuk bisa menghasilkan nilai akurasi prediksi yang lebih akurat. |

| | |
|--------------------|---|
| Judul Paper | A Genetic Algorithm Optimized Decision Tree SVM based Stock Market Trend Prediction System[5] |
| Penulis | Binoy B. Nair, V.P Mohandas, N.R. Sakthivel |
| Tahun | 2010 |

| | |
|-------------------------------|--|
| Deskripsi Penelitian | Peneliti membandingkan metode ANN, naïve bayes, dan metode hybrid berbasis SVM untuk melakukan prediksi tren pasar saham. Hasil yang didapat, metode SVM memiliki nilai akurasi yang lebih tinggi dibandingkan dua metode lainnya untuk melakukan prediksi. |
| Keterkaitan Penelitian | Penelitian yang akan dilakukan adalah berupa memprediksi kualitas gula hasil produksi berdasarkan parameter-parameter yang mempengaruhi. Prediksi yang akan dilakukan adalah dengan metode SVM. Sehingga paper ini dapat menjadi referensi untuk melakukan penelitian. |

2.2 Dasar Teori

2.2.1. Gula Kristal Putih

Menurut Darwin Philips, gula adalah suatu karbohidrat sederhana karena dapat larut dalam air dan langsung diserap tubuh untuk diubah menjadi energi [9]. Gula merupakan salah satu dari hasil olahan tanaman tebu (*Saccharum officinarum*) yang banyak kita jumpai di Indonesia. Gula banyak digunakan sebagai perasa untuk makanan dan minuman.

Terdapat beberapa jenis gula yang beredar di pasaran. Dua jenis gula yang biasa digunakan oleh masyarakat diantaranya sebagai berikut:

a. Gula Kristal Putih (GKP)

Gula kristal putih adalah gula kristal yang dibuat dari tebu atau bit melalui proses sulfitasi/karbonatasi/folsafatasi atau proses lainnya sehingga langsung dapat dikonsumsi [3]. Gula kristal putih merupakan jenis gula yang biasa dikonsumsi masyarakat sehari-hari untuk

membuat makanan dan minuman. Gula kristal putih ini yang biasa disebut sebagai gula pasir.

b. Gula Kristal Rafinasi (GKR)

Gula rafinasi merupakan salah satu jenis gula sukrosa yang diproduksi melalui tahapan awal gula kristal mentah (*raw sugar*) [10]. Dimana Gula rafinasi ini melalui proses pelarutan kembali (*remelting*), klarifikasi, dekolorisasi, kristalisasi, fugalisasi, pengeringan, hingga pengemasan. Kata rafinasi berasal dari Bahasa Inggris yaitu *refinery* yang artinya menyuling, menyaring, membersihkan. Gula rafinasi merupakan gula dengan tingkat kemurinian tertinggi dibandingkan dua jenis gula yang lain. Hal ini dikarenakan gula rafinasi melalui tahapan proses yang lebih ketat dibandingkan dua jenis gula yang lain.

Jenis gula yang akan dibahas dalam penelitian tugas akhir ini adalah gula kristal putih. Gula kristal putih dipilih dalam penelitian ini karena gula jenis ini merupakan jenis yang paling sering kita temui dalam kehidupan sehari-hari.

2.2.2. Proses Produksi Gula Kristal Putih

Proses produksi gula kristal putih di PT. PG Rajawali I Surabaya meliputi tujuh tahapan. Penjelasan mengenai masing-masing tahapan secara lebih detail adalah sebagai berikut:

a. Timbangan Tebu dan Emplasemen Pabrik

Tebu yang diterima di pabrik perlu diseleksi, menggunakan selector, terlebih dahulu sebelum ditimbang. Faktor kelayakan kondisi tebu meliputi kebersihan, kesegaran, dan tingkat kemasakan tebu. Tebu-tebu yang memenuhi standar dari proses seleksi kemudian ditimbang dan distempel oleh petugas di bagian selector. Timbangan yang digunakan adalah Digital Crane Scale (DCS) yang sudah terhubung dengan

computer, sehingga data hasil timbangan secara otomatis akan tercatat di komputer.

Kapasitas emplasemen pabrik adalah sebesar $\pm 130\%$ tebu dari kapasitas giling perhari untuk menghindari overstock dan hilangnya kadar gula yang terkandung dalam tebu karena lamanya penyimpanan. *Safety factor* yang diterapkan adalah sebesar $\pm 30\%$ dari kapasitas giling.

b. Stasiun Gilingan

Pada bagian ini, dilakukan pemisahan nira mentah dengan batang tebu. Stasiun Gilingan memastikan bahwa kandungan kadar gula dalam ampas hanya tersisa serendah-rendahnya.

c. Stasiun Pemurnian Nira

Pada stasiun pemurnian nira dilakukan pembersihan nira dari kotoran-kotoran pada nira untuk meminimalisir kerusakan pada sukrosa yang terkandung dalam nira.

d. Stasiun Penguapan

Fungsi utama stasiun penguapan adalah untuk menguapkan air yang masih terkadnung dalam nira. Setelah keluar dari badan akhir evaporator nira akan menjadi nira kental.

e. Stasiun Masakan

Stasiun masakan bertujuan untuk melakukan proses kristalisasi pada nira kental yang merupakan hasil dari stasiun penguapan. Proses kristalisasi bertujuan untuk merubah nira kental menjadi kristal atau sukrosa padat. Caranya adalah dengan menguapkan kandungan air yang terdapat pada nira kental, sehingga dihasilkan kristal gula dalam larutan akhir.

f. Stasiun Pendingin

Stasiun pendingin atau biasa disebut dengan proses kristalisasi lanjut merupakan membentuk kristal dari tahap sebelumnya menjadi lebih

besar. Proses ini dilakukan dengan mendinginkan atau menurunkan suhu di lokasi penyimpanan kristal.

g. Stasiun Puteran

Tujuan utama dari stasiun puteran adalah memisahkan kristal dan stroop atau cairannya. Terdapat beberapa jenis puteran yang digunakan, pada puteran *high grade*, masakan A setelah didinginkan dipompa menuju palung puteran A/B hingga terpisah antara gula A dengan stroop A. Gula A kemudian dilebur dan di pompa menuju puteran SHS hingga terpisah antara klare *Superior Holdt Sugar* (SHS) dengan gula SHS. Sedangkan pada puteran *low grade* dilakukan pemutaran hasil masakan C hingga diperoleh gula C dan *stroop C* dan memutar hasil dari masakan D hingga diperoleh gula D dan tetes. Gula C dan D digunakan untuk masakan gula A, sedang tetesnya ditampung dan ditimbang pada tangki penunggu sebelum masuk di bak tetes untuk disimpan pada tangki tetes. Gula SHS dari puteran kemudian masuk pada talang goyang untuk diangkut dengan *bucet elevator* agar bisa disaring. Hasil saringan terbagi menjadi 3 bagian ukuran kristal, yaitu gula halus, gula kasar dan gula produk. Gula produk kemudian masuk *sugar bin* dan dilakukan penimbangan dengan berat yang telah ditentukan sebelum pengepakan dan disimpan digudang.

2.2.3. Kriteria Kualitas Gula Kristal Putih

Kualitas gula kristal putih di Indonesia diatur dalam Standar Nasional Indonesia (SNI) 3140.3:2010. Peraturan ini dibuat oleh Badan Standardisasi Nasional atau *National Standardization Agency of Indonesia*. SNI 3140.3:2010 ditetapkan pada 07 Juli 2010, dimana versi ini merupakan hasil revisi atau

amandemen dari versi sebelumnya yaitu SNI 01-3140-2001. Revisi yang dilakukan meliputi dua hal yaitu syarat mutu atau kualitas dari gula kristal putih dan metode pengujian yang perlu dilakukan. Tujuan dibuatnya standar ini adalah untuk meningkatkan perlindungan dan acuan bagi pelaku usaha, konsumen, dan masyarakat secara luas untuk menghasilkan produk yang bermutu dana man untuk dikonsumsi [3].

Berdasarkan SNI 3140.3:2010, kualitas gula kristal putih diklasifikasikan menjadi dua jenis yaitu GKP 1 dan GKP 2 [3]. Pengklasifikasian gula kristal putih didasarkan pada tujuh parameter atau kriteria yaitu warna, besar jenis bulir, susut pengeringan, polarisasi, abu konduktiviti, bahan tambahan pangan, dan cemaran logam.

GKP 1 memiliki kualitas yang lebih baik dibandingkan GKP 2. Hal ini dapat dilihat pada parameter yang membedakan keduanya yaitu warna kristal dan warna larutan (ICUMSA). Semakin tinggi nilai warna kristal, maka GKP tersebut akan cenderung berwarna agak kekuningan dan kurang disukai oleh konsumen[11]. Sebaliknya semakin rendah nilai warna kristal, maka GKP tersebut semakin terlihat putih dan relatif lebih disukai oleh konsumen.

Warna larutan (ICUMSA) menunjukkan kemurnian dan banyaknya kotoran yang terdapat dalam gula tersebut[11]. Nilai warna larutan (ICUMSA) ini juga akan berpengaruh terhadap tingkat kemurnian gula. Standar nilai warna larutan (ICUMSA) GKP 1 lebih kecil dibandingkan GKP 2, dimana standar tersebut semakin mendekati standar untuk gula rafinasi. Gula rafinasi merupakan hasil pengolahan gula mentah (raw sugar) yang melalui tahapan proses penyulingan, penyaringan, dan pembersihan lebih ketat dibandingkan dengan GKP[12]. Hal ini

menyebabkan tingkat kemurnian dari gula rafinasi lebih tinggi dibandingkan GKP. Dengan nilai standar GKP 1 yang cenderung mendekati standar gula rafinasi, mengindikasikan tingkat kemurnian dari GKP 1 juga cenderung lebih tinggi dibandingkan GKP 2. Syarat standar mutu atau kualitas gula kristal putih yang harus diikuti berdasarkan SNI 3140.3:2010 dijelaskan pada Tabel 2. 1.

Tabel 2. 1 Kriteria Kualitas Gula Kristal Putih (SNI 3140.3:2010)

| No | Parameter Uji | Satuan | Persyaratan | |
|---------------|--------------------------------|---------------|--------------------|---------------|
| | | | GKP 1 | GKP 2 |
| 1 . | Warna | | | |
| 1.1. | Warna kristal | CT | 4,0 - 7,5 | 7,6 – 10,0 |
| 1.2. | Warna larutan (ICUMSA) | IU | 81 - 200 | 201 – 300 |
| 2 . | Besar jenis butir | mm | 0,8 - 1,2 | 0,8 – 1,2 |
| 3 . | Susut Pengeringan (b/b) | % | Mak s 0,1 | Mak s 0,1 |
| 4 . | Polarisasi (°Z, 20°C) | “Z” | Min 99,6 | Min 99,5 |
| 5 . | Abu konduktiviti (b/b) | % | Mak s 0,10 | Mak s 0,15 |
| 6 . | Bahan tambahan pangan | | | |

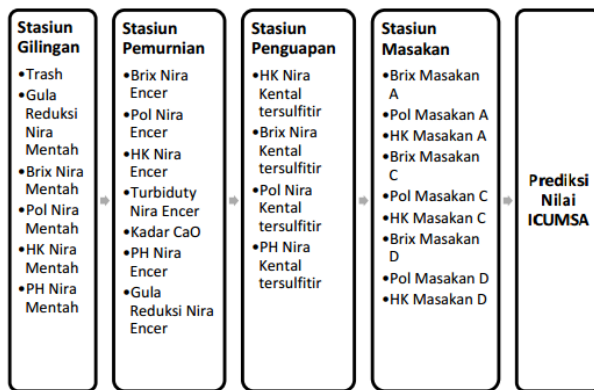
| No | Parameter Uji | Satuan | Persyaratan | |
|-----------|--------------------------------------|---------------|--------------------|--------------|
| | | | GKP 1 | GKP 2 |
| 6.1 . | Belerang dioksida (SO ₂) | mg/kg | Maks 30 | Maks 30 |
| 7 . | Cemaran logam | | | |
| 7.1 . | Timbal (Pb) | mg/kg | Maks 2 | Maks 2 |
| 7.2 . | Tembaga (Cu) | mg/kg | Maks 2 | Maks 2 |
| 7.3 . | Arsen (As) | mg/kg | Maks 1 | Maks 1 |

Pada penelitian ini, kriteria yang akan digunakan untuk menentukan kualitas gula kristal putih adalah dua kriteria yaitu warna larutan (ICUMSA) dan Besar Jenis Butir (BJB). Warna larutan (ICUMSA) dipilih sebagai parameter prediksi karena nilai ini karena hampir pada semua proses produksi gula terdapat parameter yang mempengaruhi nilai warna larutan (ICUMSA) gula. Sehingga kriteria warna larutan (ICUMSA) memiliki dampak yang besar terhadap kualitas gula yang dihasilkan.

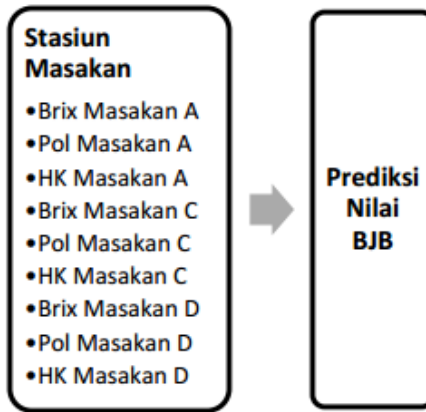
Sedangkan kriteria Besar Jenis Butir (BJB) dipilih karena kriteria ini merupakan kriteria yang dapat dilihat secara fisik oleh konsumen. Kriteria ini digunakan sebagai kriteria pembanding untuk mengklasifikasikan kualitas gula. Terdapat kemungkinan meskipun warna larutan (ICUMSA) sudah memenuhi standar kualitas, namun nilai Besar Jenis Butir (BJB) tidak sesuai. Dengan kondisi seperti ini, maka gula tidak termasuk kedalam kualitas GKP 1 atau GKP 2. Sehingga kriteria Besar Jenis Butir (BJB) dapat dijadikan sebagai salah satu parameter yang penting.

2.2.4. Standar Parameter Proses

Produksi gula kristal putih meliputi beberapa proses atau tahapan. Masing-masing tahapan memiliki pengaruh terhadap nilai akhir warna larutan (ICUMSA) dan Besar Jenis Butir (BJB) dari gula kristal putih yang dihasilkan. Gambar 2. 1 dan Gambar 2. 2 berikut merupakan proses yang digunakan sebagai parameter untuk memprediksi nilai ICUMSA dan BJB.



Gambar 2. 1 Parameter Proses untuk Prediksi ICUMSA



Gambar 2. 2 Parameter Proses untuk Prediksi BJB

Masing-masing parameter dari proses pada Gambar 2. 1 dan Gambar 2. 2 diatas juga memiliki standar tersendiri untuk menentukan kualitas gula kristal putih di PT. PG Rajawali I Surabaya. Apabila parameter proses memiliki nilai yang sesuai dengan standar, maka nilai ICUMSA dan BJB gula kristal putih yang dihasilkan akan baik dan memenuhi SNI 3140.3:2010. Tabel 2. 2 menunjukkan standar nilai dari parameter yang ada pada setiap proses.

Tabel 2. 2 Standar Parameter Proses Produksi Gula

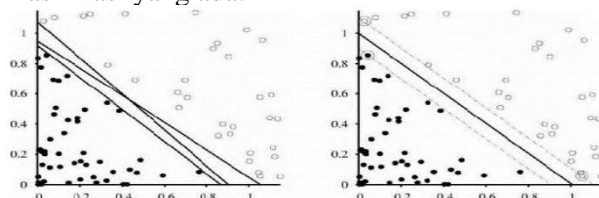
| Nama Stasiun | Parameter Proses | Satuan | Standar Nilai |
|-------------------|--------------------------|------------------|---------------|
| Stasiun Gilingan | Trash | % | ≤ 5 |
| | Brix nira mentah | % | ≥ 11 |
| | Pol nira mentah | % | ≤ 8 |
| | Gula reduksi nira mentah | % | ≤ 12 |
| | HK nira mentah | % | ≥ 70 |
| | PH nira mentah | - | ≤ 6 |
| Stasiun Pemurnian | Brix nira encer | % | ≥ 10 |
| | Pol nira encer | % | ≥ 12 |
| | HK nira encer | % | $\geq 82,5$ |
| | Tirbiduty nira encer | SiO ₂ | ≤ 125 |
| | Kadar CaO | Mg/ltr | ≤ 1000 |
| | PH nira encer | - | $\geq 7,5$ |
| | Gula reduksi nira encer | % | < 9 |

| Nama Stasiun | Parameter Proses | Satuan | Standar Nilai |
|---------------------|------------------------------|---------------|----------------------|
| Stasiun Penguapan | HK nila kental tersulfitir | % | ≥ 77 |
| | Brix nira kental tersulfitir | % | ≥ 60 |
| | Pol nira kental tersulfitir | % | ≥ 48 |
| | PH nira kental tersulfitir | - | $\leq 5,5$ |
| Stasiun Masakan | Brix masakan A | % | ≥ 95 |
| | Pol masakan A | % | ≥ 75 |
| | HK masakan A | % | ≥ 80 |
| | Brix masakan C | % | ≥ 97 |
| | Pol masakan C | % | ≥ 67 |
| | HK masakan C | % | ≥ 70 |
| | Pol nira mentah | % | ≥ 15 |
| | Brix masakan D | % | ≥ 99 |
| | HK masakan D | % | ≥ 60 |

2.2.5. Support Vector Machine

Support Vector Machne (SVM) adalah sistem pembelajaran untuk menglasifikasikan data menjadi

dua kelompok data yang menggunakan ruang hipotesis berupa fungsi-fungsi linear dalam sebuah ruang fitur (feature space) berdimensi tinggi [13]. Tujuan utama SVM adalah untuk menemukan nilai *hyperplane* atau pemisah yang optimal untuk mengklasifikasikan secara tepat titik-titik data sebanyak mungkin dan memisahkan titik dua kelas sejauh mungkin, dengan meminimalkan risiko kesalahan dalam mengelompokkan sampel data [14]. Kelas dalam klasifikasi SVM dipisahkan oleh garis yang disebut *hyperplane*. *Hyperplane* terbaik antar kelas dapat ditemukan dengan mengetahui nilai *margin* maksimalnya [15]. Sebenarnya, konsep awal dari metode SVM adalah untuk pengklasifikasian biner dimana jumlah kelas yang diklasifikasikan adalah dua. Namun metode ini semakin berkembang sesuai dengan kebutuhan klasifikasi yang ada.



Gambar 2. 3 Klasifikasi dengan Metode SVM[26]

Gambar 2. 3 diatas menunjukkan hasil klasifikasi dengan menggunakan metode SVM menjadi dua kelas. Pada gambar (a) dapat kita lihat bahwa titik-titik dalam gambar dipisahkan oleh tiga kandidat pemisah linier. Sedangkan pada gambar (b) kedua kelas sudah dipisahkan oleh pemisah dengan *margin* terbesar dari ketiga kandidat sebelumnya. Titik yang digunakan untuk mengukur *margin* terjauh adalah titik yang paling mendekati garis pemisah.

SVM secara umum dibagi menjadi beberapa jenis, antara lain:

a. SVM linier

SVM linier adalah merupakan konsep dasar dari SVM, yaitu untuk memisahkan atau mengklasifikasikan data kedalam dua kelas tertentu[8]. Sebagai perumpamaan, terdapat satu set data *training* dengan label x_i dan y_i . Dimana $i=1, 2, \dots$ dan $x_i \in R^n$ serta $y_i \in \{+1, -1\}$. Untuk pemisahan secara linier, persamaan yang digunakan adalah:

$$w \cdot x_i + b \geq +1 \text{ untuk } y_i = +1 \quad (1)$$

$$w \cdot x_i + b \geq -1 \text{ untuk } y_i = -1 \quad (2)$$

Kombinasi persamaan (1) dan (2) diatas, akan menhasilkan persamaan berikut:

$$y_i (w \cdot x_i + b) - 1 \geq 0 \quad (3)$$

Pemisahan data secara optimum dalam SVM, ditentukan dengan mencari *hyperplane* dengan garis margin yang paling besar atau maksimum. Persamaan untuk persoalan optimasi ini dapat diselesaikan dengan persamaan berikut:

$$\underset{w,b}{\operatorname{Min}} \frac{1}{2} w^T w \quad \text{dengan } y_i (w \cdot x_i + b) - 1 \geq 0 \quad (4)$$

Untuk memperoleh margin maksimum, dapat diselesaikan dengan fungsi *Langrange* yaitu:

$$L_p(w, b, \alpha) = \frac{1}{2} w^T w - \sum_{i=1}^m (\alpha_i y_i (w \cdot x_i) + b) - 1 \quad (5)$$

dengan α_i = pengganda fungsi *Lagrange* dan $i=1,2,\dots,n$. Nilai optimal dapat dihitung dengan memaksimalkan L terhadap α_i , dan meminimalkan L terhadap b . Dari persamaan *Langrange* yang diperoleh, perlu dilakukan turunan dari L untuk mendapatkan titik stasioner. Persamaan yang digunakan adalah seperti berikut[8]:

$$\frac{\partial}{\partial w} L_p = 0, \quad w = \sum_{i=1}^m \alpha_i y_i x_i$$

$$\frac{\partial}{\partial b} L_p = 0, \quad \sum_{i=1}^m \alpha_i y_i = 0$$

Dari persamaan diatas, dapat dihitung nilai *weight* untuk atribut-atribut yang digunakan yaitu dengan persamaan berikut[16]:

$$w = \sum_{i=1}^n y_i \alpha_i * x_i \quad (6)$$

Dari hasil turunan L , diperoleh persamaan linier untuk selanjutnya digunakan untuk menentukan nilai b dan *weight*.

b. Optimal *hyperplane* untuk *nonseparable data*
Jika persamaan 3 tidak menemukan solusi, maka SVM akan mencari *hyperplane* yang mampu menghasilkan nilai *error* paling rendah. SVM *nonseparable data* menggunakan variabel non-negative slack yaitu $\varepsilon_i \geq 0$.

$$w.x_i + b \geq +1 - \varepsilon_i \text{ untuk } y_i = +1 \quad (7)$$

$$w.x_i + b \geq -1 - \varepsilon_i \text{ untuk } y_i = -1 \quad (8)$$

Fungsi untuk melakukan prediksi adalah sebagai berikut[17].

$$f(x, \alpha^*, b^*) = \sum_{i=1}^m y_i \alpha_i^* (x_i, x) + b^* \quad (9)$$

c. SVM non-linier

Untuk SVM non-linear digunakan fungsi *mapping* ϕ atau yang disebut dengan kernel. Untuk

menghitung nilai prediksi, dapat digunakan persamaan berikut[17]:

$$\begin{aligned} f(x, \alpha^*, b^*) &= \sum_{i=1}^m y_i \alpha_i (\emptyset(x_i), \emptyset(x)) + b^* \\ &= \sum_{i=1}^m y_i \alpha_i^* k(x_i, x) + b^* \end{aligned} \quad (10)$$

b merupakan bias, sedangkan k menunjukkan hasil mapping input terhadap data yang digunakan.

Beberapa kernel dan persamaan yang biasa digunakan adalah seperti berikut:

Dot:

$$k(x,y)=x^*y$$

Radial:

$$k(x_i, x_j) = \exp(-\gamma \|X_i - X_j\|^2)$$

Polynomial:

$$k(x_i, x_j) = (1 + x_i \cdot x_j)^d$$

Proses perhitungan prediksi dengan menggunakan metode SVM dapat dilihat pada Gambar 2. 4.



Gambar 2. 4 Proses perhitungan SVM

Proses dimulai dengan melakukan *mapping* data input ke dalam fungsi kernel yang dipilih. Dari proses ini akan didapatkan matriks hasil *mapping*. Setelah dilakukan *mapping*, perlu ditentukan nilai parameter dari kernel yang digunakan misalnya untuk kernel Dot parameter yang perlu ditentukan adalah C. Penggunaan parameter yang sesuai atau optimal akan mempengaruhi prediksi yang dihasilkan. Kemudian digunakan fungsi *Langrange* untuk menghitung *hyperplane* (persamaan 5). Dari penggunaan persamaan *Langrange*, akan diperoleh persamaan *hyperplane*, dimana dari persamaan tersebut dapat diperoleh persamaan dengan margin terbesar. Kemudian dilakukan perhitungan *weight* dengan persamaan 6 dan nilai bias. Nilai parameter kernel, bias, dan *weight* kemudian digunakan untuk melakukan prediksi. Prediksi dilakukan dengan menggunakan persamaan 10. Perbedaan utama penggunaan SVM untuk klasifikasi dan prediksi adalah pada persamaan akhir yang digunakan untuk melakukan prediksi. Untuk melakukan klasifikasi persamaan yang digunakan adalah seperti persamaan 11[18].

$$f(x, \alpha^*, b^*) = sign(\sum_{i=1}^m y_i \alpha_i (\emptyset(x_i), \emptyset(x)) + b^*) \\ = sign(\sum_{i=1}^m y_i \alpha_i * k(x_i, x) + b^*) \quad (11)$$

Fungsi *sign* digunakan untuk mengembalikan angka menjadi +1, 0, atau -1 sesuai kondisi tertentu. Dengan menggunakan persamaan 11, akan didapatkan nilai berupa +1 atau -1, dimana nilai tersebut akan menunjukkan kelas tertentu. Hal ini berbeda jika nilai yang diprediksi adalah berupa angka atau numeric, agar hasil prediksi yang dihasilkan tidak berupa kelas diskrit maka digunakan persamaan 10 untuk melakukan prediksi. Contoh hasil perhitungan sederhana dapat dilihat pada bagian Lampiran E.

2.2.6. Grid Search

Grid search merupakan salah satu metode yang biasanya digunakan untuk mengoptimasikan nilai C dan gamma yang digunakan pada SVM[19]. Terdapat dua alasan utama mengapa metode *grid search* tepat untuk digunakan dalam mengoptimasi parameter. Pertama, metode ini akan lebih efektif digunakan mencari nilai optimum C dan gamma jika dibandingkan dengan cara *heuristic* atau perkiraan saja. Kedua, metode ini dapat digunakan secara parallel dengan metode-metode yang lain.

Metode *grid search* menggunakan teknik *cross validation* untuk menentukan parameter optimum. *Cross validation* membagi data menjadi data *training* dan *testing* untuk dilakukan pengujian hingga dapat ditemukan parameter yang paling optimum. *10-folds cross validation* artinya data akan dibagi kedalam 10 bagian secara rata, kemudian masing-masing bagian akan diuji dan dibandingkan hasilnya.

2.2.7. Genetika Algoritma (GA)

Genetika algoritma adalah metodologi pencarian optimasi adaptif umum berdasarkan analogi langsung terhadap seleksi alam dan genetika Darwin dalam sistem biologi[8]. Jumlah fitur yang disertakan dapat mempengaruhi hasil akurasi klasifikasi yang dilakukan. GA dapat digunakan untuk menemukan subset dari fitur dimana bit kromosom mewakili jika fitur itu disertakan atau tidak[20]. GA akan memperoleh solusi optimal setelah melakukan iterasi dalam jumlah tertentu.

2.2.8. Evaluasi Hasil

Terdapat beberapa metode yang dapat digunakan untuk evaluasi dari prediksi yang dilakukan, diantaranya sebagai berikut:

a. Root Mean Square Error

Root Mean Squared Error (RMSE) merupakan salah satu standar yang dapat digunakan untuk menilai peforma dari suatu hasil prediksi atau peramalan. Semakin kecil nilai *error* yang dihasilkan, maka nilai RMSE akan makin bagus. Formula untuk menghitung RMSE adalah sebagai berikut [21]:

$$\text{RMSE} = \sqrt{\frac{1}{n} \sum_{i=1}^n e_i^2}$$

b. Mean Absolute Percentage Error (MAPE)

Mean Absolute Percentage Error (MAPE) digunakan untuk mengukur akurasi dengan merata-rata nilai absolute error dari hasil prediksi atau peramalan. Nilai MAPE adalah berupa persentase, dimana semakin kecil nilai MAPE artinya peforma prediksi semakin baik.

Formula yang digunakan untuk mengukur nilai MAPE adalah sebagai berikut[22][22]:

$$\text{MAPE} = \frac{\sum_{i=1}^n \left(\frac{e_i}{X_i} \right)}{n} \times 100\%$$

Penentuan baik atau tidaknya hasil MAPE dapat dilihat pada Tabel 2. 3[23].

Tabel 2. 3 Pengkategorian nilai MAPE

| Skala MAPE | Kategori |
|------------|-------------|
| 0% - 10% | Sangat Baik |
| 11% - 20% | Baik |
| 21% - 50% | Cukup |
| > 50% | Tidak Baik |

c. Akurasi Klasifikasi

Akurasi adalah nilai ketepatan dari hasil prediksi yang dilakukan. Penilaian akurasi perlu dilakukan untuk memastikan bahwa hasil klasifikasi yang dilakukan sudah sesuai atau mendekati kebenaran. Salah satu cara yang dapat dilakukan adalah dengan menggunakan *confusion matrix*[24]. *Confusion*

matrix dapat menunjukkan jumlah klasifikasi yang sesuai dan yang tidak sesuai, dengan begitu dapat dilakukan analisa. Bentuk visualisasi dari *confusion matrix* adalah seperti Tabel 2. 4 berikut.

Tabel 2. 4 Confusion matrix

| | Prediksi Kelas+ | Prediksi Kelas- |
|------------------|--------------------|--------------------|
| Aktual Kelas+ | True + | False - |
| Aktual Kelas- | False + | True - |

Dari hasil *confusion matrix* yang sudah dibuat, dapat dihitung nilai akurasi dari klasifikasi yang dilakukan. Formula yang digunakan untuk menghitung akurasi adalah sebagai berikut.

$$\text{Akurasi} = \frac{\text{Jumlah True}}{\text{Jumlah data}} \times 100\%$$

BAB III METODOLOGI

Bab III menjelaskan mengenai metode atau pendekatan yang digunakan untuk melakukan penelitian tugas akhir yang dilakukan oleh penulis dan jadwal penelitian.

3.1. Tahapan Pelaksanaan Tugas Akhir

Metode yang digunakan oleh penulis untuk melakukan penelitian dapat dilihat pada Gambar 3.1:



Gambar 3. 1 Metodologi penelitian

3.1.1. Identifikasi permasalahan

Proses identifikasi permasalahan dilakukan dengan mempelajari studi kasus yang terdapat di PT. PG Rajawali I Surabaya. Dari studi kasus ini dilakukan peninjauan terhadap permasalahan yang dihadapi oleh PT. PG Rajawali I Surabaya terkait prediksi kualitas produk yaitu gula.

3.1.2. Studi literatur

Studi literatur dilakukan dengan mengumpulkan referensi-referensi tertulis dari berbagai sumber. Misalnya jurnal, buku, dan penelitian-penelitian sebelumnya yang berkaitan dengan topik penelitian dan permasalahan yang ingin diselesaikan dalam penelitian. Studi pustaka ini perlu dilakukan untuk bisa menentukan variabel-variabel dan metode yang dapat digunakan dalam penelitian yaitu untuk melakukan prediksi kualitas gula kristal putih.

3.1.3. Menentukan metode penelitian

Penentuan metode penelitian dilakukan berdasarkan hasil analisis studi literatur yang sudah dilakukan. Dari hasil analisis metode terkait didapatkan metode yang paling sesuai untuk digunakan dala penelitian ini adalah metode *support vector machine*.

3.1.4. Mengumpulkan data

Data menjadi salah satu komponen penting dalam penelitian ini. Karena data yang didapat yang akan digunakan sebagai dasar untuk melakukan prediksi yang akan dilakukan. Untuk itu diperlukan proses pengumpulan data terkait variabel-variabel yang dapat mempengaruhi penentuan kualitas gula di PT. PG Rajawali I Surabaya.

Parameter pada Tabel 2. 2 akan digunakan sebagai variabel-variabel untuk melakukan prediksi nilai warna larutan (ICUMSA) dan Besar Jenis Butir

(BJB). Selain itu, untuk penelitian ini juga digunakan data nilai warna larutan (ICUMSA) dan Besar Jenis Butir (BJB) yang merupakan hasil dari uji laboratorium yang dilakukan oleh PT. PG Rajawali I Surabaya. Data yang digunakan adalah data harian untuk periode 23 Mei – 27 Oktober 2014 (149 hari).

3.1.5. Pra-processing data

Setelah semua data yang diperlukan diperoleh, langkah berikutnya adalah melakukan pra-processing data untuk memastikan bahwa data tersebut siap diolah. Pada tahap ini dilakukan pengecekan apakah terdapat *missing value* pada data atau tidak. Pada tahap ini juga ditentukan pembagian untuk persentase data training dan testing pada data. Pada penelitian ini dilakukan dua pembagian data yaitu 60%:40% dan 80%:20% untuk masing-masing training dan testing.

3.1.6. Menentukan parameter pengujian

Pada proses ini, peneliti menentukan parameter pengujian apa saja dari SNI 3140.3:2010 yang akan digunakan untuk memprediksi kualitas gula kristal putih. Dalam hal ini, peneliti menggunakan parameter sesuai Gambar 2.1 dan Gambar 2.2 untuk digunakan dalam memprediksi nilai warna larutan (ICUMSA) dan Besar Jenis Butir (BJB).

3.1.7. Membangun model support vector machine

Data yang diolah pada proses ini adalah data *training* saja. Pengolahan data digunakan dengan memanfaatkan aplikasi Rapidminer. Pada tahap ini dilakukan perhitungan dengan menggunakan metode SVM untuk membuat model yang akan digunakan untuk melakukan prediksi.

Setelah model selesai dibuat, perlu ditentukan model terbaik agar dapat menghasilkan hasil prediksi yang paling optimum. Selain membangun model dengan metode SVM biasa, penulis juga

menggunakan metode genetika algoritma (GA) untuk membandingkan hasil prediksi dengan SVM biasa dan dengan menggunakan GA.

3.1.8. Menentukan parameter optimum

Model terbaik diperoleh dengan mengoptimalkan nilai dari parameter-parameter tertentu untuk model SVM. Parameter yang digunakan oleh penulis antara lain jenis kernel, C, dan gamma. Model terbaik ditentukan dengan melihat nilai *root mean square error* (RMSE) dan *absolute error* yang dihasilkan dari masing-masing parameter. Penulis menggunakan metode *grid search* yaitu untuk menentukan model dengan parameter optimum dari SVM. Parameter SVM yang paling optimum kemudian digunakan untuk melakukan prediksi dengan menggunakan SVM GA.

3.1.9. Melakukan prediksi

Berdasarkan model terbaik yang sudah didapatkan pada poin 3.1.7, dilakukan prediksi menggunakan data *testing* yang sudah disiapkan sebelumnya. Output dari proses ini adalah berupa hasil prediksi nilai warna larutan (ICUMSA) dan Besar Jenis Butir (BJB) dari produk gula kristal putih yang dihasilkan oleh PT. PG Rajawali I Surabaya. Prediksi dilakukan dengan menggunakan dua model yaitu model terbaik yang dihasilkan dari proses *grid search* dan model SVM GA.

3.1.10. Mengklasifikasikan hasil prediksi warna larutan (ICUMSA) dan BJB

Nilai hasil prediksi yang sudah didapatkan baik dengan model SVM ataupun SVM GA kemudian diklasifikasikan. Klasifikasi dilakukan sesuai dengan aturan yang ada pada SNI 3140.3:2010 yang dapat dilihat pada Tabel 2.1. Variabel warna larutan (ICUMSA) diklasifikasi kedalam tiga kelas yaitu GKP1, GKP2, dan tidak termasuk GKP 1 atau GKP 2 (*undefined*). Sedangkan untuk BJB

klasifikasi dilakukan menjadi dua kelas yaitu kualitas memenuhi syarat (lulus pengujian) dan tidak memenuhi syarat (*undefined*).

3.1.11. Mengklasifikasikan kualitas gula

Berdasarkan hasil klasifikasi terhadap nilai prediksi warna larutan (ICUMSA) dan BJB, kemudian dilakukan klasifikasi lag untuk menentukan kualitas gula. Kualitas gula diklasifikasikan menjadi tiga berdasarkan SNI 3140.3:2010 yaitu GKP1, GKP2, dan gula yang tidak termasuk GKP 1 atau GKP 2 (*undefined*). Pengklasifikasian dilakukan dengan melakukan analisis klasifikasi untuk warna larutan (ICUMSA) dan Besar Jenis Butir (BJB) yang dihasilkan dari prediksi yaitu disesuaikan dengan standar SNI 3140.3:2010 pada Tabel 2. 1.

3.1.12. Evaluasi hasil klasifikasi

Hasil klasifikasi yang sudah dilakukan kemudian diukur akurasinya untuk memastikan apakah model tersebut memang sesuai untuk digunakan dalam mengklasifikasikan kualitas gula atau tidak.

3.1.13. Penarikan kesimpulan

Hasil prediksi yang sudah didapatkan kemudian dianalisis untuk ditarik kesimpulan berdasarkan rumusan masalah dan tujuan yang sudah ditentukan pada Bab I poin 1.2 dan 1.4.

3.1.14. Penyusunan laporan tugas akhir

Tahapan terakhir dari penelitian tugas akhir ini adalah pembuatan laporan tugas akhir. Laporan yang dibuat terdiri dari tujuh bab pembahasan, antara lain:

BAB I PENDAHULUAN

Bab I berisi mengenai pendahuluan yang menjelaskan mengenai latar belakang, rumusan masalah, batasan permasalahan, tujuan, manfaat, dan sistematika dari penulisan buku tugas akhir ini

BAB II TINJAUAN PUSTAKA

Bab II berisikan penjelasan mengenai teori-teori yang digunakan untuk penggerjaan penelitian tugas akhir ini. Teori yang dijelaskan yaitu yang terkait dengan informasi umum mengenai objek dari penelitian yaitu gula kristal putih, kriteria penentuan kualitas, dan metode prediksi yang digunakan oleh penulis.

BAB III METODE PENELITIAN

Bab III menjelaskan mengenai metode atau pendekatan yang digunakan dalam melakukan penelitian tugas akhir yang dilakukan oleh penulis.

BAB IV PERANCANGAN

Bab IV menjelaskan mengenai bagaimana model SVM dan SVM GA yang dibuat untuk melakukan prediksi.

BAB V IMPLEMENTASI

Bab implementasi ini menjelaskan mengenai bagaimana penentuan model atau parameter terbaik dilakukan.

BAB VI HASIL DAN PEMBAHASAN

Bab VI menjelaskan mengenai hasil yang diperoleh dari penerapan model terbaik pada data testing yang sudah disiapkan.

BAB VII PENUTUP

Bab VII berisikan kesimpulan dan saran dari keseluruhan hasil penggerjaan penelitian tugas akhir yang sudah dilakukan. Dimana diharapkan hasil penelitian tugas akhir ini dapat membantu PT PG Rajawali I Surabaya untuk memprediksi bagaimana kualitas produk yang mereka hasilkan. Pada bagian ini, penulis juga menuliskan saran bagi penelitian berikutnya terkait prediksi kualitas gula kristal putih untuk PT. PG Rajawali I Surabaya.

BAB IV

PERANCANGAN

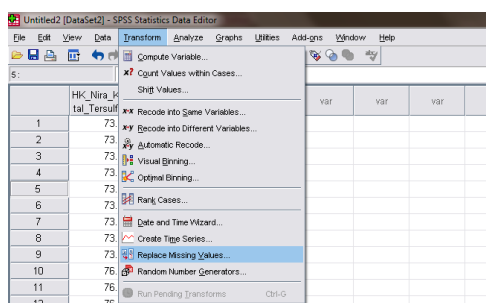
Penelitian ini dilakukan dalam beberapa tahap atau proses seperti yang sudah dijelaskan pada Bab III. Pada bagian ini akan dijelaskan mengenai tahapan penelitian yang dilakukan oleh penulis dengan lebih rinci. Pada penelitian ini, penulis menggunakan beberapa *tools* antara lain SPSS untuk *pre-processing* data Rapidminer untuk melakukan prediksi, dan Microsoft Excel.

4.1. Tahap Pre-Processing Data

4.1.1. Penanganan *missing value* data

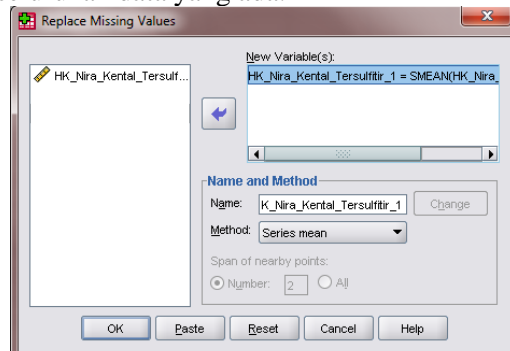
Terdapat *missing value* atau data yang kosong pada data Stasium Pengujian, lebih tepatnya pada proses HK Nira Kental Tersulfitir di hari giling ke-18. Untuk itu, perlu dilakukan penanganan terhadap kondisi tersebut agar hasil prediksi yang didapatkan dapat optimal.

Penanganan terhadap *missing value* atau data yang kosong dilakukan dengan menggunakan *tool* SPSS. Untuk memulai menggunakan SPSS, *copy* data HK Nira Kental Tersulfitir pada lembar kerja SPSS. Penanganan *missing value* dapat diatasi dengan menggunakan fitur yang ada pada SPSS yaitu *Replace Missing Value* seperti pada Gambar 4.1.



Gambar 4. 1 Langkah penggunaan fitur *Replace Missing Value* pada SPSS

Pengaturan untuk *Replace Missing Value* adalah seperti pada Gambar 4.2. Metode untuk pengisian *missing value* dapat diubah sesuai dengan kebutuhan. Untuk data HK Nira Kental Tersulfir, penulis memilih menggunakan metode *series mean*. Dengan metode ini, *missing value* pada data tersebut akan diisi dengan rata-rata dari keseluruhan data yang ada.



Gambar 4. 2 Pengaturan Replace Missing Value pada SPSS

Hasil yang didapat untuk mengisi *missing value* pada data HK Nira Kental Tersulfitir di hari giling ke-18 adalah 76.91. Data ini selanjutnya diinputkan ke dalam data HK Nira Kental Tersulfir untuk dilakukan prediksi. Hasil penanganan *missing value* dengan menggunakan SPSS dapat dilihat pada Gambar 4.3 berikut. Pada Gambar 4.3 pada data ke-18 kolom Series_mean dapat dilihat bahwa data yang sebelumnya kosong sudah terisi.

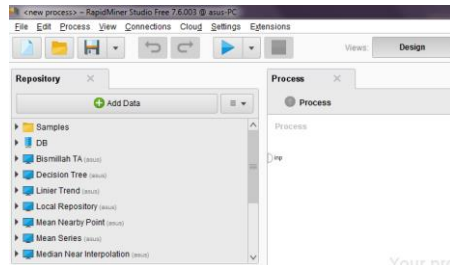
| | HK_Nira_Kental_Tersulfir | Series_Mean | var |
|----|--------------------------|-------------|-----|
| 1 | 73.53 | 73.53 | |
| 2 | 73.70 | 73.70 | |
| 3 | 73.65 | 73.65 | |
| 4 | 73.65 | 73.65 | |
| 5 | 73.61 | 73.61 | |
| 6 | 73.76 | 73.76 | |
| 7 | 73.71 | 73.71 | |
| 8 | 73.58 | 73.58 | |
| 9 | 73.40 | 73.40 | |
| 10 | 76.27 | 76.27 | |
| 11 | 76.25 | 76.25 | |
| 12 | 76.28 | 76.28 | |
| 13 | 76.22 | 76.22 | |
| 14 | 76.30 | 76.30 | |
| 15 | 76.34 | 76.34 | |
| 16 | 76.27 | 76.27 | |
| 17 | 76.17 | 76.17 | |
| 18 | . | 76.91 | |
| 19 | 76.19 | 76.19 | |
| 20 | 76.14 | 76.14 | |
| 21 | 76.17 | 76.17 | |
| 22 | 76.30 | 76.30 | |
| 23 | 76.11 | 76.11 | |
| 24 | 76.18 | 76.18 | |

Gambar 4.3 Penanganan Missing Value dengan SPSS

4.1.2. Import data pada Rapidminer

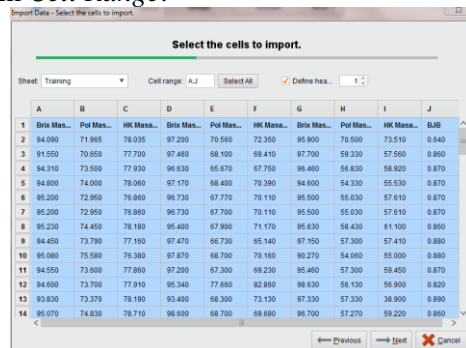
Terdapat dua jenis data yang akan direduksi oleh penulis dalam penelitian ini yaitu data nilai ICUMSA dan BJB, dimana keduanya merupakan variabel *dependent* yang dipengaruhi oleh variabel-variabel lain. Import data dilakukan untuk masing-masing data ICUMSA dan BJB secara bergantian. Pada tahap pre-processing data, penulis membagi data tersebut menjadi 80%:20% dan 60%:40%, dimana 80% dan 60% untuk data training serta 20% dan 40% data digunakan untuk melakukan testing. Import data dilakukan berdasarkan pembagian data tersebut.

Import data pada Rapidminer dapat dilakukan dengan menggunakan fitur *Add Data* seperti pada Gambar 4.4.



Gambar 4.4 Fitur Add Data pada Rapidminer

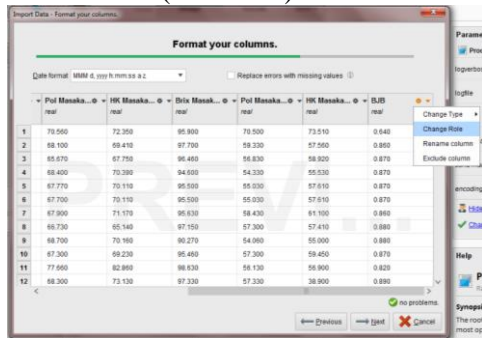
Kemudian pilih lokasi dimana file dengan format CSV disimpan. Setelah file dipilih, maka akan muncul kotak dialog seperti pada Gambar 4.5. Pada bagian ini, dilakukan pengaturan sheet pada file CSV mana yang akan digunakan pada kolom *Sheet* dan rentang cell yang akan digunakan pada kolom *Cell Range*.



Gambar 4.5 Kotak dialog pemilihan data yang akan diimpor pada Rapidminer

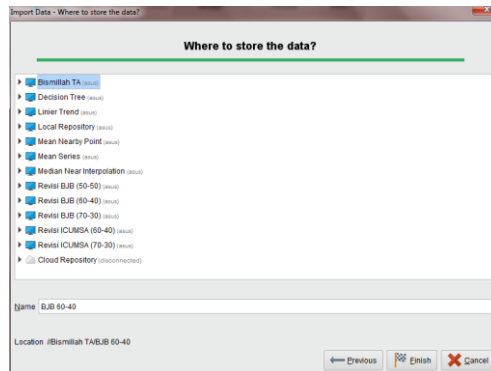
Selanjutnya akan muncul kotak dialog seperti pada Gambar 4.6. Pada bagian ini dapat dilakukan pengaturan format kolom pada data yang akan diimport. Pengaturan yang dilakukan antara lain berupa tipe data, role antar kolom, mengubah nama kolom, dan menghapus kolom. Terdapat beberapa tipe data yang dapat digunakan antara lain *polynomial*, *binomial*, *real*, *integer*, *date_time*, *date*, dan *time*. Tipe data dapat

disesuaikan sesuai dengan kondisi data yang dimiliki. Untuk dapat menggunakan prediksi dengan SVM, data harus memiliki role berupa *label*. Kolom yang menjadi *label* adalah kolom yang akan diprediksi nilainya oleh sistem Rapidminer nantinya. Sehingga untuk proses ini, penulis mengatur kolom BJB sebagai *label* untuk data BJB dan kolom ICUMSA sebagai *label* untuk data warna laruta (ICUMSA).



Gambar 4. 6 Pengaturan format kolom data pada Rapidminer

Setelah mengatur format kolom pada data, selanjutnya muncul kotak dialog seperti Gambar 4.7. Pada tahap ini, dilakukan pemilihan lokasi penyimpanan data dan penamaan data.



Gambar 4. 7 Pengaturan lokasi penyimpanan data yang diimporkan pada Rapidminer

Jika data berhasil terimport, maka data yang sudah dibuat akan muncul pada jendela *Repository* yang berada di bagian kiri Rapidminer seperti pada Gambar 4.4. Selain itu, isian dari data yang sudah diimport juga dapat dilihat dengan mengklik dua kali pada data yang sudah tersimpan, sehingga data yang sudah tersimpan dapat dilihat seperti pada Gambar 4.8.

Gambar 4. 8 Hasil impor data pada Rapidminer

4.2. Tahap Penyusunan Model pada Rapidminer

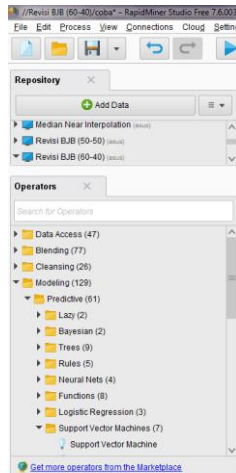
Setelah dilakukan pre-processing dan import data kedalam Rapidminer, selanjutnya akan dilakukan proses prediksi. Untuk dapat melakukan prediksi, perlu dibuat suatu model SVM. Model dibuat secara terpisah untuk data training dan

data testing dengan persentase data 80%:20% dan 60%:40% seperti yang sudah dijelaskan diawal. Model dapat dibuat pada halaman *Process* di Rapidminer.

4.2.1. Perancangan data training warna larutan (ICUMSA) dan BJB

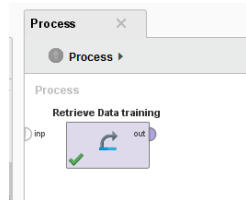
a. SVM Grid Search

Berbagai operator untuk membuat model dapat dipilih pada jendela bagian kiri Rapidminer seperti pada Gambar 4.9.



Gambar 4.9 Operator-operator pada Rapidminer

Model akan dibuat dalam 3 layer proses. Pembuatan model untuk data training dimulai dengan melakukan *drag* pada data training yang sudah diimport sebelumnya. Fitur ini adalah fitur *Retrieve Data*. Dengan fitur ini, Rapidminer dapat membaca isi data yang akan digunakan untuk membuat model. *Retrieve Data* dapat dilihat seperti pada Gambar 4.10.



Gambar 4. 10 Operator *retrieve data*

Setelah memilih data yang akan digunakan untuk penelitian, dilakukan pengaturan *grid search*. *Grid search* berfungsi untuk memperoleh data terbaik atau data paling optimum untuk pemodelan SVM yang akan dilakukan. Operator yang digunakan untuk melakukan *grid search* adalah operator *Optimize Parameters (Grid)* seperti pada Gambar 4.11.

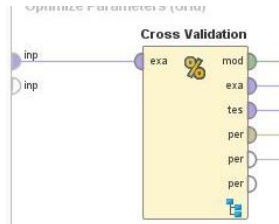


Gambar 4. 11 Operator *optimize parameters (grid)*

Terdapat beberapa operator yang bersifat *nested operator*, yaitu di dalam operator tersebut terdapat sub proses lagi yang akan dieksekusi. Operator *Optimize Parameters (Grid)* merupakan salah satu *nested operator*. Didalam operator ini terdapat proses lagi pada layer kedua. Tampilan layer kedua dapat dilihat pada Gambar 4.

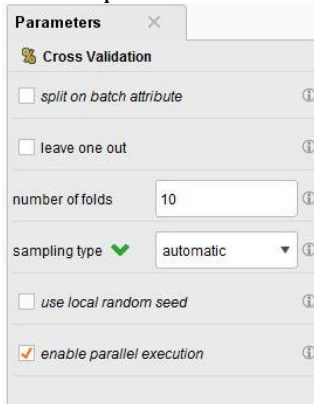
Didalam operator *Optimize Parameters (Grid)* digunakan operator *Cross Validation* yang berguna untuk memvalidasi akurasi model yang dihasilkan. *Cross Validation* juga merupakan salah satu *nested operator*. Bentuk operator *Cross Validation* dapat dilihat pada Gambar 4.12 *Cross validation* melakukan pengecekan dengan

membagi input kedalam training dan testing untuk memastikan bahwa model yang dibuat sudah optimum.



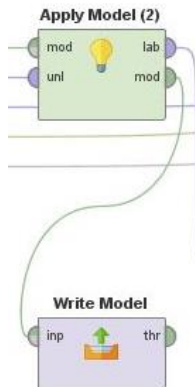
Gambar 4. 12 Operator cross validation

Pengaturan untuk operator *Cross Validation* dapat dilihat pada Gambar 4.13. *Cross validation* dapat diatur jumlah *fold* atau pembagian training dan testing pada data. Jumlah *fold* yang dipakai kali ini adalah sesuai dengan jumlah *default* dari Rapidminer untuk operator *Cross Validation*.



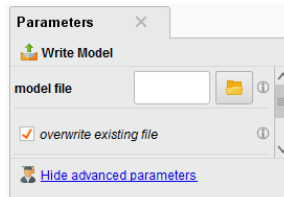
Gambar 4. 13 Pengaturan cross validation

Operator Apply Model dan **Write Model**. Operator *Apply Model* berfungsi untuk memperoleh hasil prediksi dari data label yang sudah ditentukan diawal. Bentuk operator *Apply Model* dapat dilihat pada Gambar 4.14.



Gambar 4. 14 Operator *Apply Model* dan *Write Model*

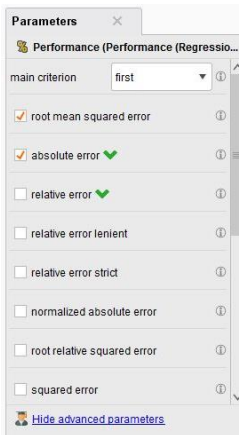
Operator berikutnya yang digunakan adalah *Write Model*. Operator ini berfungsi untuk menyimpan model yang dihasilkan dari proses training yang dilakukan. Bentuk operator *Write Model* dapat dilihat pada Gambar 4.14. Pada operator *Write Model* perlu dilakukan pengaturan dimana lokasi penyimpanan file dan nama file yang akan disimpan. Pengaturannya dapat dilihat seperti pada Gambar 4.15.



Gambar 4. 15 Pengaturan operator *write model*

Untuk mengukur keakuratan model yang dibuat, digunakan operator *Performance (Regression)*. Dengan menggunakan operator *Performance (Regression)*, dapat ditentukan metode atau cara penilaian akurasi seperti apa yang sesuai dengan data dan model yang digunakan. Pengaturan

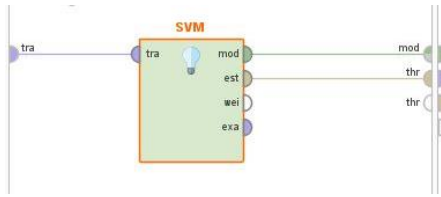
operator *Performance (Regression)* dapat dilihat seperti pada Gambar 4.16. Centang pengukuran akurasi yang ingin ditampilkan. Pengukuran yang digunakan kali ini adalah *root mean square error* (RMSE) dan *absolute error*.



Gambar 4. 16 Pengaturan operator *performance (regression)*

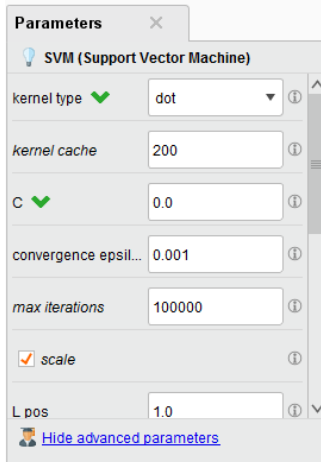
Selanjutnya layer proses ketiga yang berada didalam operator *Cross Validation*. Data yang masuk kedalam proses ini adalah data testing dari pembagian data training yang dilakukan oleh *Cross Validation*. Gambaran layer proses ketiga dapat dilihat pada Gambar 4.

Pada layer ketiga ini, proses utama yaitu prediksi dilakukan. Rapidminer menyediakan beberapa operator metode prediksi yang dapat digunakan, namun penulis kali ini akan menggunakan metode *Support Vector Machine* (SVM).



Gambar 4. 17 Operator *support vector machine*

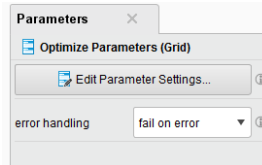
Pengaturan untuk operator SVM dapat dilihat seperti pada Gambar 4.18. Untuk pengaturan awal, mengikuti *default* dari Rapidminer. Pengaturan berikutnya untuk operator SVM akan dijelaskan pada Bab IV. Operator berikutnya yang perlu digunakan adalah operator *Apply Model*. Operator ini bertujuan untuk memperoleh hasil prediksi berdasarkan data yang digunakan untuk model.



Gambar 4. 18 Pengaturan operator SVM

Model yang dibuat dapat dilihat peformanya dengan menggunakan operator *Validation* pada Rapidminer. Operator *Validation* yang digunakan adalah *Performance (Regression)*. Pengaturan pada operator *Performance (Regression)* dapat dilihat pada Gambar 4.16. Peforma model akan

dilihat berdasarkan nilai RMSE (*Root Mean Square Error*) dan *Absolute Error* yang dihasilkan. Setelah model selesai dibuat, dilakukan pengaturan pada operator *Optimize Parameters (Grid)*. Operator *Optimize Parameters (Grid)* dapat diatur dengan mengklik tombol *Edit Parameter Settings* yang ada pada bagian *Operators* di sebelah kanan halaman Rapidminer seperti pada Gambar 4.19.



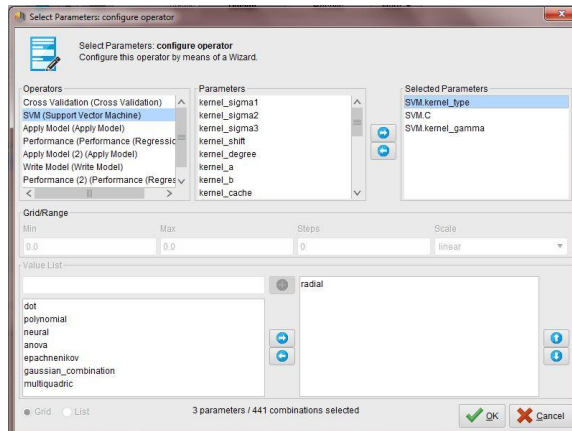
Gambar 4. 19 Pengaturan *optimize parameters (grid)*

Pada bagian pengaturan operator *Optimize Parameters (Grid)* dapat dilakukan pengaturan parameter apa saja yang akan dioptimasi seperti jenis kernel, nilai C, nilai gamma, dan lain sebagainya. Pemilihan parameter yang akan dioptimasi dapat dilihat pada Gambar 4.20. Peneliti akan menggunakan tiga parameter untuk dioptimasi yaitu jenis kernel, nilai C, dan gamma.



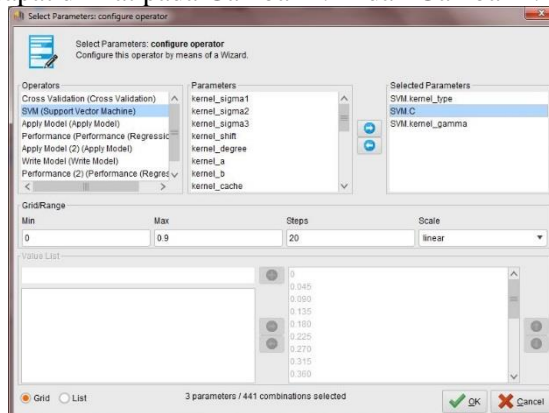
Gambar 4. 20 Pemilihan parameter untuk dioptimasi

Pada penelitian ini, penulis menggunakan dua jenis kernel untuk dilakukan pengujian yaitu kernel dot dan radial. Pengaturan untuk pemilihan jenis kernel dapat dilihat pada Gambar 4.21.



Gambar 4. 21 Pengaturan jenis kernel

Untuk pengaturan kernel dot, parameter yang diatur nilainya adalah parameter C. Sedangkan untuk kernel radial, parameter yang dioptimasi adalah C dan gamma. Pengaturan untuk *Optimize Parameters (Grid)* untuk masing-masing kernel dapat dilihat pada Gambar 4.22 dan Gambar 4.23.

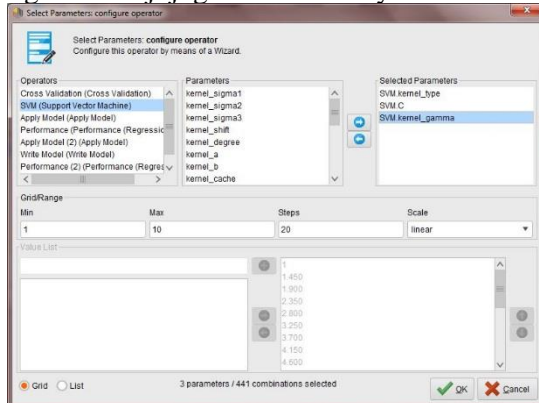


Gambar 4. 22 Pengaturan parameter C

Nilai C dapat dibatasi dengan menginputkan batasan pada kolom *Min* dan *Max* seperti pada Gambar 4. Dengan menginputkan nilai ini, maka pengujian nilai C yang dilakukan dengan *grid*

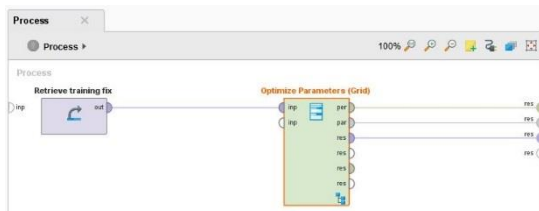
search akan dibatasi sesuai nilai minimal dan maksimal yang diinputkan.

Sedangkan nilai *Steps* menunjukkan jumlah angka yang akan diuji dalam *grid search*. Semakin besar jumlah *Steps* yang diinputkan, maka jumlah angka yang akan diuji juga semakin banyak.

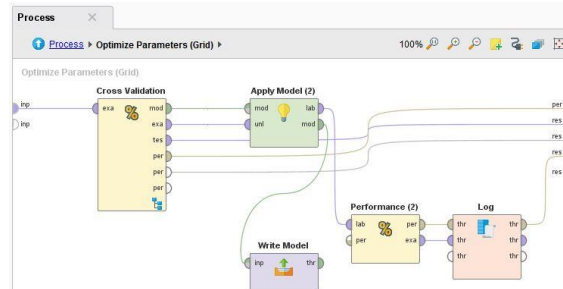


Gambar 4. 23 Pengaturan parameter gamma

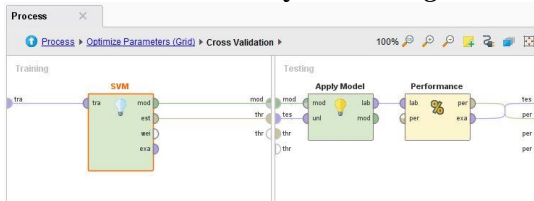
Pengaturan untuk nilai parameter gamma juga serupa dengan aturan yang ada dalam pengisian pada parameter C. Yaitu perlu dilakukan pengaturan nilai minimal, maksimal, dan *steps*. Tampilan model SVM *grid search* dapat dilihat pada Gambar 4.24, Gambar 4.25, dan Gambar 4.26.



Gambar 4. 24 Proses/layer 1 SVM grid search



Gambar 4. 25 Proses/layer 2 SVM grid search



Gambar 4. 26 Proses/layer 3 SVM grid search

Rancangan model yang dihasilkan untuk data training warna larutan (ICUMSA) dan BJB adalah seperti pada Gambar 4. Operator dan pengaturan operator untuk model training warna larutan (ICUMSA) dan BJB adalah sama. Perbedaannya adalah pada *Retrieve Data* yang digunakan. Model warna larutan (ICUMSA) menggunakan *Retrieve Data* data training ICUMSA sedangkan BJB menggunakan *Retrieve Data* dari data BJB.

b. SVM Genetika Algoritma (GA)

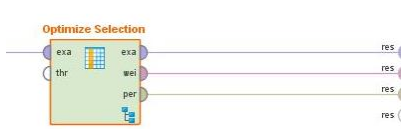
Untuk memulai membuat model SVM dengan GA, operator *Retrieve Data* perlu digunakan seperti pada Gambar 4.27.



Gambar 4. 27 Operator retrieve data

Berikutnya adalah penggunaan operator *Optimize Selection*. Operator ini berfungsi untuk memfilter

atau memilah atribut atau fitur yang relevan terhadap data training yang digunakan.

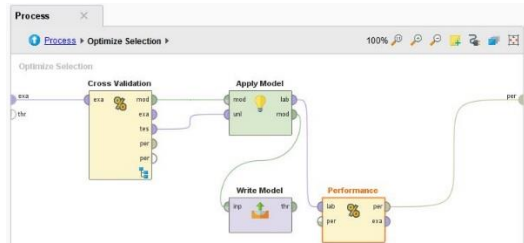


Gambar 4. 28 Operator *optimize selection*

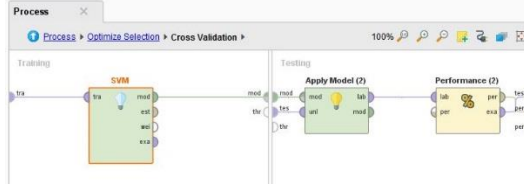
Didalam operator *Optimize Selection*, terdapat proses lagi yang ada didalamnya. Operator yang digunakan adalah *cross validation*. Operator ini berfungsi untuk membagi data yang diinputkan menjadi data training dan testing untuk dilakukan pengujian hingga menemukan model yang paling optimum. *Cross validation* dapat dilakukan pengaturan untuk jumlah *fold* atau pembagiannya. Pengaturannya dapat dilihat seperti Gambar 4.13. Pada bagian ini juga digunakan operator *apply model*, *write model*, dan *performance (regression)*. Didalam operator *cross validation* terdapat proses utama yaitu penggunaan SVM. Untuk perancangan, pengaturan untuk operator SVM dibiarkan dalam pengaturan *default* terlebih dahulu. Selain operator SVM, pada bagian ini juga terdapat penggunaan operator *apply model* dan *performance (regression)*.



Gambar 4. 29 Proses/layer 1 model SVM GA



Gambar 4. 30 Proses/layer 2 model SVM GA



Gambar 4. 31 Proses/layer 3 model SVM GA

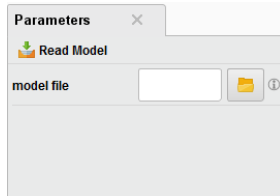
Rancangan model yang dihasilkan untuk data training warna larutan (ICUMSA) dan BJB adalah seperti pada Gambar 4.29, Gambar 4.30, dan Gambar 4.31. Operator dan pengaturan operator untuk model training warna larutan (ICUMSA) dan BJB adalah sama. Perbedaannya adalah pada *Retrieve Data* yang digunakan. Model warna larutan (ICUMSA) menggunakan *Retrieve Data* data training ICUMSA sedangkan BJB menggunakan *Retrieve Data* dari data BJB.

4.2.2. Perancangan data testing warna larutan (ICUMSA) dan BJB

Sama seperti perancangan untuk data training, operator yang diperlukan untuk membuat rancangan model data testing adalah *Retrieve Data*. Data yang digunakan tentunya adalah data testing yang telah diimport sebelumnya. Drag *Retrieve Data* pada halaman *Process* seperti pada Gambar 4.10.

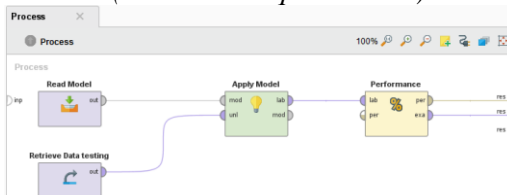
Operator berikutnya yang diperlukan adalah operator *Read Model*. Operator ini berfungsi untuk membaca model yang sudah dihasilkan dari model

training. Pengaturan untuk operator *Read Model* dapat dilihat pada Gambar 4.32. Pengaturan yang perlu dilakukan adalah memilih file model hasil training.



Gambar 4. 32 Operator read model

Berikutnya adalah menggunakan operator *Performance (Regression)* untuk untuk mengukur peforma dari prediksi yang dihasilkan untuk data testing. Pengaturan untuk operator *Performance (Regression)* dapat dilihat seperti Gambar 4.16. Dimana faktor peforma yang akan dilihat adalah nilai RMSE (*Root Mean Square Error*).



Gambar 4. 33 Rancangan model untuk data testing

Rancangan model untuk testing prediksi larutan warna (ICUMSA) dan BJB adalah seperti pada Gambar 4.33. Operator dan pengaturan operator untuk model training warna larutan (ICUMSA) dan BJB adalah sama. Perbedaannya adalah pada *Retrieve Data* yang digunakan. Model warna larutan (ICUMSA) menggunakan *Retrieve Data* data training ICUMSA sedangkan BJB menggunakan *Retrieve Data* dari data BJB.

4.2.3. Perancangan klasifikasi warna larutan (ICUMSA) dan BJB dan kualitas gula

Klasifikasi pada penelitian ini dilakukan berdasarkan aturan di Indonesia yaitu SNI 3140.3:2010. Standar ini mengatur mengenai klasifikasi untuk gula kristal putih. Aturan atau standar yang digunakan dalam metode ini dapat dilihat pada Tabel 2. 1. Terdapat dua klasifikasi yang dilakukan pada penelitian ini. Klasifikasi yang pertama adalah klasifikasi untuk kelas warna larutan (ICUMSA) dan BJB berdasarkan nilai prediksi yang didapatkan dari proses testing. Klasifikasi yang kedua adalah klasifikasi kualitas gula berdasarkan hasil klasifikasi warna larutan (ICUMSA) dan BJB yang sudah dilakukan sebelumnya.

Klasifikasi dilakukan dengan memanfaatkan *tool* Microsoft Excel. Untuk warna larutan (ICUMSA), gula dapat diklasifikasikan menjadi tiga kelas dengan aturan:

- GKP1 → nilai warna larutan (ICUMSA) antara 81 - 200
- GKP2 → nilai warna larutan (ICUMSA) antara 201 – 300
- *Undefined* → nilai warna larutan (ICUMSA) <81 atau >300

Sedangkan untuk BJB, pengkalsifikasiannya adalah dua kelas dengan aturan:

- Memenuhi syarat atau lolos (L) → nilai BJB antara 0,8 - 1,2
- Tidak memenuhi syarat atau *undefined* (TL) → nilai BJB <0,8 atau >1,2

Gula dengan kualitas GKP1 merupakan gula dengan kualitas yang lebih tinggi dibandingkan dengan GKP2. Sedangkan gula dengan kualitas *undefined* merupakan gula yang tidak tergolong GKP1 dna GKP2.

Penjelasan cara penentuan klasifikasi dan fungsi pada Microsoft Excel yang digunakan untuk menentukan klasifikasi ini adalah sebagai berikut.

| | A | B | C | D | E |
|---|--------|-------------------|------|-------------------|---------------|
| 1 | ICUMSA | Hasil Klasifikasi | BJB | Hasil Klasifikasi | Kualitas Gula |
| 2 | 276.92 | GKP2 | 0.87 | Lolos | GKP2 |
| 3 | 238.73 | GKP2 | 0.63 | Undefined | Undefined |
| 4 | 174.39 | GKP1 | 0.82 | Lolos | GKP1 |

Gambar 4. 34 Contoh hasil klasifikasi

Pada Gambar 4. 34 fungsi untuk menentukan klasifikasi nilai ICUMSA pada baris ke-2 adalah dengan menggunakan fungsi pada Gambar 4. 35.

```
=IF(A2<81,"Tidak Lolos", IF(AND(A2>=81,A2<=200),"GKP1",
IF(AND(A2>=201,A2<=300),"GKP2", IF(A2>300,"Undefined"))))
```

Gambar 4. 35 Fungsi penentuan klasifikasi warna larutan (ICUMSA)

Untuk menentukan klasifikasi BJB untuk baris ke-2 pada Gambar 4. 34**Error! Reference source not found.**, fungsi yang digunakan adalah seperti pada Gambar 4. 36.

```
=IF(AND(C2>=0.8,C2<=1.2),"Lolos","Undefined")
```

Gambar 4. 36 Fungsi penentuan klasifikasi BJB

Klasifikasi yang terakhir adalah klasifikasi untuk menentukan kualitas gula berdasarkan hasil klasifikasi warna larutan (ICUMSA) dan BJB yang sudah dilakukan pada Gambar 4. 34. Digunakan fungsi seperti pada Gambar 4. 37.

```
=IF(D2="Lolos",B2,"Undefined")
```

Gambar 4. 37 Fungsi penentuan klasifikasi kualitas gula

Halaman ini sengaja dikosongkan

BAB V

IMPLEMENTASI

5.1. Penentuan Parameter

Sebelum melakukan optimasi parameter, perlu ditentukan terlebih dahulu parameter apa saja yang akan dioptimasi. Pada penelitian ini, penulis menggunakan dua jenis kernel yang akan dioptimasi yaitu kernel Dot dan Radial. Kedua kernel ini memiliki parameter-parameter yang berbeda untuk dioptimasi. Untuk kernel Dot, parameter yang perlu dioptimasi adalah nilai C. Sedangkan untuk kernel Radial, parameter yang perlu dioptimasi adalah C dan gamma. Penulis menggunakan range tertentu mengoptimasi nilai C dan gamma untuk masing-masing kernel. Range nilai yang digunakan adalah seperti pada Tabel 5. 1 berikut.

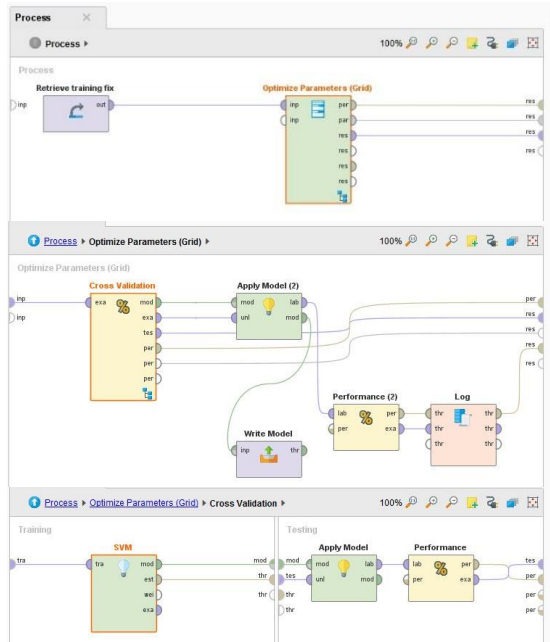
Tabel 5. 1 Rentang nilai parameter C dan gamma

| Kernel | C | | Gamma | |
|--------|-----|-----|-------|-----|
| | Min | Max | Min | Max |
| Dot | 0 | 0.9 | - | - |
| | 1 | 10 | - | - |
| | 11 | 20 | - | - |
| Radial | 0 | 0.9 | 0 | 0.9 |
| | 0 | 0.9 | 1 | 10 |
| | 0 | 0.9 | 11 | 20 |
| | 1 | 10 | 0 | 0.9 |
| | 1 | 10 | 1 | 10 |
| | 1 | 10 | 11 | 20 |
| | 11 | 20 | 0 | 0.9 |
| | 11 | 20 | 1 | 10 |
| | 11 | 20 | 11 | 20 |

5.2. Penentuan Parameter Optimum

Penentuan parameter optimum dilakukan dengan menggunakan model SVM *grid search*. Model untuk memprediksi data training dapat dilihat pada Gambar 5.1.

Model ini akan mampu menampilkan nilai parameter C dan gamma teroptimal untuk masing-masing jenis kernel yang digunakan dalam penelitian. SVM *grid search* akan memilih parameter yang menghasilkan nilai RMSE terendah untuk dijadikan sebagai parameter paling optimum.



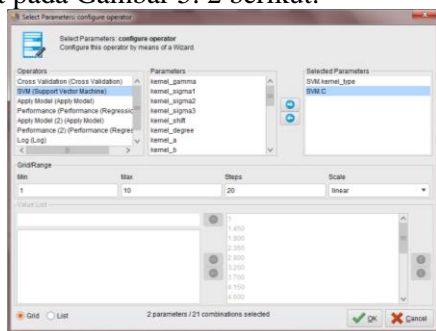
Gambar 5. 1 Model SVM grid search

5.2.1. Data Training 80%:20%

Data *training* ini terdiri dari 119 periode atau baris data tanggal 23 Mei - 26 September 2014. Cara penentuan parameter optimum untuk data *training* ini nilai C dan gamma dibuat dalam *range* atau rentang nilai tertentu. Dimana digunakan dua jenis kernel yaitu kernel Dot dan Radial. Pembagian rentang atau *range* nilai yang digunakan adalah 0-0.9, 1-10, dan 11-20.

Pengaturan parameter dapat dilakukan pada operator *Optimize Parameters (Grid)* pada bagian

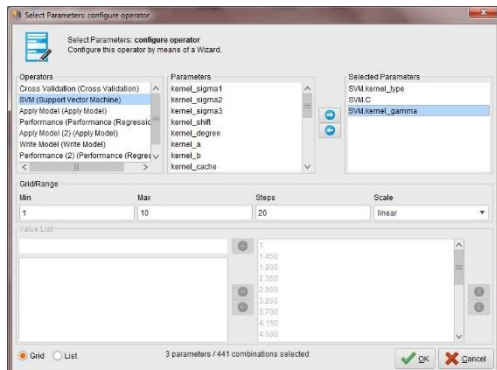
Edit Parameters Setting seperti pada Gambar 4. 19Gambar 4. 19 Pengaturan *optimize parameters (grid)*. Parameter C yang digunakan oleh penulis adalah mulai dari nilai 0-20. Dimana nilai tersebut dibagi kedalam tiga rentang nilai (*range*) yaitu 0-0.9, 1-10, dan 11-20. Cara ini dipilih agar dapat membandingkan peforma yang paling optimum antar *range*. Pengaturan nilai parameter C dapat dilihat pada Gambar 5. 2 berikut.



Gambar 5. 2 Pengaturan parameter C

Nilai parameter C dituliskan pada kolom *Min* untuk nilai minimum yang diinginkan dan pada kolom *Max* untuk mengatur nilai C maksimum yang diinginkan. Selain itu, perlu dilakukan pengaturan jumlah *Steps* yang akan dilakukan. Jumlah *Steps* berpengaruh terhadap jumlah parameter yang akan diuji oleh sistem. Semakin banyak nilai *Steps* maka jumlah parameter yang akan diuji juga akan semakin banyak.

Jika kernel Dot dipengaruhi oleh parameter C, berbeda lagi dengan kernel Radial. Kernel Radial dapat dipengaruhi oleh dua parameter yaitu parameter C dan gamma. *Range* nilai untuk kedua parameter tersebut juga diatur sama seperti sebelumnya yaitu 0-0.9, 1-10, dan 11-20. Pengaturan untuk parameter gamma dapat dilihat pada Gambar 5. 3.



Gambar 5. 3 Pengatura parameter gamma

Pengujian *grid search* dilakukan untuk variabel warna larutan (ICUMSA) dan BJB secara terpisah. Hal ini dilakukan karena kedua variabel ini merupakan variabel dependent yaitu variabel yang nilainya dipengaruhi oleh nilai dari variabel lain. Variabel yang mempengaruhi *dependent variabel* untuk warna larutan (ICUMSA) dan BJB juga berbeda.

Hasil yang diperoleh dari pengujian *grid search* variabel BJB untuk model data *training* 80%:20% dapat dilihat pada Tabel 5. 2.

**Tabel 5. 2 Parameter optimum variabel BJB data training
80%:20%**

| C | | Gamma | | Parameter Optimum | | RMSE | Absolute Error |
|-----|-----|-------|-----|-------------------|-------|-------|----------------|
| Min | Max | Min | Max | C | Gamma | | |
| 0 | 0.9 | - | - | 0.054 | - | 0.082 | 0.060 |
| 1 | 10 | - | - | 1.9 | - | 0.087 | 0.061 |
| 11 | 20 | - | - | 11.9 | - | 0.089 | 0.063 |
| 0 | 0.9 | 0 | 0.9 | 0.828 | 0.63 | 0.074 | 0.057 |
| 0 | 0.9 | 1 | 10 | 0.504 | 3.88 | 0.074 | 0.058 |
| 0 | 0.9 | 11 | 20 | 0.684 | 17.48 | 0.075 | 0.057 |
| 1 | 10 | 0 | 0.9 | 7.48 | 0 | 0.078 | 0.057 |

| C | | Gamma | | Parameter Optimum | | RMSE | Absolute Error |
|-----|-----|-------|-----|-------------------|-------|-------|----------------|
| Min | Max | Min | Max | C | Gamma | | |
| 1 | 10 | 1 | 10 | 6.04 | 3.88 | 0.074 | 0.058 |
| 1 | 10 | 11 | 20 | 7.84 | 17.8 | 0.075 | 0.057 |
| 11 | 20 | 0 | 0.9 | 17.3 | 0 | 0.079 | 0.057 |
| 11 | 20 | 1 | 10 | 16.04 | 3.88 | 0.074 | 0.058 |
| 11 | 20 | 11 | 20 | 17.84 | 17.84 | 0.075 | 0.057 |

Pada Tabel 5. 2 terdapat dua jenis kernel yang digunakan untuk memprediksi variabel BJB. Model yang diambil adalah model untuk masing-masing kernel. Faktor yang dilihat untuk menentukan model terbaik untuk kernel tertentu adalah dengan membandingkan nilai RMSE (*root mean square error*) dan nilai *absolute error* pada masing-masing model. Parameter optimum yang diperoleh untuk variabel BJB adalah dengan nilai C=0.054 untuk jenis kernel Dot. Sedangkan untuk kernel Radial, parameter optimum yang diperoleh adalah dengan nilai C=0.828 dan gamma=0.63.

Hasil parameter optimum untuk variabel warna larutan (ICUMSA) dapat dilihat pada Tabel 5. 3.

Tabel 5. 3 Parameter optimum variabel ICUMSA data training 80%:20%

| C | | Gamma | | Parameter Optimum | | RMSE | Absolute Error |
|-----|-----|-------|-----|-------------------|-------|---------|----------------|
| Min | Max | Min | Max | C | Gamma | | |
| 0 | 0.9 | - | - | 0.324 | - | 134.646 | 108.323 |
| 1 | 10 | - | - | 1 | - | 134.536 | 107.934 |
| 11 | 20 | - | - | 13.16 | - | 151.323 | 116.177 |
| 0 | 0.9 | 0 | 0.9 | 0.27 | 0.855 | 137.753 | 111.964 |
| 0 | 0.9 | 1 | 10 | 0.27 | 9.55 | 137.752 | 111.964 |
| 0 | 0.9 | 11 | 20 | 0.27 | 19.55 | 111.964 | 137.752 |

| C | | Gamma | | Parameter Optimum | | RMSE | Absolute Error |
|-----|-----|-------|-----|-------------------|-------|---------|----------------|
| Min | Max | Min | Max | C | Gamma | | |
| 1 | 10 | 0 | 0.9 | 9.1 | 0.045 | 134.281 | 107.306 |
| 1 | 10 | 1 | 10 | 5.95 | 2.8 | 112.367 | 112.459 |
| 1 | 10 | 11 | 20 | 5.95 | 12.8 | 138.006 | 112.459 |
| 11 | 20 | 0 | 0.9 | 19.1 | 0.045 | 132.366 | 105.530 |
| 11 | 20 | 1 | 10 | 15.95 | 2.8 | 112.360 | 112.360 |
| 11 | 20 | 11 | 20 | 15.95 | 12.8 | 112.367 | 112.367 |

Pada Tabel 5. 3 terdapat dua jenis kernel yang digunakan untuk memprediksi variabel ICUMSA. Model yang diambil adalah model untuk masing-masing kernel. Faktor yang dilihat untuk menentukan model terbaik untuk kernel tertentu adalah dengan membandingkan nilai RMSE (*root mean square error*) dan nilai *absolute error* pada masing-masing model. Jenis kernel Dot yang optimum untuk diterapkan adalah dengan nilai C=13.16 dan untuk jenis kernel Radial nilai C serta gamma yang optimum adalah C=19.46 dan gamma=0.036.

Parameter optimum yang didapatkan selanjutnya akan digunakan untuk memprediksi menggunakan data testing BJB dan warna larutan (ICUMSA) dan menggunakan prediksi SVM GA.

5.2.2. Data Training 60%:20%

Data terdiri dari 100 periode atau 100 baris data mulai dari tanggal 23 Mei - 7 September 2014. Untuk melakukan optimasi pada kernel jenis Dot, dapat dilakukan dengan mengubah nilai parameter C.

Pengaturan parameter dapat dilakukan pada operator *Optimize Parameters (Grid)* pada bagian *Edit Parameters Setting* seperti pada Gambar 4.19.

Parameter C yang digunakan oleh penulis adalah mulai dari nilai 0-20. Dimana nilai tersebut dibagi kedalam tiga rentang nilai (*range*) yaitu 0-0.9, 1-10, dan 11-20. Cara ini dipilih agar dapat membandingkan peforma yang paling optimum antar *range*.

Nilai parameter C dituliskan pada kolom *Min* untuk nilai minimum yang diinginkan dan pada kolom *Max* untuk mengatur nilai C maksimum yang diinginkan. Selain itu, perlu dilakukan pengaturan jumlah *Steps* yang akan dilakukan. Jumlah *Steps* berpengaruh terhadap jumlah parameter yang akan diuji oleh sistem. Semakin banyak nilai *Steps* maka jumlah parameter yang akan diuji juga akan semakin banyak.

Jika kernel Dot dipengaruhi oleh parameter C, berbeda lagi dengan kernel Radial. Kernel Radial dapat dipengaruhi oleh dua parameter yaitu parameter C dan gamma. *Range* nilai untuk kedua parameter tersebut juga diatur sama seperti sebelumnya yaitu 0-0.9, 1-10, dan 11-20.

Pengujian *grid search* dilakukan untuk variabel warna larutan (ICUMSA) dan BJB secara terpisah. Hal ini dilakukan karena kedua variabel ini merupakan variabel dependent yaitu variabel yang nilainya dipengaruhi oleh nilai dari variabel lain. Variabel yang mempengaruhi (*dependent variabel*) untuk warna larutan (ICUMSA) dan BJB juga berbeda.

Parameter dan peforma terbaik yang diperoleh dari hasil *running* model *Grid Search* variabel BJB dengan parameter Dot dan Radial untuk data training 1 dapat dilihat pada Tabel 5. 4.

**Tabel 5. 4 Parameter optimum variabel BJB data training
60%:40%**

| C | | Gamma | | Parameter Optimum | | RMSE | Absolute Error |
|-----|-----|-------|-----|-------------------|-------|-------|----------------|
| Min | Max | Min | Max | C | Gamma | | |
| 0 | 0.9 | - | - | 0.45 | - | 0.089 | 0.064 |
| 1 | 10 | - | - | 1 | - | 0.087 | 0.063 |
| 11 | 20 | - | - | 11 | - | 0.088 | 0.064 |
| 0 | 0.9 | 0 | 0.9 | 0.216 | 0.342 | 0.079 | 0.060 |
| 0 | 0.9 | 1 | 10 | 0.675 | 8.65 | 0.075 | 0.058 |
| 0 | 0.9 | 11 | 20 | 0.675 | 18.65 | 0.076 | 0.059 |
| 1 | 10 | 0 | 0.9 | 8.2 | 0.9 | 0.079 | 0.058 |
| 1 | 10 | 1 | 10 | 7.75 | 8.65 | 0.075 | 0.058 |
| 1 | 10 | 11 | 20 | 7.75 | 18.65 | 0.076 | 0.059 |
| 11 | 20 | 0 | 0.9 | 17.3 | 0.855 | 0.079 | 0.062 |
| 11 | 20 | 1 | 10 | 17.75 | 8.5 | 0.075 | 0.058 |
| 11 | 20 | 11 | 20 | 17.75 | 18.65 | 0.076 | 0.059 |

Dengan menggunakan operator gread search, maka sistem akan melakukan pengujian kepada model berdasarkan pengaturan atau *setting* yang sudah dilakukan. Sistem kemudian akan memilih parameter yang menghasilkan peforma atau kinerja terbaik untuk mengolah input data *training* 60%:40%.

Pada Tabel 5. 4 terdapat dua jenis kernel yang digunakan untuk memprediksi variabel BJB. Model yang diambil adalah model untuk masing-masing kernel. Faktor yang dilihat untuk menentukan model terbaik untuk kernel tertentu adalah dengan membandingkan nilai RMSE (*root mean square error*) dan nilai *absolute error* pada masing-masing model. Berdasarkan hal ini, diperoleh model terbaik untuk memprediksi variabel BJB yaitu dengan nilai C=1 untuk kernel Dot. Sedangkan untuk kernel Radial, model terbaik yang diperoleh tiga model dengan nilai

RMSE dan *absolute error* terendah yaitu C=0.675 dengan gamma=8.65, C=7.75 dengan gamma=8.65, serta yang terakhir C=17.75 dengan gamma=8.5.

Selain variabel BJB, dilakukan juga prediksi untuk menentukan nilai variabel warna larutan (ICUMSA). Hasil penentuan parameter terbaik dengan *grid search* untuk variabel warna larutan (ICUMSA) adalah seperti pada Tabel 5. 5.

Tabel 5. 5 Parameter optimum variabel ICUMSA data training 60%:40%

| C | | Gamma | | Parameter Optimum | | RMSE | Absolute Error |
|-----|-----|-------|-----|-------------------|-------|---------|----------------|
| Min | Max | Min | Max | C | Gamma | | |
| 0 | 0.9 | - | - | 0.864 | - | 128.817 | 108.193 |
| 1 | 10 | - | - | 2.08 | - | 125.626 | 100.243 |
| 11 | 20 | - | - | 15.86 | - | 134.356 | 108.601 |
| 0 | 0.9 | 0 | 0.9 | 0.45 | 0.315 | 141.336 | 119.619 |
| 0 | 0.9 | 1 | 10 | 0.45 | 4.15 | 141.362 | 119.640 |
| 0 | 0.9 | 11 | 20 | 0.45 | 14.15 | 141.362 | 119.640 |
| 1 | 10 | 0 | 0.9 | 9.55 | 0.045 | 138.257 | 111.099 |
| 1 | 10 | 1 | 10 | 9.1 | 2.35 | 142.370 | 119.978 |
| 1 | 10 | 11 | 20 | 9.1 | 12.35 | 142.370 | 119.978 |
| 11 | 20 | 0 | 0.9 | 18.65 | 0.045 | 132.817 | 106.603 |
| 11 | 20 | 1 | 10 | 19.1 | 2.35 | 141.703 | 119.599 |
| 11 | 20 | 11 | 20 | 19.1 | 12.35 | 141.703 | 119.599 |

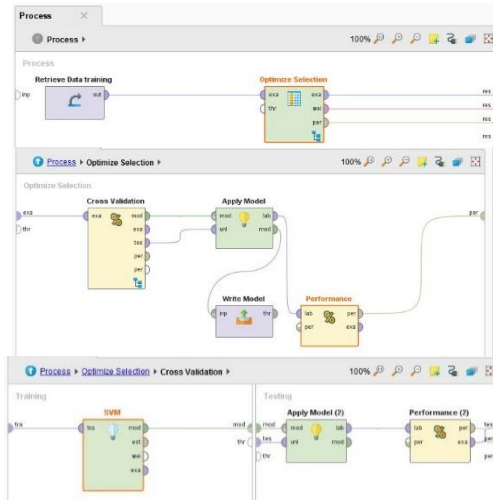
Pada Tabel 5. 5 terdapat dua jenis kernel yang digunakan untuk memprediksi variabel BJB. Model yang diambil adalah model untuk masing-masing kernel. Faktor yang dilihat untuk menentukan model terbaik untuk kernel tertentu adalah dengan membandingkan nilai RMSE (*root mean square error*) dan nilai *absolute error* pada masing-masing model. Berdasarkan tersebut,

diperoleh parameter dengan RMSE dan *absolute error* terbaik yaitu $C=2.08$ untuk jenis kernel Dot. Sedangkan untuk kernel Radial, nilai C dan gamma yang optimum untuk variabel warna larutan (ICUMSA) adalah 18.65 dan 0.045.

Model dengan parameter paling optimum yang sudah didapatkan untuk masing-masing variabel warna larutan (ICUMSA) dan BJB ini yang akan digunakan untuk melakukan prediksi terhadap data testing yang sudah disiapkan dan untuk menggunakan SVM GA.

5.3. SVM Genetika Algoritma (GA)

Berikutnya dilakukan prediksi dengan menggunakan model SVM GA. Pada Bab IV awalnya disebutkan bahwa untuk operator SVM yang digunakan pada model dibuat *default* sesuai dengan Rapidminer. Kali ini dilakukan perubahan pada parameter yang ada pada operator SVM berdasarkan hasil dari parameter optimum yang diapatkan dengan model SVM *grid search* pada bagian 5.2 untuk masing-masing pembagi data. Bentuk model SVM GA yang digunakan untuk melakukan training adalah seperti Gambar 5. 4.



Gambar 5. 4 Model SVM GA

5.3.1. Data Training 80%:20%

Nilai RMSE dan *absolute error* yang didapatkan dari model SVM GA untuk data training 80%:20% adalah seperti pada Tabel 5. 6.

Tabel 5. 6 Hasil error SVM GA 80%:20%

| Variabel | Kernel | Parameter Optimum | RMSE | Absolute Error |
|----------|--------|-----------------------|---------|----------------|
| BBJ | Radial | C=0.828 Gamma=0.63 | 0.072 | 0.041 |
| | Dot | C=0.054 | 0.081 | 0.054 |
| ICUMSA | Radial | C=0.27 Gamma=19.55 | 144.645 | 109.807 |
| | Dot | C=1 | 128.910 | 96.438 |

Dari Tabel 5. 6, dapat dilihat nilai RMSE untuk model SVM GA 80%:20% cenderung lebih rendah jika dibandingkan nilai RMSE yang dihasilkan oleh model SVM *grid search* yang ada pada Tabel 5. 2 (untuk nilai BJB) dan Tabel 5. 3 (untuk nilai warna larutan ICUMSA). Namun memang

penurunan nilai RMSE yang terjadi tidak signifikan atau tidak besar.

5.3.2. Data Training 60%:40%

Nilai RMSE dan *absolute error* yang didapatkan dari model SVM GA untuk data training 60%:40% adalah seperti pada Tabel 5. 7.

Tabel 5. 7 hasil error SVM GA 60%:40%

| Variabel | Kernel | Parameter Optimum | RMSE | Absolute Error |
|----------|--------|------------------------|---------|----------------|
| BJB | Radial | C=0.675 Gamma=8.65 | 0.000 | 0.000 |
| | Dot | C=1 | 0.085 | 0.055 |
| ICUMSA | Radial | C=18.65 Gamma=0.045 | 117.483 | 89.802 |
| | Dot | C=2.08 | 111.076 | 83.871 |

Dari Tabel 5. 7 Tabel 5. 6, dapat dilihat nilai RMSE untuk model SVM GA 80%:20% juga cenderung lebih rendah jika dibandingkan nilai RMSE yang dihasilkan oleh model SVM *grid search* yang ada pada Tabel 5. 4 (untuk nilai BJB) dan Tabel 5. 5 (untuk nilai warna larutan ICUMSA). Besar penurunan nilai RMSE yang terjadi memang tidak signifikan atau tidak besar. Namun hal ini bisa menjadi acuan adanya kemungkinan nilai akurasi prediksi yang diperoleh bisa lebih besar.

BAB VI

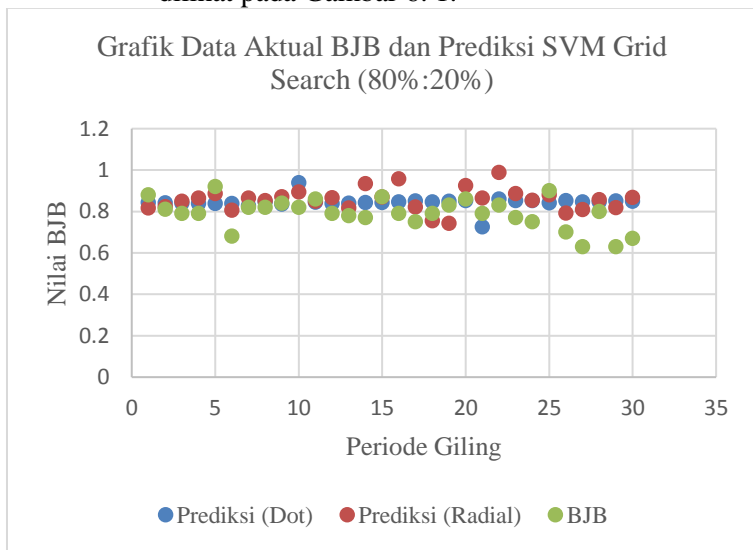
HASIL DAN PEMBAHASAN

6.1. Hasil Prediksi

Dengan menggunakan model paling optimum yang didapatkan pada proses training dengan menggunakan *grid search*, dilakukan prediksi kepada data testing yang sudah disiapkan sebelumnya. Model yang digunakan untuk melakukan testing dapat dilihat pada Gambar 4.33. Prediksi yang dihasilkan adalah berupa nilai warna luaran (ICUMSA) dan BJB.

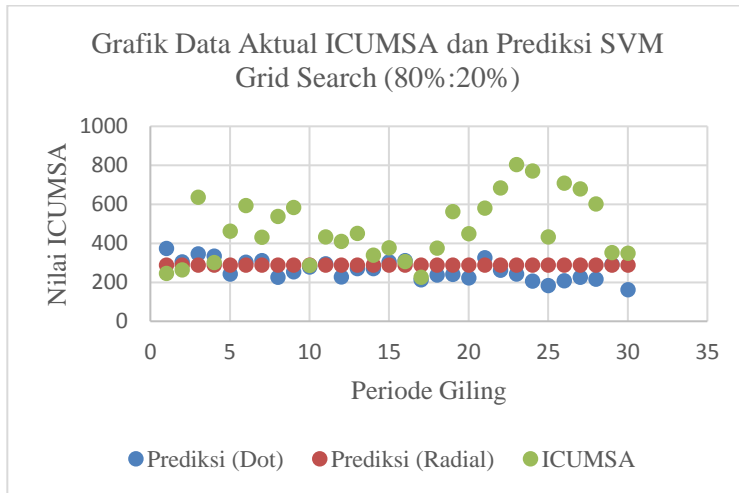
6.1.1. *Grid search*: data 80%:20%

Perbandingan hasil prediksi BJB dengan data aktualnya menggunakan SVM *grid search* dapat dilihat pada Gambar 6. 1.



Gambar 6. 1 Grafik Data Aktual BJB dan Prediksi SVM Grid Search (80%:20%)

Hasil prediksi ICUMSA menggunakan SVM *grid search* dapat dilihat pada Gambar 6. 2.



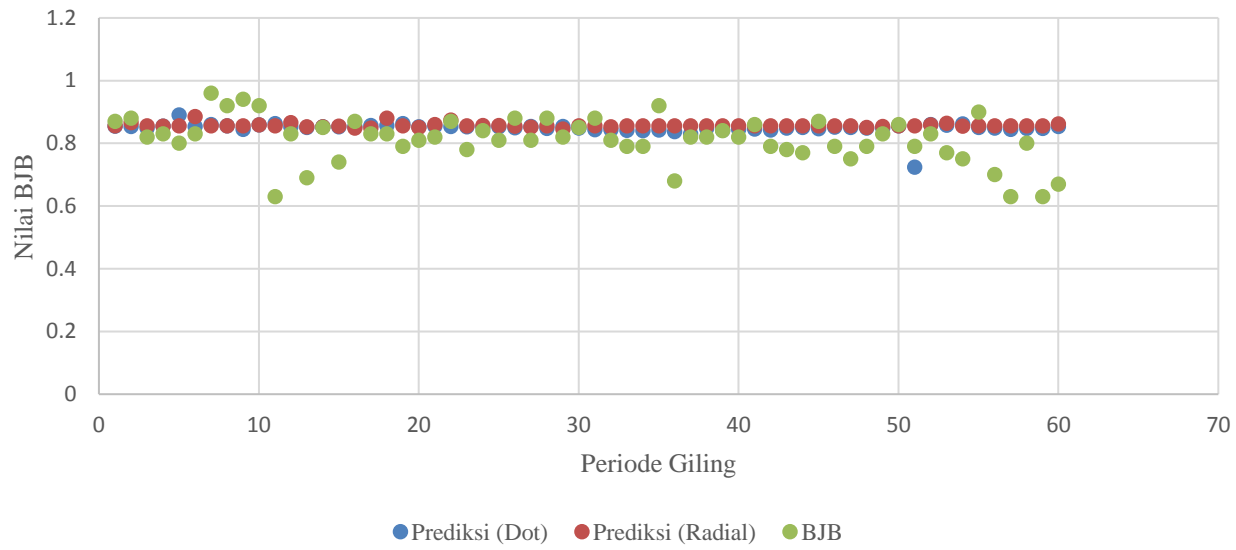
Gambar 6.2 Grafik Data Aktual ICUMSA dan Prediksi SVM Grid Search (80%:20%)

Sedangkan nilai hasil prediksi warna larutan secara lengkap untuk (ICUMSA) dan BJB, dapat dilihat pada bagian Lampiran B.

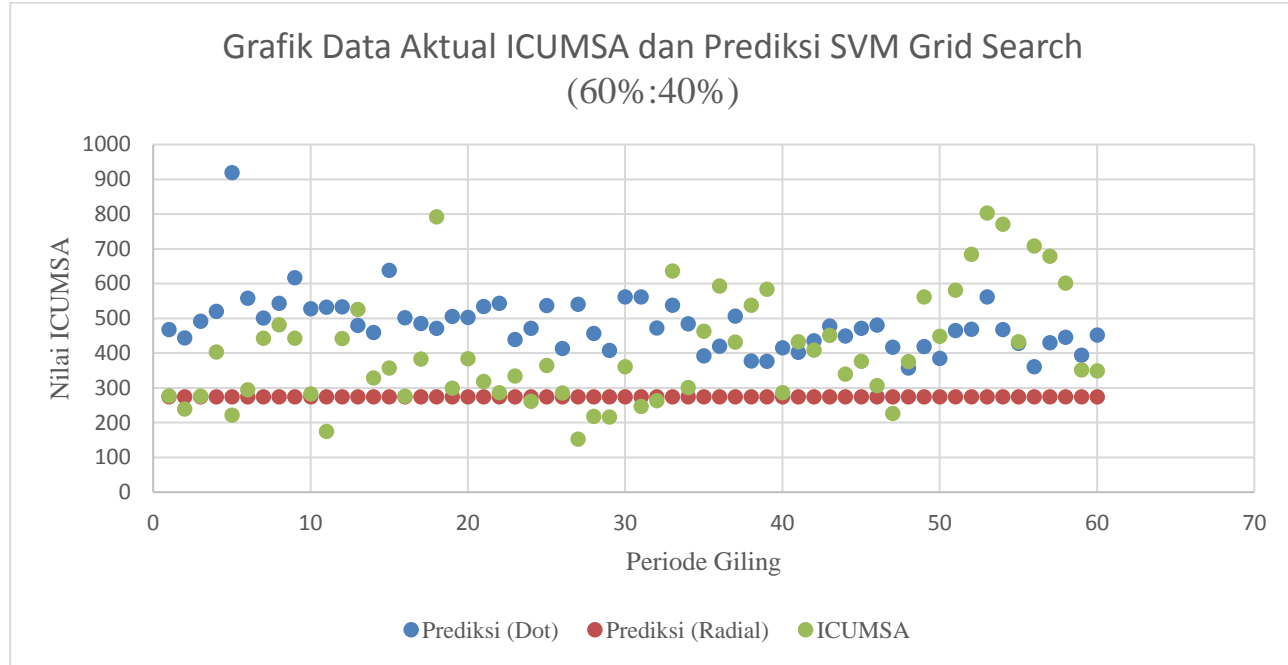
6.1.2. *Grid search:* data 60%:40%

Hasil prediksi BJB dengan menggunakan SVM *grid search* dapat dilihat pada Gambar 6.3. Sedangkan untuk prediksi nilai warna larutan (ICUMSA) dapat dilihat pada Gambar 6.4.

Grafik Data Aktual BJB dan Prediksi SVM Grid Search (60%:40%)



Gambar 6. 3 Grafik Data Aktual BJB dan Prediksi SVM Grid Search (60%:40%)

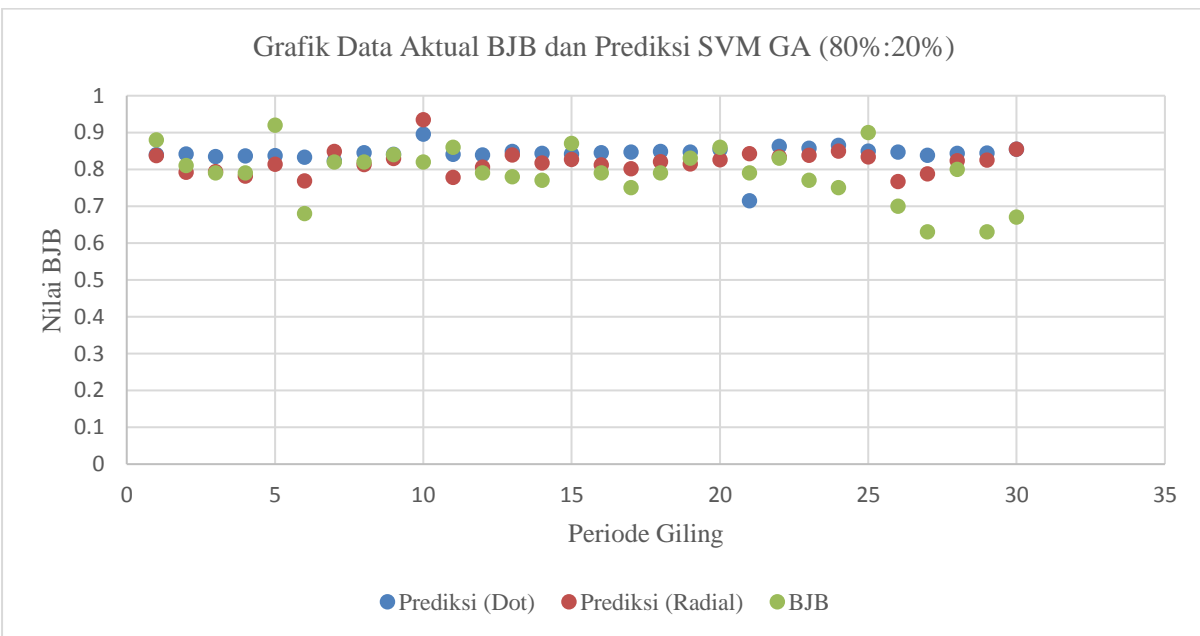


Gambar 6. 4 Grafik Data Aktual ICUMSA dan Prediksi SVM Grid Search (60%:40%)

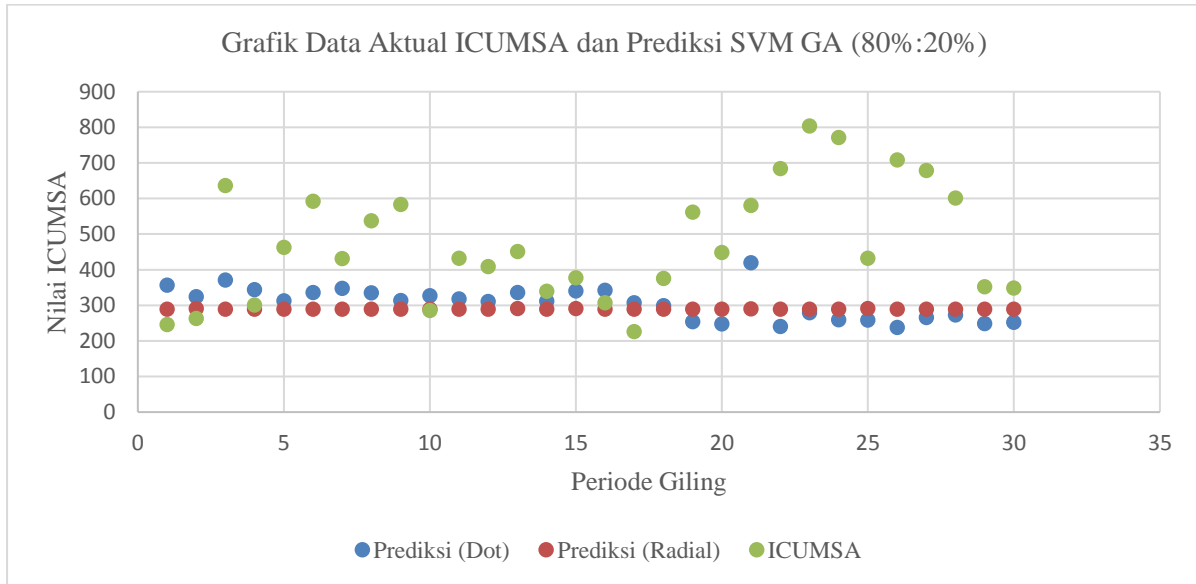
Hasil prediksi secara lengkap untuk warna larutan (ICUMSA) dan BJB, dapat dilihat pada bagian Lampiran B.

6.1.3. Genetika Algoritma: data 80%:20%

Hasil prediksi BJB menggunakan SVM genetika algoritma untuk data 80%:20% dapat dilihat pada Gambar 6. 5. Sedangkan hasil untuk prediksi warna larutan (ICUMSA) dapat dilihat pada Gambar 6. 6.



Gambar 6. 5 Grafik Data Aktual BJB dan Prediksi SVM GA (80%:20%)



Gambar 6. 6 Grafik Data Aktual ICUMSA dan Prediksi SVM GA (80%:20%)

Fitur-fitur atau atribut yang relevan hasil dari ekseskusi SVM GA dapat dilihat pada Tabel 6. 3 dan Tabel 6. 4. Nilai *weight* 0 menunjukkan bahwa atribut tersebut tidak relevan, sedangkan nilai *weight* 1 menunjukkan bahwa atribut tersebut relevan untuk digunakan dalam melakukan prediksi.

Tabel 6. 1 Daftar atribut BJB yang relevan hasil SVM GA

| BJB | | | |
|----------------|--------|----------------|--------|
| DOT | | RADIAL | |
| Atribut | Weight | Atribut | Weight |
| Brix Masakan A | 1 | Brix Masakan A | 1 |
| Pol Masakan A | 1 | Pol Masakan A | 1 |
| HK Masakan A | 0 | HK Masakan A | 1 |
| Brix Masakan C | 0 | Brix Masakan C | 1 |
| Pol Masakan C | 1 | Pol Masakan C | 1 |
| HK Masakan C | 1 | HK Masakan C | 1 |
| Brix Masakan D | 0 | Brix Masakan D | 1 |
| Pol Masakan D | 0 | Pol Masakan D | 1 |
| HK Masakan D | 1 | HK Masakan D | 1 |

Tabel 6. 2 Daftar atribut ICUMSA yang relevan hasil SVM GA

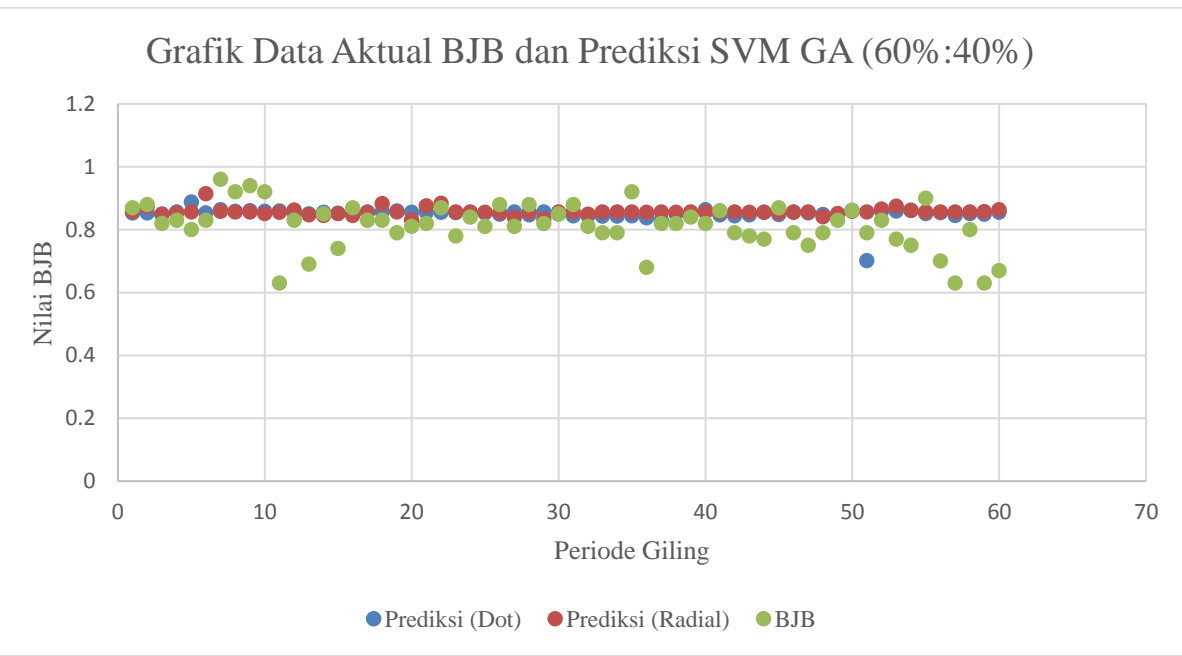
| ICUMSA | | | |
|-----------------------------|--------|-----------------------------|--------|
| DOT | | RADIAL | |
| Atribut | Weight | Atribut | Weight |
| Trash | 0 | Trash | 0 |
| Gula Reduksi Nira Mentah | 1 | Gula Reduksi Nira Mentah | 0 |
| Brix Nira Mentah | 0 | Brix Nira Mentah | 0 |

| ICUMSA | | | |
|---------------------------------|---------------|---------------------------------|---------------|
| DOT | | RADIAL | |
| Atribut | Weight | Atribut | Weight |
| Pol Nira Mentah | 0 | Pol Nira Mentah | 0 |
| HK Nira Mentah | 0 | HK Nira Mentah | 0 |
| PH Nira Mentah | 1 | PH Nira Mentah | 0 |
| Brix | 0 | Brix | 0 |
| Pol Nira Encer | 0 | Pol Nira Encer | 0 |
| HK Nira Encer | 0 | HK Nira Encer | 0 |
| Turbidity Nira Encer | 0 | Turbidity Nira Encer | 0 |
| Kadar CaO | 0 | Kadar CaO | 0 |
| PH | 0 | PH | 0 |
| Gula Reduksi Nira Encer | 0 | Gula Reduksi Nira Encer | 0 |
| HK Nira Kental Tersulfitir | 1 | HK Nira Kental Tersulfitir | 0 |
| Brix Nira Kental Tersulfitir | 0 | Brix Nira Kental Tersulfitir | 0 |
| Pol Nira Kental Tersulfitir | 1 | Pol Nira Kental Tersulfitir | 0 |
| PH Nira Kental Tersulfitir | 1 | PH Nira Kental Tersulfitir | 1 |
| Brix Masakan A | 1 | Brix Masakan A | 0 |
| Pol Masakan A | 1 | Pol Masakan A | 0 |
| HK Masakan A | 0 | HK Masakan A | 0 |
| Brix Masakan C | 0 | Brix Masakan C | 0 |
| Pol Masakan C | 1 | Pol Masakan C | 0 |
| HK Masakan C | 1 | HK Masakan C | 0 |

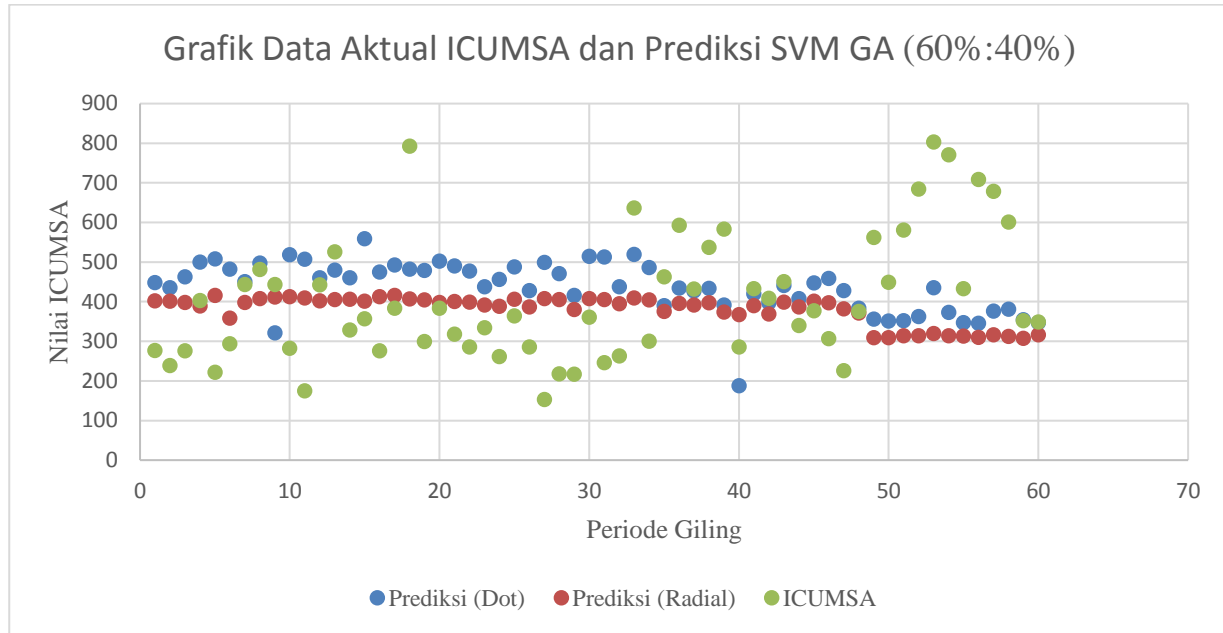
| ICUMSA | | | |
|----------------|---------------|----------------|---------------|
| DOT | | RADIAL | |
| Atribut | Weight | Atribut | Weight |
| Brix Masakan D | 0 | Brix Masakan D | 0 |
| Pol Masakan D | 0 | Pol Masakan D | 0 |
| HK Masakan D | 0 | HK Masakan D | 0 |

6.1.4. Genetika Algoritma: data 60%:40%

Hasil prediksi BJB menggunakan SVM genetika algoritma untuk data 60%:40% dapat dilihat pada Gambar 6. 7. Sedangkan hasil untuk prediksi warna larutan (ICUMSA) dapat dilihat pada Gambar 6. 8.



Gambar 6. 7 Grafik Data Aktual BJB dan Prediksi SVM GA (60%:40%)



Gambar 6. 8 Grafik Data Aktual ICUMSA dan Prediksi SVM GA (60%:40%)

Fitur-fitur atau atribut yang relevan hasil dari eksesksi SVM GA dapat dilihat pada Tabel 6. 3 untuk BJB. Nilai *weight* 0 menunjukkan bahwa atribut tersebut tidak relevan, sedangkan nilai *weight* 1 menunjukkan bahwa atribut tersebut relevan untuk digunakan dalam melakukan prediksi.

Tabel 6. 3 Daftar atribut BJB yang relevan hasil SVM GA

| BJB | | | |
|----------------|--------|----------------|--------|
| DOT | | RADIAL | |
| Atribut | Weight | Atribut | Weight |
| Brix Masakan A | 1 | Brix Masakan A | 1 |
| Pol Masakan A | 1 | Pol Masakan A | 1 |
| HK Masakan A | 0 | HK Masakan A | 1 |
| Brix Masakan C | 0 | Brix Masakan C | 1 |
| Pol Masakan C | 1 | Pol Masakan C | 1 |
| HK Masakan C | 1 | HK Masakan C | 1 |
| Brix Masakan D | 0 | Brix Masakan D | 1 |
| Pol Masakan D | 0 | Pol Masakan D | 1 |
| HK Masakan D | 1 | HK Masakan D | 1 |

Atribut yang relevan untuk melakukan prediksi terhadap nilai ICUMSA hasil SVM GA dapat dilihat pada Tabel 6. 4. Nilai *weight* 0 menunjukkan bahwa atribut tersebut tidak relevan, sedangkan nilai *weight* 1 menunjukkan bahwa atribut tersebut relevan untuk digunakan dalam melakukan prediksi.

Tabel 6. 4 Daftar atribut ICUMSA yang relevan hasil SVM GA

| ICUMSA | | | |
|------------------------------|--------|------------------------------|--------|
| DOT | | RADIAL | |
| Atribut | Weight | Atribut | Weight |
| Trash | 0 | Trash | 0 |
| Gula Reduksi Nira Mentah | 1 | Gula Reduksi Nira Mentah | 0 |
| Brix Nira Mentah | 0 | Brix Nira Mentah | 0 |
| Pol Nira Mentah | 0 | Pol Nira Mentah | 0 |
| HK Nira Mentah | 0 | HK Nira Mentah | 0 |
| PH Nira Mentah | 1 | PH Nira Mentah | 0 |
| Brix | 0 | Brix | 0 |
| Pol Nira Encer | 0 | Pol Nira Encer | 0 |
| HK Nira Encer | 0 | HK Nira Encer | 0 |
| Turbidity Nira Encer | 0 | Turbidity Nira Encer | 0 |
| Kadar CaO | 0 | Kadar CaO | 0 |
| PH | 0 | PH | 0 |
| Gula Reduksi Nira Encer | 0 | Gula Reduksi Nira Encer | 0 |
| HK Nira Kental Tersulfitir | 1 | HK Nira Kental Tersulfitir | 0 |
| Brix Nira Kental Tersulfitir | 0 | Brix Nira Kental Tersulfitir | 0 |
| Pol Nira Kental Tersulfitir | 1 | Pol Nira Kental Tersulfitir | 0 |
| PH Nira Kental Tersulfitir | 1 | PH Nira Kental Tersulfitir | 1 |
| Brix Masakan A | 1 | Brix Masakan A | 0 |
| Pol Masakan A | 1 | Pol Masakan A | 0 |

| ICUMSA | | | |
|----------------|--------|----------------|--------|
| DOT | | RADIAL | |
| Atribut | Weight | Atribut | Weight |
| HK Masakan A | 0 | HK Masakan A | 0 |
| Brix Masakan C | 0 | Brix Masakan C | 0 |
| Pol Masakan C | 1 | Pol Masakan C | 0 |
| HK Masakan C | 1 | HK Masakan C | 0 |
| Brix Masakan D | 0 | Brix Masakan D | 0 |
| Pol Masakan D | 0 | Pol Masakan D | 0 |
| HK Masakan D | 0 | HK Masakan D | 0 |

6.2. Evaluasi Hasil Prediksi Warna Larutan (ICUMSA) dan BJB

Data testing yang sudah diprediksi kemudian dievaluasi kualitasnya dengan menghitung *mean absolute percentage error* (MAPE). MAPE ditunjukkan dalam bentuk persentase. MAPE menunjukkan selisih nilai data actual dengan data hasil prediksi. Nilai MAPE yang mendekati 0 menunjukkan bahwa hasil prediksi semakin bagus, sebaliknya nilai MAPE yang semakin besar menunjukkan bahwa kualitas hasil prediksi semakin rendah. Hasil perhitungan MAPE untuk data testing dapat dilihat pada Tabel 6. 5.

Tabel 6. 5 Hasil perhitungan MAPE untuk data testing

| Pembagian Data | Variabel | Kernel | MAPE SVM GS | MAPE SVM GA |
|----------------|----------|--------|-------------|-------------|
| 80%:20% | BJB | Radial | 11% | 8% |
| | | Dot | 10% | 10% |
| | ICUMSA | Radial | 35% | 35% |
| | | Dot | 36% | 36% |
| 60%:40% | BJB | Radial | 8% | 8% |
| | | Dot | 8% | 8% |

| | | | | |
|--|--------|--------|-----|-----|
| | ICUMSA | Radial | 31% | 47% |
| | | Dot | 55% | 37% |

Dari Tabel 6. 5, dapat dilihat bahwa nilai akurasi terbaik yang dihasilkan adalah sebesar 8% dimana nilai tersebut tergolong sangat baik dengan nilai dibawah 10%. Sedangkan untuk warna larutan (ICUMSA), MAPE terbaik yang dihasilkan adalah sebesar 31% dimana nilai ini tergolong cukup baik. Hasil prediksi warna larutan (ICUMSA) cenderung tinggi dikarenakan rentang nilai pada data warna larutan (ICUMSA) terbilang cukup jauh antar periodenya. Sedangkan SVM dengan kernel Dot dan Radial memiliki kelemahan berupa kemampuan ekstrapolasi data, dimana kernel tersebut akan menngakomodir nilai-nilai yang berdekatan sehingga hasil prediksi yang diperoleh rentang nilainya tidak terlalu jauh satu sama lain[25].

6.3. Klasifikasi Hasil Prediksi Warna Larutan (ICUMSA) dan BJB

Hasil prediksi yang diperoleh kemudian diklasifikasikan berdasarkan aturan yang terdapat pada SNI 3140.3:2010 yang dapat dilihat pada Tabel 6. 6. Variabel warna larutan (ICUMSA) diklasifikan kedalam tiga kelas yaitu GKP1, GKP2, dan tidak termasuk GKP 1 atau GKP 2 (*undefined*). Sedangkan untuk BJB klasifikasi dilakukan menjadi dua kelas yaitu memenuhi syarat (lulus) dan tidak memenuhi syarat (*undefined*).

Tabel 6. 6 Standar klasifikasi gula kristal putih (SNI 3140.3:2010)

| No | Parameter Uji | Satuan | Persyaratan | |
|----|------------------------|--------|-------------|-----------|
| | | | GKP 1 | GKP 2 |
| 1 | Warna larutan (ICUMSA) | IU | 81 - 200 | 201 – 300 |
| 2 | Besar jenis butir | Mm | 0,8 - 1,2 | 0,8 – 1,2 |

Untuk melakukan klasifikasi, digunakan *tool* berupa Microsoft Excel. Penulis menggunakan fungsi-fungsi yang ada untuk dapat melakukan klasifikasi. Fungsi yang digunakan dapat dilihat pada Gambar 4. 35 (untuk klasifikasi warna larutan ICUMSA) dan Gambar 4. 36 (untuk klasifikasi BJB). Hasil klasifikasi prediksi warna larutan (ICUMSA) dan BJB dapat dilihat secara lengkap pada bagian Lampiran D.

6.4. Evaluasi Hasil Klasifikasi Warna Larutan (ICUMSA) dan BJB

Evaluasi hasil klasifikasi warna larutan (ICUMSA) dan BJB dilakukan dengan menghitung nilai akurasi untuk setiap prediksi yang dilakukan. Perhitungan dilakukan dengan membuta *confusion matrix* hasil prediksi terlebih dahulu. Baru kemudian dapat dilakukan perhitungan akurasinya. Perhitungan akurasi dilakukan dengan menggunakan persamaan berikut:

$$\text{Akurasi} = \frac{\text{Jumlah True}}{\text{Jumlah data}} \times 100\%$$

Jumlah True menunjukkan jumlah hasil prediksi klasifikasi yang sama dengan klasifikasi data actual.

6.3.1. Grid search: data 80%:20%

Confusion matix hasil testing prediksi nilai ICUMSA dengan kernel Dot untuk pembagian data 80%:20% dapat dilihat pada Tabel 6. 7.

**Tabel 6. 7 Confusion matrix ICUMSA kernel Dot
(80%:20%)**

| 80%:20% | Prediksi GKP1 | Prediksi GKP2 | Prediksi TL |
|----------------|---------------|---------------|-------------|
| Aktual GKP1 | 0 | 0 | 0 |
| Aktual GKP2 | 0 | 2 | 2 |
| Aktual TL | 2 | 17 | 7 |
| Akurasi | | 30% | |

Confusion matrix hasil testing prediksi nilai ICUMSA dengan kernel Radial untuk pembagian data 80%:20% dapat dilihat pada Tabel 6. 8.

**Tabel 6. 8 Confusion matrix ICUMSA kernel Radial
(80%:20%)**

| 80%:20% | Prediksi GKP1 | Prediksi GKP2 | Prediksi TL |
|----------------|---------------|---------------|-------------|
| Aktual GKP1 | 0 | 0 | 0 |
| Aktual GKP2 | 0 | 4 | 0 |
| Aktual TL | 0 | 26 | 0 |
| Akurasi | | | 13% |

Confusion matrix hasil testing prediksi nilai BJB dengan kernel Dot untuk pembagian data 80%:20% dapat dilihat pada Tabel 6. 9.

**Tabel 6. 9 Confusion matrix BJB kernel Dot
(80%:20%)**

| 80%:20% | Prediksi L | Prediksi TL |
|----------------|------------|---------------|
| Aktual L | 14 | 0 |
| Aktual TL | 15 | 1 |
| Akurasi | | 50.00% |

Confusion matrix hasil testing prediksi nilai BJB dengan kernel Radial untuk pembagian data 80%:20% dapat dilihat pada Tabel 6. 10.

Tabel 6. 10 Confusion matrix BJB kernel Radial (80%:20%)

| 80%:20% | Prediksi L | Prediksi TL |
|----------------|------------|---------------|
| Aktual L | 13 | 0 |
| Aktual TL | 15 | 2 |
| Akurasi | | 50.00% |

6.3.2. Grid search: data 60%:40%

Confusion matrix hasil testing prediksi nilai ICUMSA dengan kernel Dot untuk pembagian data 60%:40% dapat dilihat pada Tabel 6. 11.

**Tabel 6. 11 Confusion matrix ICUMSA kernel Dot
(60%:40%)**

| 60%:40% | Prediksi GKP1 | Prediksi GKP2 | Prediksi TL |
|----------------|---------------|---------------|-------------|
| Aktual GKP1 | 0 | 0 | 17 |
| Aktual GKP2 | 0 | 0 | 2 |
| Aktual TL | 0 | 0 | 41 |
| Akurasi | | 68.33% | |

Confusion matrix hasil testing prediksi nilai ICUMSA dengan kernel Radial untuk pembagian data 60%:40% dapat dilihat pada Tabel 6. 12.

**Tabel 6. 12 Confusion matrix ICUMSA kernel Radial
(60%:40%)**

| 60%:40% | Prediksi GKP1 | Prediksi GKP2 | Prediksi TL |
|----------------|---------------|---------------|-------------|
| Aktual GKP1 | 0 | 0 | 0 |
| Aktual GKP2 | 0 | 4 | 0 |
| Aktual TL | 0 | 26 | 0 |
| Akurasi | | 13% | |

Confusion matrix hasil testing prediksi nilai BJB dengan kernel Dot untuk pembagian data 60%:20% dapat dilihat pada Tabel 6. 13.

**Tabel 6. 13 Confusion matrix BJB kernel Dot
(60%:40%)**

| 60%:40% | Prediksi L | Prediksi TL |
|----------------|------------|---------------|
| Aktual L | 39 | 0 |
| Aktual TL | 20 | 1 |
| Akurasi | | 66.67% |

Confusion matrix hasil testing prediksi nilai BJB dengan kernel Radial untuk pembagian data 60%:40% dapat dilihat pada Tabel 6. 14.

Tabel 6. 14 Confusion matrix BJB kernel Radial (60%:40%)

| 60%:40% | Prediksi L | Prediksi TL |
|----------------|------------|---------------|
| Aktual L | 39 | 0 |
| Aktual TL | 21 | 0 |
| Akurasi | | 65.00% |

6.3.3. Genetika Algoritma: data 80%:20%

Confusion matrix hasil testing prediksi nilai BJB dengan kernel Dot untuk pembagian data 80%:20% dapat dilihat pada Tabel 6. 15.

Tabel 6. 15 Confusion matrix ICUMSA kernel Dot (80%:20%)

| 80%:20% | Prediksi GKP1 | Prediksi GKP2 | Prediksi TL |
|----------------|---------------|---------------|-------------|
| Aktual GKP1 | 0 | 0 | 0 |
| Aktual GKP2 | 0 | 13 | 4 |
| Aktual TL | 0 | 12 | 1 |
| Akurasi | | 46.67% | |

Confusion matrix hasil testing prediksi nilai ICUMSA dengan kernel Radial untuk pembagian data 80%:20% dapat dilihat pada Tabel 6. 16.

Tabel 6. 16 Confusion matrix ICUMSA kernel Radial (80%:20%)

| 80%:20% | Prediksi GKP1 | Prediksi GKP2 | Prediksi TL |
|----------------|---------------|---------------|-------------|
| Aktual GKP1 | 0 | 0 | 0 |
| Aktual GKP2 | 0 | 4 | 0 |
| Aktual TL | 0 | 26 | 0 |
| Akurasi | | 13.33% | |

Confusion matrix hasil testing prediksi nilai BJB dengan kernel Dot untuk pembagian data 80%:20% dapat dilihat pada Tabel 6. 17.

**Tabel 6. 17 Confusion matrix BJB kernel Dot
(80%:20%)**

| 80%:20% | Prediksi L | Prediksi TL |
|----------------|------------|---------------|
| Aktual L | 14 | 0 |
| Aktual TL | 15 | 1 |
| Akurasi | | 50.00% |

Confusion matrix hasil testing prediksi nilai BJB dengan kernel Radial untuk pembagian data 80%:20% dapat dilihat pada Tabel 6. 18.

**Tabel 6. 18 Confusion matrix BJB kernel
Radial (80%:20%)**

| 80%:20% | Prediksi L | Prediksi TL |
|----------------|------------|---------------|
| Aktual L | 12 | 2 |
| Aktual TL | 11 | 5 |
| Akurasi | | 56.67% |

6.3.4. Genetika Algoritma: data 60%:40%

Confusion matrix hasil testing prediksi nilai ICUMSA dengan kernel Dot untuk pembagian data 60%:40% dapat dilihat pada Tabel 6. 19.

**Tabel 6. 19 Confusion matrix ICUMSA kernel Dot
(60%:40%)**

| 60%:40% | Prediksi GKP1 | Prediksi GKP2 | Prediksi TL |
|----------------|---------------|---------------|-------------|
| Aktual GKP1 | 0 | 0 | 17 |
| Aktual GKP2 | 0 | 0 | 2 |
| Aktual TL | 0 | 0 | 41 |
| Akurasi | | 68.33% | |

Confusion matrix hasil testing prediksi nilai ICUMSA dengan kernel Radial untuk pembagian data 60%:40% dapat dilihat pada Tabel 6. 20.

**Tabel 6. 20 Confusion matrix ICUMSA kernel Radial
(60%:40%)**

| 60%:40% | Prediksi GKP1 | Prediksi GKP2 | Prediksi TL |
|----------------|---------------|---------------|---------------|
| Aktual GKP1 | 0 | 0 | 17 |
| Aktual GKP2 | 0 | 0 | 2 |
| Aktual TL | 0 | 0 | 41 |
| Akurasi | | | 68.33% |

Confusion matrix hasil testing prediksi nilai BJB dengan kernel Dot untuk pembagian data 60%:20% dapat dilihat pada Tabel 6. 21.

**Tabel 6. 21 Confusion matrix BJB kernel Dot
(60%:40%)**

| 60%:40% | Prediksi L | Prediksi TL |
|----------------|------------|---------------|
| Aktual L | 40 | 0 |
| Aktual TL | 20 | 0 |
| Akurasi | | 66.67% |

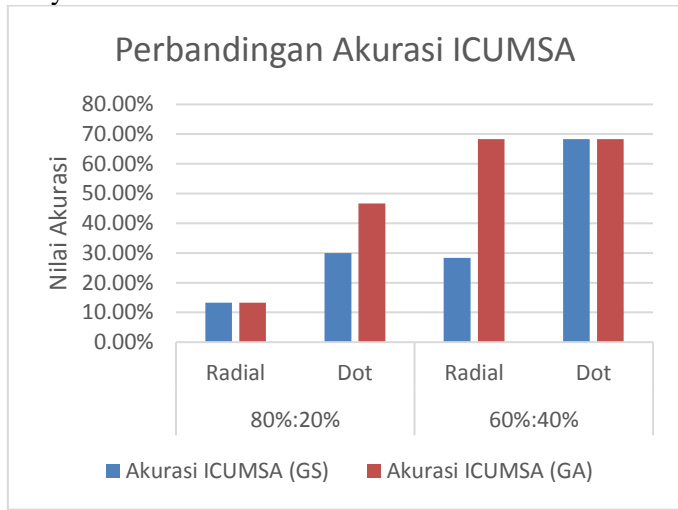
Confusion matrix hasil testing prediksi nilai BJB dengan kernel Radial untuk pembagian data 60%:40% dapat dilihat pada Tabel 6. 22.

Tabel 6. 22 Confusion matrix BJB kernel Radial (60%:40%)

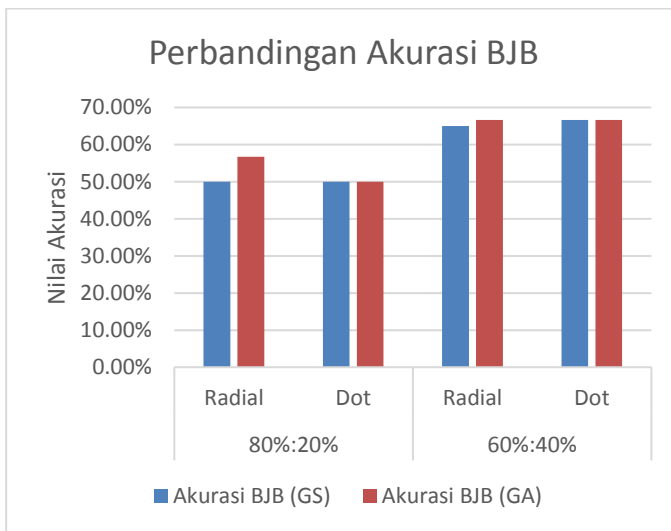
| 60%:40% | Prediksi L | Prediksi TL |
|----------------|------------|---------------|
| Aktual L | 40 | 0 |
| Aktual TL | 20 | 0 |
| Akurasi | | 66.67% |

Perbandingan nilai akurasi secara keseluruhan dari hasil testing dapat dilihat pada Gambar 6. 9 (untuk warna larutan ICUMSA) dan Gambar 6. 10 (untuk BJB). Dari kedua gambar tersebut, dapat dilihat bahwa nilai akurasi tertinggi dihasilkan dengan menggunakan kernel Dot untuk nilai warna larutan (ICUMSA) dan BJB. Selain itu, hasil akurasi klasifikasi antara metode SVM *grid search* dengan SVM

GA juga mengalami perbedaan. Akurasi SVM GA cenderung mengalami peningkatan, meskipun jumlah peningkatan akurasinya tidak signifikan atau tidak terlalu banyak.



Gambar 6. 9 Grafik perbandingan akurasi klasifikasi ICUMSA



Gambar 6. 10 Grafik perbandingan akurasi klasifikasi BJB

Nilai akurasi yang dihasilkan dari pengklasifikasian yang dilakukan cenderung rendah. Hal ini dikarenakan pembagian kelas yang ada (GKP1, GKP2, dan tidak memenuhi syarat atau *undefined*) pada data training tidak seimbang atau tidak merata. Dimana pada data training yang digunakan, data yang digunakan nilainya cenderung mengarah pada kelas atau kualitas tertentu saja. Hal ini menyebabkan SVM tidak mampu mengakomodir data dengan baik untuk nilai-nilai yang berada diluar data training[25]. Sehingga ketika model yang diperoleh diterapkan pada data testing, hasil akurasi yang diperoleh tidak sebaik akurasi pada data training.

6.5. Klasifikasi Kualitas Gula

Berdasarkan hasil klasifikasi warna larutan (ICUMSA) dan BJB yang sudah dilakukan pada tahap Sub Bab 6.2, selanjutnya dilakukan klasifikasi untuk menentukan kualitas gula. Terdapat dua jenis kualitas gula berdasarkan SNI 3140.3:2010 yaitu **GKP1** dan **GKP2**. Dimana persyaratannya dapat dilihat pada Tabel 6. 6. Disini penulis

menambahkan satu jenis kualitas lagi yaitu ***Undefined*** (**tidak termasuk kualitas GKP 1 atau GKP 2**). Kualitas ***Undefined*** ini digunakan untuk mengklasifikasikan gula yang tidak memenuhi salah satu atau kedua jenis persyaratan yang ada pada Tabel 6. 6 yaitu tidak memenuhi standar kualitas untuk warna larutan (ICUMSA) atau BJB ataupun keduanya.

Penentuan kualitas gula dilakukan dengan memanfaatkan fungsi-fungsi yang ada pada Microsoft Excel. Penggunaan fungsi dapat dilihat pada Gambar 4. 37. Hasil klasifikasi gula secara lengkap dapat dilihat pada bagian Lampiran D.

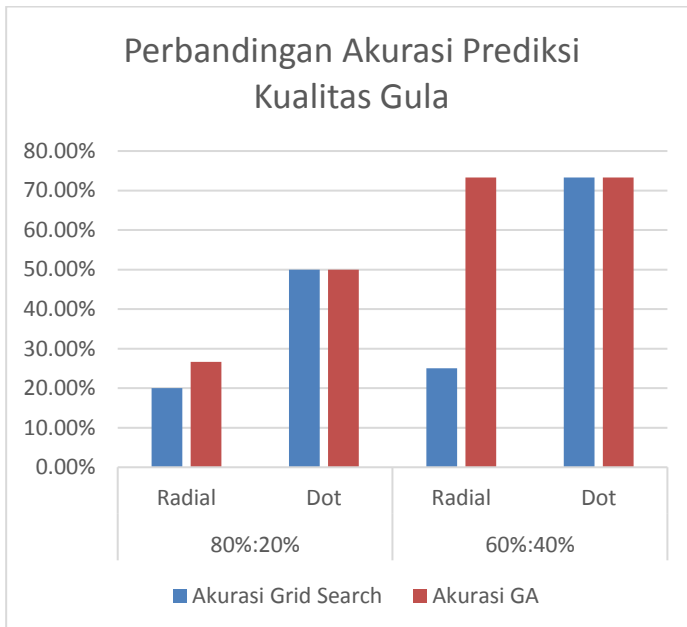
6.6. Evaluasi Hasil Klasifikasi Kualitas Gula

Setelah diketahui kualitas gula yang diproduksi per harinya oleh PT Rajawali I Surabaya, berikutnya dilakukan pengecekan keakuratan dari hasil klasifikasi kualitas gula yang diperoleh. Hasil akurasi klasifikasi kualitas gula dapat dilihat pada Tabel 6. 23.

Tabel 6. 23 Penilaian akurasi klasifikasi kualitas gula

| Pembagian Data | Kernel | Grid Search | GA |
|----------------|--------|-------------|-----|
| 80%:20% | Radial | 20% | 27% |
| | Dot | 50% | 50% |
| 60%:40% | Radial | 25% | 73% |
| | Dot | 73% | 73% |

Dari Tabel 6. 23, diketahui bahwa dengan menggunakan pembagian data *training* dan *testing* 60%:40% dapat dihasilkan nilai akurasi klasifikasi kualitas yang lebih tinggi dibandingkan dengan pembagian data 70%:30%. Selain itu, dapat dilihat bahwa nilai akurasi yang dihasilkan oleh SVM GA cenderung mengalami kenaikan untuk kernel Radial. Sedangkan untuk kernel Dot, nilai akurasi SVM GA sama dengan nilai akurasi yang dihasilkan oleh SVM grid search.



Gambar 6. 11 Grafik perbandingan akurasi klasifikasi kualitas gula

Dari Gambar 6. 11, dapat dilihat akurasi yang dihasilkan dari klasifikasi kualitas gula yang dilakukan dengan menggunakan SVM *grid search* dan SVM GA. Dari gambar tersebut, dapat dilihat bahwa nilai akurasi terbaik didapatkan dari metode SMV GA dengan kernel Radial dan Dot dengan pembagian data 60%:40%.

Nilai akurasi yang dihasilkan dari pengklasifikasian yang dilakukan cenderung rendah. Hal ini dikarenakan pembagian kelas yang ada (GKP1, GKP2, dan tidak memenuhi syarat atau *iundefined*) pada data training tidak seimbang atau tidak merata. Dimana pada data training yang digunakan, data yang digunakan nilainya cenderung mengarah pada kelas atau kualitas tertentu saja. Hal ini menyebabkan SVM tidak mampu mengakomodir data dengan baik untuk nilai-nilai yang berada diluar data training[25]. Sehingga ketika model yang diperoleh

diterapkan pada data testing, hasil akurasi yang diperoleh tidak sebaik akurasi ketika model diterapkan pada data training.

Halaman ini sengaja dikosongkan

BAB VII

PENUTUP

Bab penutup ini berisi kesimpulan yang diperoleh dari hasil pengerjaan Tugas Akhir dan saran untuk pengembangan penelitian selanjutnya untuk penelitian yang serupa dengan topik yang diambil dalam tugas akhir ini.

7.1. Kesimpulan

Kesimpulan yang dapat diambil dari pengerjaan tugas akhir ini antara lain sebagai berikut:

1. Pembagian data mempengaruhi kualitas hasil prediksi dan klasifikasi. Pembagian data 60%:40% mampu memberikan hasil akurasi yang lebih bagus dibandingkan dengan pembagian data 80%:20% untuk data warna larutan (ICUMSA) dan BJB.
2. Metode SVM dapat digunakan untuk melakukan prediksi nilai warna larutan (ICUMSA) dan BJB. Model terbaik untuk data training ditentukan berdasarkan nilai *root mean square error* (RMSE) dan *absolute error* dari hasil prediksi. Namun model terbaik untuk testing ditentukan berdasarkan nilai MAPE yang dihasilkan.
3. Model terbaik untuk data testing warna larutan (ICUMSA) adalah menggunakan kernel Radial, $C=18.65$, $\gamma=0.045$ dengan MAPE 31% dimana nilai ini tergolong cukup baik. Hasil prediksi warna larutan (ICUMSA) cenderung tinggi dikarenakan rentang nilai pada data warna larutan (ICUMSA) terbilang cukup jauh antar periodenya. Sedangkan SVM dengan kernel Dot dan Radial memiliki kelemahan berupa kemampuan ekstrapolasi data, dimana kernel tersebut akan menngakomodir nilai-nilai yang berdekatan sehingga hasil prediksi yang diperoleh rentang nilainya tidak terlalu jauh satu sama lain.
4. Model terbaik untuk data testing BJB model terbaik menghasilkan MAPE sebesar 8%. Untuk kernel Dot nilai $C=1$ dan kernel Radial $C=0.675$ serta

- gamma=8.65. Nilai MAPE ini termasuk dalam kategori sangat baik karena nilainya yang kurang dari 10%.
5. Akurasi hasil klasifikasi kualitas gula terbaik adalah sebesar 73.33% dengan menggunakan kernel Dot. Hal ini dikarenakan kernel Dot cenderung lebih mampu mengakomodir kondisi data-data yang berada diluar data training (kemampuan ekstrapolasi), dimana hal ini tidak mampu dilakukan dengan baik oleh kernel Radial.
 6. Metode SVM GA mampu memberikan peningkatan akurasi terhadap hasil prediksi kualitas gula, terutama jika menggunakan kernel Radial. Sedangkan untuk SVM dengan kernel Dot, metode GA tidak terlalu memberikan dampak perubahan akurasi yang signifikan, justru nilai akurasi yang dihasilkan cenderung sama.

7.2. Saran

Saran untuk penelitian serupa selanjutnya antara lain sebagai berikut:

1. Dapat dilakukan prediksi dengan menggunakan metode lain seperti ANN, regresi, atau lain sebagainya. Dengan begitu dapat dibandingkan nilai hasil prediksi dan hasil akurasi klasifikasi yang dapat yang bisa dihasilkan dari masing-masing metode.
2. Penelitian dengan menggunakan pembagian data yang lebih beragam dapat diterapkan lagi untuk memperoleh hasil prediksi dan klasifikasi yang lebih baik. Selain itu, data training dengan ragam kelas yang lebih rata juga dapat diterapkan. Agar model yang dihasilkan tidak mendominasi kepada kelas tertentu saja.
3. Penelitian berikutnya dapat mencoba melakukan pengujian dengan rentang nilai C dan gamma yang lebih besar untuk mengetahui model terbaik dalam rentang nilai yang lebih luas.
4. Penelitian berikutnya dapat mencoba menggunakan SVM dengan kernel jenis lain seperti polynomial, gaussian, dan sebagainya. Untuk membandingkan hasil

keakurasiannya prediksi yang mampu dihasilkan oleh jenis kernel yang lain.

Halaman ini sengaja dikosongkan

DAFTAR PUSTAKA

- [1] Kementerian Pertanian, “Outlook Tebu Komoditas Pertanian Subsektor Perkebunan,” *Pus. Data dan Sist. Inf. Pertan.*, pp. 1–106, 2016.
- [2] K. P. R. Indonesia, “Menperin: Jumlah Pabrik Gula Harus Dikurangi.” [Online]. Available: <http://www.kemenperin.go.id/artikel/11582/Menperin:-Jumlah-Pabrik-Gula-Harus-Dikurangi>. [Accessed: 01-Jan-2017].
- [3] Badan Standarisasi Nasional, “Standar Nasional Indonesia 3140.3:2010 Gula Kristal - Bagian 3 : Putih,” pp. 1–17, 2010.
- [4] B. S. Kuspratiwi and M. K. Wiwik Anggraeni, S.Si, “Penerapan Jaringan Syaraf Tiruan untuk Memprediksi Kualitas Hasil Produksi Gula di PT. PG Rajawali I Surabaya,” *Tugas Akhir Sist. Inf. Inst. Teknol. Sepuluh Nop. Surabaya*, 2014.
- [5] B. B. Nair and V. P. M. N. R. Sakthivel, “A Genetic Algorithm Optimized Decision Tree- SVM based Stock Market Trend Prediction System,” *Int. J.*, vol. 2, no. 9, pp. 2981–2988, 2010.
- [6] D. Li, W. Yang, and S. Wang, “Classification of Foreign Fibers in Cotton Lint Using Machine Vision and Multi-Class Support Vector Machine,” *Comput. Electron. Agric.*, vol. 74, no. 2, pp. 274–279, 2010.
- [7] J. H. Min and Y. C. Lee, “Bankruptcy Prediction Using Support Vector Machine with Optimal Choice of Kernel Function Parameters,” *Expert Syst. Appl.*, vol. 28, no. 4, pp. 603–614, 2005.
- [8] C. L. Huang and C. J. Wang, “A GA-Based Feature Selection and Parameters Optimization for Support Vector Machines,” *Expert Syst. Appl.*, vol. 31, no. 2, pp. 231–240, 2006.
- [9] D. Philips, *Menikmati Gula Tanpa Rasa Takut*. Sinar Ilmu, 2013.
- [10] Kompas.com, “Rafinasi Vs Gula Kristal Putih - Kompas,” 2011. [Online]. Available:

- <http://ekonomi.kompas.com/read/2011/07/29/02442655/Rafinasi.Vs.Gula.Kristal.Putih>. [Accessed: 25-Sep-2017].
- [11] E. S. Hartanto, “Peningkatan Mutu Produk Gula Kristal Putih Melalui Teknologi Defekasi Remelt Karbonatas,” *Mutu, Peningkatan Gula, Prod. Putih, Kristal Teknol. Melalui*, pp. 215–222, 2014.
 - [12] A. El Fajrin, S. Hartono, L. R. Waluyati, F. Pertanian, and U. Gadjah, “The Demand for Refined Sugar in Food and Beverage and Pharmaceutical Industries,” vol. 26, no. 2, pp. 150–158, 2015.
 - [13] Irawati, “Optimasi Parameter Support Vector Machine (SVM) Menggunakan Algoritme Genetika,” Institut Pertanian Bogor, 2010.
 - [14] M. A. H. Farquad, V. Ravi, and S. B. Raju, “Churn Prediction Using Comprehensible Support Vector Machine: An Analytical CRM Application,” *Appl. Soft Comput. J.*, vol. 19, pp. 31–40, 2014.
 - [15] N. Neneng, K. Adi, and R. Isnanto, “Support Vector Machine Untuk Klasifikasi Citra Jenis Daging Berdasarkan Tekstur Menggunakan Ekstraksi Ciri Gray Level Co-Occurrence Matrices (GLCM),” *J. Sist. Inf. Bisnis*, vol. 6, no. 1, p. 1, 2016.
 - [16] A. Ben-hur and J. Weston, “Data Mining Techniques for the Life Sciences,” vol. 609, pp. 223–239, 2010.
 - [17] C. M. Bishop, *Pattern Recognition and Machine Learning*, vol. 53, no. 9. Singapore: Springer Science+Business Media, LLC, 2006.
 - [18] L. Li, A. Pratap, H. T. Lin, and Y. S. Abu-Mostafa, “Improving Generalization by Data Categorization,” *Knowl. Discov. Databases PKDD 2005*, vol. 3721, pp. 157–168, 2005.
 - [19] and C.-J. L. Chih-Wei Hsu, Chih-Chung Chang, “A Practical Guide to Support Vector Classification,” *BJU Int.*, vol. 101, no. 1, pp. 1396–400, 2008.
 - [20] G. Chandrashekar and F. Sahin, “A Survey on Feature Selection Methods,” *Comput. Electr. Eng.*, vol. 40, no.

- 1, pp. 16–28, 2014.
- [21] T. Chai and R. R. Draxler, “Root Mean Square Error (RMSE) Or Mean Absolute Error (MAE)? -Arguments Against Avoiding RMSE in The Literature,” *Geosci. Model Dev.*, vol. 7, no. 3, pp. 1247–1250, 2014.
- [22] T. W. Gentry, B. M. Wiliamowski, and L. R. Weatherford, “A Comparison of Traditional Forecasting Techniques and Neural Networks,” *Intelligent Engineering Systems Through Artificial Neural Networks*, vol. 5, pp. 765–760, 1995.
- [23] A. Matias, P. Nijkamp, and M. Sarmento, *Quantitative Methods in Tourism Economics*. Berlin: Springer-Verlag, 2013.
- [24] E. Riswanto, “Evaluasi Akurasi Klasifikasi Penutupan Lahan Menggunakan Citra Alos Palsar Resolusi Rendah Studi Kasus Di Pulau Kalimantan,” Institut Pertanian Bogor, 2009.
- [25] G. F. Smits and E. M. Jordaan, “Improved SVM Regression Using Mixtures of Kernels,” *Proc. 2002 Int. Jt. Conf. Neural Networks. IJCNN'02*, vol. 3, pp. 2785–2790, 2002.
- [26] S. Russell and P. Norvig, *Artificial Intelligence: A Modern Approach, 3rd Edition*. 2009.

Halaman ini sengaja dikosongkan

BIODATA PENULIS



Nama lengkap penulis adalah Ria Widiya Ariani. Penulis lahir di Jombang, 17 Februari 1996 dan merupakan anak ketiga dari tiga bersaudara.

Penulis menempuh pendidikan formal selama 12 tahun di Jombang yaitu di MI Nurul Iman Dempok-Jombang, SMP Negeri 2 Jombang, dan SMA 2 Jombang. Kemudian pada tahun 2014, penulis diterima sebagai mahasiswa di Departemen Sistem Informasi ITS melalui jalur SNMPTN (Seleksi Nasional Masuk

Perguruan Tinggi Negeri).

Selama menempuh perkuliahan di Departemen Sistem Informasi ITS, penulis aktif dalam berbagai kegiatan organisasi dan kepanitian di lingkup jurusan hingga institut. Penulis menjadi anggota aktif dari HMSI Muda Berkarya (2015/2016) dan HMSI Kolaborasi (2016/2017) di Departemen Hubungan Luar. Salah satu kegiatan kepanitian yang pernah diikuti adalah Information System Expo (ISE) 2015 dan 2016. Penulis juga pernah menjadi *volunteer* pada salah satu kegiatan yang diadakan oleh *Project Management Institute* (PMI) Indonesia yaitu *The 6th International Project Management Symposium & Exhibition (SymEx)* tahun 2016 yang diadakan di Surabaya.

Penulis juga pernah menjadi asisten dosen untuk mata kuliah Statistika selama 2 semester. Selain sebagai asisten dosen, penulis juga pernah menjadi *grader* untuk mata kuliah Teknik Peramalan selama 1 semester.

Penulis dapat dihubungi melalui email ria.widiya@gmail.com atau Instagram riawa_.

Halaman ini sengaja dikosongkan

LAMPIRAN A : DATA AKTUAL

Tabel A. 1 Data stasiun gilingan

| Hari Giling Ke- | Tanggal | Trash | Gula Reduksi Nira Mentah | Brix Nira Mentah | Pol Nira Mentah | HK Nira Mentah | PH Nira Mentah |
|-----------------|-----------|-------|--------------------------|------------------|-----------------|----------------|----------------|
| 1 | 5/23/2014 | 3.72 | 11.27 | 10.38 | 24.22 | 64.3 | 5.23 |
| 2 | 5/24/2014 | 5.46 | 11.62 | 12.93 | 9.6 | 63.45 | 5.33 |
| 3 | 5/25/2014 | 6.22 | 12.62 | 12.36 | 8.75 | 70.74 | 6.77 |
| 4 | 5/26/2014 | 5.25 | 40.82 | 11.44 | 7.78 | 68 | 6.8 |
| 5 | 5/27/2014 | 5.72 | 10.04 | 11.65 | 7.91 | 67.9 | 6.87 |
| 6 | 5/28/2014 | 5.47 | 24.53 | 12.11 | 8.37 | 69.13 | 4.91 |
| 7 | 5/29/2014 | 4.92 | 24.15 | 12.3 | 7.35 | 59.78 | 5.35 |
| 8 | 5/30/2014 | 5.52 | 16.71 | 12.15 | 8.06 | 66.33 | 4.86 |
| 9 | 5/31/2014 | 5.46 | 16.17 | 10.94 | 7.86 | 71.84 | 4.86 |
| 10 | 6/1/2014 | 3.75 | 32.02 | 12.31 | 8.66 | 70.51 | 4.31 |
| 11 | 6/2/2014 | 4.3 | 19.05 | 12.44 | 9.88 | 79.46 | 4.84 |
| 12 | 6/3/2014 | 5.03 | 13.41 | 11.33 | 7.21 | 63.7 | 5.11 |
| 13 | 6/4/2014 | 4.23 | 16.71 | 11.89 | 8.81 | 74.09 | 5.5 |
| 14 | 6/5/2014 | 4.74 | 13.45 | 10.93 | 7.34 | 67.17 | 5.03 |
| 15 | 6/6/2014 | 5.17 | 8.21 | 11.32 | 7.58 | 66.94 | 4.9 |
| 16 | 6/7/2014 | 5.09 | 20.9 | 11.34 | 8.14 | 72.02 | 5.22 |
| 17 | 6/8/2014 | 12.27 | 14.79 | 10.15 | 8.23 | 81.12 | 4.86 |
| 18 | 6/9/2014 | 4.36 | 27.49 | 12.26 | 9.25 | 72.95 | 5.24 |
| 19 | 6/10/2014 | 4.6 | 14.7 | 14.72 | 11.57 | 78.58 | 4.94 |
| 20 | 6/11/2014 | 4.89 | 12.35 | 11.9 | 9.94 | 75.96 | 5.04 |

| Hari Giling Ke- | Tanggal | Trash | Gula Reduksi Nira Mentah | Brix Nira Mentah | Pol Nira Mentah | HK Nira Mentah | PH Nira Mentah |
|-----------------|-----------|-------|--------------------------|------------------|-----------------|----------------|----------------|
| 21 | 6/12/2014 | 4.63 | 14.62 | 12.31 | 8.58 | 69.68 | 4.87 |
| 22 | 6/13/2014 | 4.89 | 14.64 | 14.48 | 8.81 | 60.87 | 4.9 |
| 23 | 6/14/2014 | 4.2 | 17.27 | 10.42 | 7.3 | 70.1 | 4.74 |
| 24 | 6/15/2014 | 5.18 | 17.16 | 11.93 | 8.5 | 71.23 | 4.82 |
| 25 | 6/16/2014 | 4.8 | 13.48 | 10.31 | 7.78 | 75.44 | 4.98 |
| 26 | 6/17/2014 | 4.6 | 18.89 | 9.53 | 6.66 | 69.9 | 4.67 |
| 27 | 6/18/2014 | 4.7 | 21.09 | 12.47 | 9.72 | 77.94 | 4.76 |
| 28 | 6/19/2014 | 4.6 | 19.17 | 12.36 | 8.76 | 70.92 | 4.31 |
| 29 | 6/20/2014 | 4.66 | 15.34 | 11.73 | 8.59 | 73.19 | 4.98 |
| 30 | 6/21/2014 | 5.03 | 14.68 | 10.01 | 7.28 | 72.73 | 4.94 |
| 31 | 6/22/2014 | 6.26 | 18.18 | 11.66 | 8.37 | 71.79 | 4.96 |
| 32 | 6/23/2014 | 4.42 | 19.61 | 10.81 | 7.17 | 66.31 | 4.67 |
| 33 | 6/24/2014 | 4.31 | 39.81 | 11.73 | 8.76 | 74.65 | 10.06 |
| 34 | 6/25/2014 | 4.55 | 9.91 | 11.8 | 8.92 | 75.56 | 9.07 |
| 35 | 6/26/2014 | 4.1 | 11.72 | 13.31 | 9.53 | 71.61 | 5.21 |
| 36 | 6/27/2014 | 4.29 | 12.69 | 10.32 | 7.2 | 69.54 | 4.33 |
| 37 | 6/28/2014 | 4.2 | 33.42 | 11.7 | 9.08 | 77.62 | 4.67 |
| 38 | 6/29/2014 | 4.54 | 15.23 | 11.82 | 9.2 | 77.81 | 4.41 |
| 39 | 6/30/2014 | 4.59 | 24.5 | 12.12 | 8.64 | 71.3 | 4.98 |
| 40 | 7/1/2014 | 4.27 | 13.3 | 11.05 | 8.25 | 74.7 | 4.74 |
| 41 | 7/2/2014 | 4.01 | 25.43 | 13.215 | 9.04 | 71.99 | 5.38 |
| 42 | 7/3/2014 | 4.07 | 11.96 | 12.29 | 9.31 | 75.81 | 8.39 |
| 43 | 7/4/2014 | 4.16 | 11.96 | 11.41 | 8.6 | 73.59 | 6.86 |

| Hari Giling Ke- | Tanggal | Trash | Gula Reduksi Nira Mentah | Brix Nira Mentah | Pol Nira Mentah | HK Nira Mentah | PH Nira Mentah |
|-----------------|-----------|-------|--------------------------|------------------|-----------------|----------------|----------------|
| 44 | 7/5/2014 | 4.06 | 11.72 | 13.2 | 9.9 | 75.01 | 7.7 |
| 45 | 7/6/2014 | 4.05 | 11.76 | 11.82 | 8.92 | 75.46 | 5.78 |
| 46 | 7/7/2014 | 4.01 | 11.86 | 11.73 | 8.6 | 73.34 | 4.91 |
| 47 | 7/8/2014 | 4.08 | 11.88 | 11.54 | 8.65 | 74.93 | 9.54 |
| 48 | 7/9/2014 | 4.28 | 11.92 | 11.22 | 8 | 71.28 | 6.65 |
| 49 | 7/10/2014 | 4.1 | 11.86 | 11 | 7.5 | 68.16 | 4.89 |
| 50 | 7/11/2014 | 4.38 | 11.96 | 14.17 | 11.52 | 81.35 | 6.81 |
| 51 | 7/12/2014 | 4.35 | 11.88 | 11.99 | 8.75 | 73.01 | 6.76 |
| 52 | 7/13/2014 | 4.88 | 11.89 | 12.37 | 9.34 | 75.51 | 8.49 |
| 53 | 7/14/2014 | 4.53 | 12.03 | 11.78 | 8.37 | 71.04 | 3.61 |
| 54 | 7/15/2014 | 4.41 | 11.91 | 13.83 | 8.95 | 64.69 | 6.87 |
| 55 | 7/16/2014 | 3.01 | 12 | 10.69 | 8.19 | 76.64 | 12.74 |
| 56 | 7/17/2014 | 4.01 | 12.02 | 11.93 | 9.11 | 76.38 | 7.03 |
| 57 | 7/18/2014 | 4.32 | 12.13 | 11.6 | 8.86 | 71.6 | 8.42 |
| 58 | 7/19/2014 | 4.07 | 12.2 | 12.23 | 9.23 | 75.47 | 11.35 |
| 59 | 7/20/2014 | 4.31 | 12.07 | 11.79 | 8.5 | 72.23 | 10.49 |
| 60 | 7/21/2014 | 4.02 | 12.07 | 12.09 | 7.39 | 61.12 | 4.39 |
| 61 | 7/22/2014 | 4.25 | 11.89 | 13.16 | 9.84 | 74.79 | 7.49 |
| 62 | 7/23/2014 | 4.06 | 12.2 | 13 | 8.81 | 67.75 | 5.22 |
| 63 | 7/24/2014 | 4.04 | 11.83 | 11.06 | 7.62 | 68.84 | 13.23 |
| 64 | 7/25/2014 | 3.82 | 12.27 | 11.8 | 8.18 | 69.3 | 9.76 |
| 65 | 8/3/2014 | 4.26 | 11.84 | 10.87 | 7.93 | 72.96 | 6.33 |
| 66 | 8/4/2014 | 4.2 | 11.9 | 12.91 | 9.85 | 76.27 | 4.7 |

| Hari Giling Ke- | Tanggal | Trash | Gula Reduksi Nira Mentah | Brix Nira Mentah | Pol Nira Mentah | HK Nira Mentah | PH Nira Mentah |
|-----------------|-----------|-------|--------------------------|------------------|-----------------|----------------|----------------|
| 67 | 8/5/2014 | 4.2 | 11.96 | 13.18 | 10.41 | 78.93 | 5.5 |
| 68 | 8/6/2014 | 4.13 | 11.93 | 11.84 | 8.14 | 70.85 | 8.15 |
| 69 | 8/7/2014 | 4.53 | 11.94 | 11.04 | 8.13 | 68.67 | 6.72 |
| 70 | 8/8/2014 | 3.93 | 12.13 | 11.49 | 8.77 | 76.3 | 5.45 |
| 71 | 8/9/2014 | 4.19 | 11.82 | 14.35 | 11.2 | 78.03 | 5.11 |
| 72 | 8/10/2014 | 4.38 | 12.1 | 11.75 | 8.44 | 71.85 | 6.82 |
| 73 | 8/11/2014 | 4.5 | 12 | 11.99 | 8.95 | 74.6 | 9.31 |
| 74 | 8/12/2014 | 4.15 | 12.06 | 12.5 | 9.61 | 76.84 | 5.4 |
| 75 | 8/13/2014 | 4.07 | 11.95 | 12.66 | 9.04 | 74.21 | 5.81 |
| 76 | 8/14/2014 | 4.39 | 12.02 | 13.44 | 10.15 | 75.58 | 5.8 |
| 77 | 8/15/2014 | 4.43 | 11.9 | 12.28 | 8.67 | 70.62 | 5.9 |
| 78 | 8/16/2014 | 4.11 | 12.03 | 12.59 | 8.63 | 68.5 | 5.84 |
| 79 | 8/17/2014 | 4.42 | 11.97 | 10.65 | 7.73 | 72.57 | 5.33 |
| 80 | 8/18/2014 | 4.29 | 12.03 | 14.55 | 9.26 | 63.61 | 6.14 |
| 81 | 8/19/2014 | 4.37 | 12.04 | 12.5 | 9.04 | 72.36 | 6.89 |
| 82 | 8/20/2014 | 5.54 | 11.96 | 13.25 | 9.65 | 72.82 | 5.48 |
| 83 | 8/21/2014 | 4.34 | 21.86 | 13.08 | 9.86 | 75.34 | 5.67 |
| 84 | 8/22/2014 | 4.5 | 19.51 | 12.55 | 9.6 | 76.46 | 4.64 |
| 85 | 8/23/2014 | 4.22 | 25.05 | 13.46 | 9.46 | 70.28 | 5 |
| 86 | 8/24/2014 | 4.32 | 17.48 | 14.17 | 10.32 | 72.85 | 5.51 |
| 87 | 8/25/2014 | 4 | 19.49 | 12.16 | 8.29 | 68.2 | 6.5 |
| 88 | 8/26/2014 | 4.2 | 8.79 | 12.52 | 8.62 | 68.27 | 6.5 |
| 89 | 8/27/2014 | 4.01 | 15.58 | 12.51 | 9.15 | 72.13 | 6.8 |

| Hari Giling Ke- | Tanggal | Trash | Gula Reduksi Nira Mentah | Brix Nira Mentah | Pol Nira Mentah | HK Nira Mentah | PH Nira Mentah |
|-----------------|-----------|-------|--------------------------|------------------|-----------------|----------------|----------------|
| 90 | 8/28/2014 | 4.46 | 14.69 | 12.73 | 8.55 | 67.19 | 4.4 |
| 91 | 8/29/2014 | 4.61 | 12.95 | 13.9 | 10.08 | 72.53 | 6.5 |
| 92 | 8/30/2014 | 4.1 | 19.35 | 12.25 | 8.68 | 70.88 | 7 |
| 93 | 8/31/2014 | 4.41 | 37.96 | 12.31 | 8.79 | 71.4 | 4.7 |
| 94 | 9/1/2014 | 4.35 | 18.23 | 13 | 9.12 | 70.21 | 4.7 |
| 95 | 9/2/2014 | 4 | 13.52 | 11.54 | 8.1 | 70.17 | 4.7 |
| 96 | 9/3/2014 | 4.58 | 11.11 | 14.22 | 8.96 | 63.01 | 5 |
| 97 | 9/4/2014 | 4.64 | 14.07 | 13 | 9.16 | 70.48 | 4.7 |
| 98 | 9/5/2014 | 4.28 | 19.16 | 12.37 | 9.01 | 72.83 | 5 |
| 99 | 9/6/2014 | 4.42 | 20.52 | 11.55 | 8.34 | 72.2 | 11 |
| 100 | 9/7/2014 | 4.48 | 15.4 | 13.17 | 9.97 | 75.64 | 5 |
| 101 | 9/8/2014 | 4.32 | 14.61 | 12.37 | 9.28 | 75.05 | 5.3 |
| 102 | 9/9/2014 | 4.45 | 13.69 | 13.66 | 10.4 | 76.19 | 5 |
| 103 | 9/10/2014 | 4.2 | 15.89 | 13.39 | 9.52 | 71.1 | 5.5 |
| 104 | 9/11/2014 | 4.63 | 33.52 | 13.93 | 10.57 | 75.88 | 4.7 |
| 105 | 9/12/2014 | 4.43 | 20.09 | 13.84 | 10.26 | 74.11 | 4.7 |
| 106 | 9/13/2014 | 4.53 | 18.23 | 11.95 | 8.87 | 74.234 | 6.33 |
| 107 | 9/14/2014 | 4.44 | 15.06 | 13 | 9.32 | 71.66 | 6.1 |
| 108 | 9/15/2014 | 4.4 | 15.69 | 11.49 | 8.44 | 73.42 | 4.7 |
| 109 | 9/16/2014 | 4.5 | 13.9 | 11.2 | 9.15 | 81.58 | 11 |
| 110 | 9/17/2014 | 4.92 | 12.35 | 12.63 | 9.89 | 78.25 | 5.8 |
| 111 | 9/18/2014 | 6.62 | 10.45 | 14.94 | 11.48 | 76.88 | 8.3 |
| 112 | 9/19/2014 | 4.69 | 8.86 | 13.22 | 10.02 | 75.79 | 5.9 |

| Hari Giling Ke- | Tanggal | Trash | Gula Reduksi Nira Mentah | Brix Nira Mentah | Pol Nira Mentah | HK Nira Mentah | PH Nira Mentah |
|-----------------|------------|-------|--------------------------|------------------|-----------------|----------------|----------------|
| 113 | 9/20/2014 | 4.57 | 7.8 | 11.97 | 8.74 | 73.01 | 5.8 |
| 114 | 9/21/2014 | 4.82 | 19.25 | 15.43 | 11.58 | 75.06 | 4.7 |
| 115 | 9/22/2014 | 4.58 | 11.01 | 13.83 | 8.57 | 72.81 | 6.1 |
| 116 | 9/23/2014 | 4.7 | 14.97 | 15.83 | 12.36 | 78.09 | 5 |
| 117 | 9/24/2014 | 4.59 | 11.57 | 13.02 | 10.14 | 77.85 | 5.8 |
| 118 | 9/25/2014 | 4.8 | 7.5 | 13.71 | 9.97 | 72.74 | 4.7 |
| 119 | 9/26/2014 | 4.9 | 20.17 | 13.88 | 10.16 | 75.21 | 5 |
| 120 | 9/27/2014 | 5 | 12.84 | 14.18 | 11.35 | 80.04 | 5 |
| 121 | 9/28/2014 | 5.03 | 8.69 | 15.2 | 11.65 | 76.64 | 5.8 |
| 122 | 9/29/2014 | 4.83 | 25.49 | 13.22 | 9.67 | 75.12 | 5 |
| 123 | 9/30/2014 | 4.97 | 19.02 | 12.43 | 8.57 | 68.96 | 4.7 |
| 124 | 10/1/2014 | 4.8 | 14.82 | 13.7 | 9.53 | 69.55 | 5.3 |
| 125 | 10/2/2014 | 4.97 | 19.28 | 12.29 | 8.88 | 72.26 | 5 |
| 126 | 10/3/2014 | 5.06 | 17.67 | 13.41 | 9.74 | 72.74 | 5.8 |
| 127 | 10/4/2014 | 4.8 | 19.57 | 12.11 | 8.92 | 73.69 | 5.8 |
| 128 | 10/5/2014 | 4.71 | 13.51 | 11.55 | 8.64 | 74.81 | 5 |
| 129 | 10/7/2014 | 4.86 | 7.74 | 13.3 | 10.08 | 75.75 | 5 |
| 130 | 10/8/2014 | 5.07 | 13.89 | 11.23 | 8.14 | 72.5 | 5 |
| 131 | 10/9/2014 | 4.89 | 12.56 | 13.5 | 9.82 | 72.72 | 5.5 |
| 132 | 10/10/2014 | 5 | 17.09 | 13.87 | 10.46 | 75.42 | 5 |
| 133 | 10/11/2014 | 6.28 | 12.92 | 11.63 | 8.33 | 71.61 | 5.5 |
| 134 | 10/12/2014 | 5.05 | 18.27 | 12.97 | 9.61 | 74.08 | 5.3 |
| 135 | 10/13/2014 | 5.12 | 25.55 | 11.03 | 7.99 | 72.49 | 6.1 |

| Hari Giling Ke- | Tanggal | Trash | Gula Reduksi Nira Mentah | Brix Nira Mentah | Pol Nira Mentah | HK Nira Mentah | PH Nira Mentah |
|-----------------|------------|-------|--------------------------|------------------|-----------------|----------------|----------------|
| 136 | 10/14/2014 | 5.22 | 14.55 | 10.72 | 8.38 | 78.18 | 5.3 |
| 137 | 10/15/2014 | 5.43 | 12.8 | 12.19 | 9.32 | 76.52 | 5.3 |
| 138 | 10/16/2014 | 5.31 | 12.94 | 13.09 | 9.9 | 75.61 | 7.4 |
| 139 | 10/17/2014 | 5.11 | 14.65 | 12.29 | 8.98 | 73.11 | 6 |
| 140 | 10/18/2014 | 5.23 | 11.93 | 9.15 | 4.4 | 48.142 | 6.72 |
| 141 | 10/19/2014 | 5.04 | 14.88 | 15.93 | 12.22 | 76.71 | 4.7 |
| 142 | 10/20/2014 | 5.27 | 31.96 | 16.02 | 13.11 | 81.83 | 5 |
| 143 | 10/21/2014 | 5.47 | 21.72 | 12.8 | 9.21 | 71.92 | 5 |
| 144 | 10/22/2014 | 5.11 | 12.24 | 13.88 | 10.54 | 75.91 | 5.8 |
| 145 | 10/23/2014 | 5.19 | 16.66 | 10.8 | 6.81 | 63.07 | 5.3 |
| 146 | 10/24/2014 | 5.21 | 18.61 | 8.38 | 4.77 | 56.92 | 5 |
| 147 | 10/25/2014 | 5.34 | 19.47 | 12.17 | 9.14 | 75.08 | 8.3 |
| 148 | 10/26/2014 | 5.01 | 12.76 | 12.23 | 9.96 | 81.42 | 7.4 |
| 149 | 10/27/2014 | 5.05 | 14.69 | 10.62 | 8.56 | 80.63 | 6.1 |

Tabel A. 2 Data stasiun pemurnian

| Hari Giling Ke- | Tanggal | Brix | Pol Nira Encer | HK Nira Encer | Turbidity Nira Encer | Kadar CaO | PH | Gula Reduksi Nira Encer |
|-----------------|-----------|-------|----------------|---------------|----------------------|-----------|------|-------------------------|
| 1 | 5/23/2014 | 12.71 | 8.92 | 70.18 | 51.895 | 981.45 | 7 | 8.97 |
| 2 | 5/24/2014 | 13.42 | 10.06 | 74.93 | 51.895 | 555.54 | 6.53 | 12.06 |
| 3 | 5/25/2014 | 12.18 | 8.66 | 71.13 | 13.02 | 657.39 | 7 | 16.67 |

| Hari Giling Ke- | Tanggal | Brix | Pol Nira Encer | HK Nira Encer | Turbidity Nira Encer | Kadar CaO | PH | Gula Reduksi Nira Encer |
|-----------------|-----------|-------|----------------|---------------|----------------------|------------|------|-------------------------|
| 4 | 5/26/2014 | 12.45 | 8.85 | 71.06 | 34.64 | 601.83 | 7 | 8.91 |
| 5 | 5/27/2014 | 13.06 | 8.95 | 68.56 | 49.77 | 499.99 | 7 | 8.96 |
| 6 | 5/28/2014 | 11.48 | 8.78 | 76.54 | 38.23 | 462.95 | 6.99 | 8.27 |
| 7 | 5/29/2014 | 12 | 6.72 | 56.02 | 84.33 | 444.43 | 6.87 | 11.92 |
| 8 | 5/30/2014 | 12.3 | 8.65 | 70.33 | 98.915 | 555.54 | 8.08 | 31.79 |
| 9 | 5/31/2014 | 13.52 | 9.55 | 70.62 | 44.36 | 594.89 | 7.13 | 15.68 |
| 10 | 6/1/2014 | 11.72 | 8.99 | 76.66 | 42.02 | 810.037938 | 7.19 | 15.86 |
| 11 | 6/2/2014 | 12.17 | 8.56 | 70.31 | 110.12 | 809.971441 | 6.59 | 38.37 |
| 12 | 6/3/2014 | 12.27 | 8.68 | 70.74 | 31.24 | 809.962108 | 6.91 | 17.28 |
| 13 | 6/4/2014 | 12.21 | 9.33 | 74.43 | 30.78 | 810.167411 | 7.8 | 12.78 |
| 14 | 6/5/2014 | 11.82 | 8.62 | 72.93 | 15.04 | 810.034844 | 7.41 | 15.21 |
| 15 | 6/6/2014 | 12.02 | 8.85 | 73.59 | 32.37 | 809.978918 | 7.16 | 11.56 |
| 16 | 6/7/2014 | 11.63 | 8.27 | 71.09 | 69.26 | 809.842835 | 7.05 | 22.61 |
| 17 | 6/8/2014 | 12.26 | 9.27 | 75.62 | 36.7 | 809.958661 | 6.28 | 14.68 |
| 18 | 6/9/2014 | 13.52 | 9.6 | 71.6 | 11.09 | 810.114133 | 6.46 | 18.49 |
| 19 | 6/10/2014 | 12.46 | 9 | 72.28 | 22.29 | 809.79065 | 6.86 | 31.38 |
| 20 | 6/11/2014 | 12.81 | 9.33 | 72.81 | 59.11 | 810.004686 | 7.74 | 26.31 |
| 21 | 6/12/2014 | 13.23 | 9.68 | 73.14 | 13.01 | 388.75 | 7.05 | 14.74 |
| 22 | 6/13/2014 | 13.76 | 9.49 | 68.9 | 18.17 | 555 | 6.79 | 19.11 |
| 23 | 6/14/2014 | 11.9 | 8.65 | 72.71 | 28.47 | 1037 | 6.7 | 22.1 |
| 24 | 6/15/2014 | 12.42 | 9.15 | 73.67 | 19.68 | 1259.2 | 7.02 | 10.55 |
| 25 | 6/16/2014 | 12.46 | 9.34 | 74.95 | 30.76 | 907.386 | 6.8 | 9.95 |

| Hari Giling Ke- | Tanggal | Brix | Pol Nira Encer | HK Nira Encer | Turbidity Nira Encer | Kadar CaO | PH | Gula Reduksi Nira Encer |
|-----------------|-----------|-------|----------------|---------------|----------------------|-----------|------|-------------------------|
| 26 | 6/17/2014 | 11.96 | 8.95 | 74.82 | 21.37 | 1169.5 | 6.78 | 17.72 |
| 27 | 6/18/2014 | 13.28 | 10.21 | 76.91 | 15.48 | 1350.9 | 6.68 | 14.68 |
| 28 | 6/19/2014 | 12.06 | 8.94 | 74.5 | 29.48 | 1320.74 | 6.69 | 11.19 |
| 29 | 6/20/2014 | 11.55 | 8.58 | 74.32 | 37.51 | 1109 | 6.72 | 16.88 |
| 30 | 6/21/2014 | 12.4 | 9.51 | 76.69 | 28 | 1280.414 | 6.56 | 27.18 |
| 31 | 6/22/2014 | 13.13 | 9.84 | 74.91 | 75.31 | 1371.15 | 6.78 | 11.19 |
| 32 | 6/23/2014 | 11.59 | 8.59 | 74.08 | 65.67 | 1441.7 | 8.06 | 20.45 |
| 33 | 6/24/2014 | 12.34 | 9.03 | 73.16 | 24.31 | 1310.66 | 7.49 | 19.21 |
| 34 | 6/25/2014 | 12.76 | 9.13 | 71.54 | 56.6 | 1512.3 | 7.95 | 17.22 |
| 35 | 6/26/2014 | 10.97 | 8.44 | 76.92 | 29.37 | 15.8 | 7.45 | 14.22 |
| 36 | 6/27/2014 | 11.68 | 8.27 | 70.28 | 46.62 | 1522.3 | 6.78 | 14.22 |
| 37 | 6/28/2014 | 11.85 | 9.04 | 76.25 | 36.22 | 1371.15 | 7.71 | 11.03 |
| 38 | 6/29/2014 | 11.46 | 8.55 | 74.64 | 22.3 | 1189.6 | 7.72 | 22.95 |
| 39 | 6/30/2014 | 12.28 | 8.73 | 71.11 | 18.09 | 1734.1 | 7.06 | 27.44 |
| 40 | 7/1/2014 | 12.09 | 8.82 | 72.92 | 9.65 | 2016.4 | 6.82 | 11.74 |
| 41 | 7/2/2014 | 13.15 | 9.63 | 73.26 | 25.79 | 1522.4 | 6.89 | 25.63 |
| 42 | 7/3/2014 | 13.38 | 9.61 | 71.79 | 15.89 | 1673.6 | 7.05 | 10.19 |
| 43 | 7/4/2014 | 13.25 | 10.07 | 76.3 | 13.46 | 1260.25 | 7.34 | 11 |
| 44 | 7/5/2014 | 12.83 | 9.34 | 72.84 | 15 | 2016.4 | 7.1 | 10.88 |
| 45 | 7/6/2014 | 12.35 | 9 | 72.84 | 25.64 | 988.03 | 9.1 | 11.03 |
| 46 | 7/7/2014 | 11.87 | 8.72 | 73.44 | 26.66 | 1310.66 | 6.91 | 10.95 |
| 47 | 7/8/2014 | 13.05 | 9.55 | 73.14 | 7.02 | 1512.3 | 7.02 | 10.82 |

| Hari Giling Ke- | Tanggal | Brix | Pol Nira Encer | HK Nira Encer | Turbidity Nira Encer | Kadar CaO | PH | Gula Reduksi Nira Encer |
|-----------------|-----------|-------|----------------|---------------|----------------------|-----------|------|-------------------------|
| 48 | 7/9/2014 | 11.47 | 8.45 | 73.5 | 23.24 | 1209.84 | 7.16 | 11.07 |
| 49 | 7/10/2014 | 11.61 | 8.42 | 72.56 | 17.22 | 1250.17 | 6.86 | 11.03 |
| 50 | 7/11/2014 | 12.07 | 9.24 | 76.6 | 13.38 | 1371.12 | 6.97 | 11.14 |
| 51 | 7/12/2014 | 12.26 | 8.96 | 73.11 | 19.48 | 2520.5 | 7.09 | 11.24 |
| 52 | 7/13/2014 | 13.04 | 9.56 | 73.32 | 40.05 | 1411.48 | 7.03 | 10.95 |
| 53 | 7/14/2014 | 12.76 | 9.59 | 75.15 | 26.99 | 1431.64 | 6.33 | 11.02 |
| 54 | 7/15/2014 | 11.84 | 8.68 | 73.27 | 50.68 | 1350.99 | 7.04 | 10.97 |
| 55 | 7/16/2014 | 12.64 | 9.41 | 74.45 | 29.89 | 1190.4 | 6.94 | 11.19 |
| 56 | 7/17/2014 | 12.66 | 9.44 | 74.52 | 24.57 | 851.84 | 6.88 | 11.06 |
| 57 | 7/18/2014 | 12.28 | 9.54 | 77.71 | 26.36 | 1045.44 | 7.02 | 10.83 |
| 58 | 7/19/2014 | 12.6 | 9.15 | 72.68 | 24.25 | 968 | 6.56 | 10.91 |
| 59 | 7/20/2014 | 12.77 | 9.54 | 74.67 | 9.57 | 948.64 | 6.68 | 10.87 |
| 60 | 7/21/2014 | 14.12 | 10.11 | 71.58 | 11.41 | 1103.52 | 6.46 | 11.01 |
| 61 | 7/22/2014 | 13.3 | 9.61 | 72.3 | 8.35 | 1122.88 | 7.14 | 11.03 |
| 62 | 7/23/2014 | 12.95 | 9.34 | 72.13 | 26.6 | 484 | 6.96 | 11 |
| 63 | 7/24/2014 | 12.57 | 9.35 | 74.37 | 10.58 | 980 | 6.86 | 11.01 |
| 64 | 7/25/2014 | 12.61 | 9.17 | 72.67 | 19.06 | 1140 | 6.8 | 11.14 |
| 65 | 8/3/2014 | 12.72 | 9.75 | 76.612 | 22.99 | 1048.28 | 6.5 | 11.12 |
| 66 | 8/4/2014 | 12.64 | 9.31 | 74.09 | 23.08 | 1058.4 | 6.1 | 11.19 |
| 67 | 8/5/2014 | 12.27 | 9.42 | 76.77 | 23.01 | 1470 | 7.02 | 11.15 |
| 68 | 8/6/2014 | 13.44 | 10.54 | 78.37 | 3.68 | 807.5 | 7.21 | 11.22 |
| 69 | 8/7/2014 | 12.72 | 10.26 | 80.68 | 23.19 | 817 | 7.1 | 11.3 |

| Hari Giling Ke- | Tanggal | Brix | Pol Nira Encer | HK Nira Encer | Turbidity Nira Encer | Kadar CaO | PH | Gula Reduksi Nira Encer |
|-----------------|-----------|-------|----------------|---------------|----------------------|-----------|------|-------------------------|
| 70 | 8/8/2014 | 13.03 | 10.06 | 77.21 | 25.16 | 1567.5 | 6.96 | 10.96 |
| 71 | 8/9/2014 | 13.06 | 8.39 | 74.46 | 24.67 | 997.5 | 6.72 | 11.27 |
| 72 | 8/10/2014 | 12.85 | 9.64 | 75.06 | 23.06 | 997.5 | 7.26 | 11.02 |
| 73 | 8/11/2014 | 13.58 | 9.88 | 72.8 | 27.41 | 997.5 | 7.08 | 11.11 |
| 74 | 8/12/2014 | 12.9 | 10.03 | 77.7 | 33.59 | 950 | 7.08 | 11.24 |
| 75 | 8/13/2014 | 12.93 | 9.48 | 73.29 | 9.88 | 997.5 | 6.75 | 11.07 |
| 76 | 8/14/2014 | 13.23 | 9.94 | 75.15 | 35.69 | 997.5 | 7.17 | 11.36 |
| 77 | 8/15/2014 | 13.28 | 10.19 | 76.17 | 24.5 | 921.5 | 7.11 | 11.16 |
| 78 | 8/16/2014 | 14.23 | 10.79 | 75.6 | 19.13 | 1520 | 7.11 | 11.25 |
| 79 | 8/17/2014 | 13.17 | 9.75 | 74.04 | 35.43 | 1045 | 7 | 11.04 |
| 80 | 8/18/2014 | 13.21 | 9.73 | 73.66 | 31.96 | 1054.5 | 6.71 | 11.31 |
| 81 | 8/19/2014 | 13.25 | 9.97 | 75.29 | 25.99 | 969 | 7.04 | 11.14 |
| 82 | 8/20/2014 | 13.5 | 10.53 | 78.02 | 26.75 | 1097.6 | 6.9 | 11.25 |
| 83 | 8/21/2014 | 13.39 | 9.93 | 74.18 | 36.25 | 1035.5 | 6.96 | 18.53 |
| 84 | 8/22/2014 | 12.33 | 9.14 | 74.12 | 48.55 | 978.5 | 6.97 | 12.31 |
| 85 | 8/23/2014 | 14.15 | 10.35 | 73.11 | 36.51 | 1140 | 6.8 | 30.65 |
| 86 | 8/24/2014 | 13.8 | 10.03 | 72.71 | 37.44 | 1007 | 6.47 | 11.3 |
| 87 | 8/25/2014 | 13.39 | 10.1 | 75.44 | 51.45 | 1073.5 | 6.5 | 17.7 |
| 88 | 8/26/2014 | 12.44 | 9.67 | 77.73 | 47.78 | 893 | 6.5 | 9.79 |
| 89 | 8/27/2014 | 12.53 | 9.14 | 72.97 | 48.77 | 1107.4 | 6.8 | 7.9 |
| 90 | 8/28/2014 | 13.55 | 10.29 | 75.55 | 31.57 | 1058.4 | 6.5 | 21.92 |
| 91 | 8/29/2014 | 13.42 | 10.3 | 76.79 | 43.05 | 940.8 | 6.8 | 20.17 |

| Hari Giling Ke- | Tanggal | Brix | Pol Nira Encer | HK Nira Encer | Turbidity Nira Encer | Kadar CaO | PH | Gula Reduksi Nira Encer |
|-----------------|-----------|-------|----------------|---------------|----------------------|-----------|-----|-------------------------|
| 92 | 8/30/2014 | 13.44 | 9.93 | 73.87 | 36.37 | 1107.8 | 7 | 10.94 |
| 93 | 8/31/2014 | 12.44 | 8.78 | 70.63 | 50.01 | 1146.6 | 6.1 | 37.54 |
| 94 | 9/1/2014 | 12.99 | 9.8 | 75.44 | 38.49 | 882 | 6.5 | 10.08 |
| 95 | 9/2/2014 | 13.36 | 10.24 | 76.59 | 118.51 | 1430.8 | 8.3 | 12.95 |
| 96 | 9/3/2014 | 13.28 | 10.01 | 75.36 | 58.99 | 1430.8 | 7.4 | 13.03 |
| 97 | 9/4/2014 | 12.28 | 9.43 | 76.76 | 40.21 | 1127.7 | 6.5 | 11.64 |
| 98 | 9/5/2014 | 13.15 | 9.94 | 75.54 | 29.57 | 1323 | 7 | 11.86 |
| 99 | 9/6/2014 | 13 | 9.61 | 73.91 | 31.62 | 1205.4 | 7 | 18.23 |
| 100 | 9/7/2014 | 12.8 | 9.41 | 73.58 | 25.61 | 1101.43 | 6.5 | 25.12 |
| 101 | 9/8/2014 | 13.63 | 10.5 | 55.05 | 21.6 | 1146.6 | 6.5 | 8.76 |
| 102 | 9/9/2014 | 15.91 | 10.3 | 64.75 | 21.94 | 1166.2 | 7.4 | 18.52 |
| 103 | 9/10/2014 | 13.24 | 9.9 | 74.74 | 35.71 | 784 | 7 | 15.9 |
| 104 | 9/11/2014 | 13.9 | 9.81 | 70.52 | 36.49 | 960.4 | 7 | 16.11 |
| 105 | 9/12/2014 | 13.82 | 10.33 | 74.72 | 38.29 | 901.7 | 6.5 | 17.15 |
| 106 | 9/13/2014 | 14 | 11.02 | 78.675 | 39.63 | 1101.43 | 6.5 | 16.88 |
| 107 | 9/14/2014 | 14.04 | 10.97 | 78.17 | 26.91 | 1019.2 | 7 | 26.34 |
| 108 | 9/15/2014 | 12.94 | 9.76 | 75.37 | 30.91 | 940.8 | 7 | 12.79 |
| 109 | 9/16/2014 | 13.58 | 10.6 | 78.33 | 28.23 | 1372 | 7.4 | 11.4 |
| 110 | 9/17/2014 | 13.38 | 10.53 | 78.86 | 65.6 | 999.6 | 6.8 | 11.66 |
| 111 | 9/18/2014 | 13.41 | 10.44 | 77.86 | 34.8 | 980 | 6.8 | 10.97 |
| 112 | 9/19/2014 | 13.66 | 10.15 | 74.32 | 31.89 | 1061.2 | 7 | 8.13 |
| 113 | 9/20/2014 | 14.02 | 10.59 | 75.53 | 27.34 | 1078 | 7.1 | 7.78 |

| Hari Giling Ke- | Tanggal | Brix | Pol Nira Encer | HK Nira Encer | Turbidity Nira Encer | Kadar CaO | PH | Gula Reduksi Nira Encer |
|-----------------|------------|-------|----------------|---------------|----------------------|-----------|-----|-------------------------|
| 114 | 9/21/2014 | 13.94 | 10.94 | 78.49 | 32.7 | 1058.4 | 6.5 | 11.55 |
| 115 | 9/22/2014 | 13.44 | 10.44 | 77.67 | 27.69 | 1078 | 7.1 | 11.61 |
| 116 | 9/23/2014 | 14.43 | 11.36 | 78.72 | 24.25 | 1108.49 | 6.8 | 10.81 |
| 117 | 9/24/2014 | 13.49 | 10.93 | 79.54 | 37.4 | 1127 | 6.8 | 20.2 |
| 118 | 9/25/2014 | 13.81 | 10.47 | 75.86 | 26.35 | 1087.8 | 6.5 | 12.09 |
| 119 | 9/26/2014 | 13.09 | 10.11 | 77.28 | 33.53 | 1029 | 6.5 | 11.92 |
| 120 | 9/27/2014 | 13.79 | 10.51 | 76.18 | 29.01 | 1029 | 6.5 | 11.31 |
| 121 | 9/28/2014 | 13.96 | 10.48 | 75.07 | 55.71 | 1225 | 6.5 | 8.38 |
| 122 | 9/29/2014 | 14.11 | 11.04 | 76.63 | 37.73 | 1166.2 | 6.5 | 17.72 |
| 123 | 9/30/2014 | 14.49 | 11.11 | 76.64 | 34.33 | 1372 | 7.4 | 12.9 |
| 124 | 10/1/2014 | 13.74 | 10.56 | 76.88 | 56.2 | 1336.13 | 6.5 | 17.04 |
| 125 | 10/2/2014 | 13.76 | 10.64 | 77.33 | 35.75 | 1215.2 | 6.5 | 11.34 |
| 126 | 10/3/2014 | 10.68 | 7.79 | 72.98 | 51.49 | 1127 | 6.5 | 14.6 |
| 127 | 10/4/2014 | 13.59 | 10.37 | 76.28 | 53.96 | 1038.8 | 5.8 | 34.36 |
| 128 | 10/5/2014 | 13.74 | 10.63 | 77.34 | 42.46 | 1029 | 6.5 | 11.77 |
| 129 | 10/7/2014 | 13.67 | 10.46 | 76.53 | 36.98 | 1195.6 | 6.1 | 17.34 |
| 130 | 10/8/2014 | 13.64 | 10.08 | 73.94 | 56.61 | 1234.8 | 6.5 | 11.43 |
| 131 | 10/9/2014 | 13.33 | 9.93 | 74.46 | 79.19 | 980 | 6.8 | 11.2 |
| 132 | 10/10/2014 | 13.81 | 10.8 | 78.2 | 42.24 | 1127 | 6.5 | 14.12 |
| 133 | 10/11/2014 | 12.45 | 9.12 | 73.25 | 60.69 | 1179.18 | 6.5 | 8.67 |
| 134 | 10/12/2014 | 12.97 | 9.68 | 74.64 | 45.83 | 1180.81 | 6 | 18.27 |
| 135 | 10/13/2014 | 12.23 | 8.86 | 72.49 | 35.55 | 1138.27 | 6.5 | 16.49 |

| Hari Giling Ke- | Tanggal | Brix | Pol Nira Encer | HK Nira Encer | Turbidity Nira Encer | Kadar CaO | PH | Gula Reduksi Nira Encer |
|-----------------|------------|-------|----------------|---------------|----------------------|------------|------|-------------------------|
| 136 | 10/14/2014 | 12.05 | 9.05 | 75.1 | 45.18 | 116.9 | 6.8 | 19.67 |
| 137 | 10/15/2014 | 13.6 | 10.36 | 76.2 | 59.23 | 1202.09 | 6.1 | 17.43 |
| 138 | 10/16/2014 | 12.59 | 9.36 | 74.35 | 40.16 | 1158.67 | 6.8 | 9.43 |
| 139 | 10/17/2014 | 14.32 | 10.18 | 71.11 | 32.59 | 1046.55 | 6.5 | 10.09 |
| 140 | 10/18/2014 | 7.74 | 9.96 | 103.502 | 54.5824546 | 1209.43636 | 6.73 | 9.43 |
| 141 | 10/19/2014 | 13.52 | 9.88 | 73.04 | 53.83 | 1499.96 | 6.8 | 11.54 |
| 142 | 10/20/2014 | 14.19 | 10.03 | 70.71 | 38.37 | 1247.8 | 7.7 | 32.7 |
| 143 | 10/21/2014 | 13.19 | 9.85 | 74.65 | 42.54 | 1031.87 | 6.5 | 10.24 |
| 144 | 10/22/2014 | 12.75 | 9.42 | 75.92 | 37.117 | 1138.27 | 6.8 | 15.92 |
| 145 | 10/23/2014 | 13.09 | 9.72 | 74.32 | 47.96 | 1212.73 | 7.4 | 8.94 |
| 146 | 10/24/2014 | 12.46 | 8.82 | 70.79 | 92.29 | 1404.22 | 7.4 | 10.24 |
| 147 | 10/25/2014 | 12.51 | 9.69 | 77.45 | 46.63 | 1191.46 | 6.8 | 12.47 |
| 148 | 10/26/2014 | 14.45 | 9.68 | 66.99 | 44.98 | 1329.75 | 6.5 | 8.1 |
| 149 | 10/27/2014 | 11.43 | 8.69 | 76 | 123.94 | 1042.52 | 6 | 10.24 |

Tabel A. 3 Data stasiun penguapan

| Hari Giling Ke- | Tanggal | HK Nira Kental Tersulfitir | Brix Nira Kental Tersulfitir | Pol Nira Kental Tersulfitir | PH Nira Kental Tersulfitir |
|-----------------|-----------|----------------------------|------------------------------|-----------------------------|----------------------------|
| 1 | 5/23/2014 | 73.53 | 54.42 | 40.15 | 7.05 |
| 2 | 5/24/2014 | 73.7 | 54.34 | 40.11 | 7.26 |
| 3 | 5/25/2014 | 73.65 | 54.39 | 40.12 | 6.88 |

| Hari Giling Ke- | Tanggal | HK Nira Kental Tersulfitir | Brix Nira Kental Tersulfitir | Pol Nira Kental Tersulfitir | PH Nira Kental Tersulfitir |
|-----------------|-----------|----------------------------|------------------------------|-----------------------------|----------------------------|
| 4 | 5/26/2014 | 73.65 | 54.33 | 39.87 | 7.06 |
| 5 | 5/27/2014 | 73.61 | 54.31 | 40 | 7.21 |
| 6 | 5/28/2014 | 73.76 | 54.44 | 40.08 | 7.24 |
| 7 | 5/29/2014 | 73.71 | 54.42 | 39.93 | 7.01 |
| 8 | 5/30/2014 | 73.58 | 54.44 | 40.17 | 7.17 |
| 9 | 5/31/2014 | 73.4 | 54.33 | 39.96 | 7.06 |
| 10 | 6/1/2014 | 76.27 | 55.54 | 42.36 | 7.05 |
| 11 | 6/2/2014 | 76.25 | 55.54 | 42.24 | 7.16 |
| 12 | 6/3/2014 | 76.28 | 55.53 | 42.25 | 7.2 |
| 13 | 6/4/2014 | 76.22 | 55.63 | 42.33 | 7.24 |
| 14 | 6/5/2014 | 76.3 | 55.53 | 42.37 | 7.23 |
| 15 | 6/6/2014 | 76.34 | 55.58 | 42.34 | 7.23 |
| 16 | 6/7/2014 | 76.27 | 55.63 | 42.44 | 7.31 |
| 17 | 6/8/2014 | 76.17 | 55.66 | 42.2 | 7.31 |
| 18 | 6/9/2014 | | 55.66 | 42.32 | 7.1 |
| 19 | 6/10/2014 | 76.19 | 55.39 | 42.33 | 7.18 |
| 20 | 6/11/2014 | 76.14 | 55.5 | 42.42 | 7.28 |
| 21 | 6/12/2014 | 76.17 | 55.43 | 42.4 | 7.34 |
| 22 | 6/13/2014 | 76.3 | 55.48 | 42.4 | 7.21 |
| 23 | 6/14/2014 | 76.11 | 55.57 | 42.41 | 7.18 |
| 24 | 6/15/2014 | 76.18 | 55.62 | 42.47 | 7.16 |
| 25 | 6/16/2014 | 76.26 | 56.56 | 43.03 | 7.11 |
| 26 | 6/17/2014 | 76.21 | 56.63 | 42.95 | 7.27 |

| Hari Giling Ke- | Tanggal | HK Nira Kental Tersulfitir | Brix Nira Kental Tersulfitir | Pol Nira Kental Tersulfitir | PH Nira Kental Tersulfitir |
|-----------------|-----------|----------------------------|------------------------------|-----------------------------|----------------------------|
| 27 | 6/18/2014 | 76.1 | 56.56 | 43 | 7.09 |
| 28 | 6/19/2014 | 76.28 | 56.61 | 42.97 | 7.05 |
| 29 | 6/20/2014 | 76.11 | 56.68 | 42.92 | 7.19 |
| 30 | 6/21/2014 | 75.97 | 56.72 | 43.17 | 7.24 |
| 31 | 6/22/2014 | 76.09 | 56.72 | 43.23 | 7.16 |
| 32 | 6/23/2014 | 76.04 | 56.59 | 43.16 | 7 |
| 33 | 6/24/2014 | 76.14 | 56.49 | 43.22 | 7.16 |
| 34 | 6/25/2014 | 76.16 | 56.82 | 43.11 | 7.13 |
| 35 | 6/26/2014 | 75.99 | 56.4 | 43.02 | 7.2 |
| 36 | 6/27/2014 | 76.04 | 56.52 | 43.18 | 7.21 |
| 37 | 6/28/2014 | 76.14 | 56.65 | 43.31 | 7.04 |
| 38 | 6/29/2014 | 76.13 | 56.34 | 42.96 | 6.95 |
| 39 | 6/30/2014 | 76.24 | 56.63 | 43 | 7.06 |
| 40 | 7/1/2014 | 77.86 | 59.87 | 46.56 | 7.5 |
| 41 | 7/2/2014 | 77.87 | 59.62 | 46.56 | 7.24 |
| 42 | 7/3/2014 | 77.78 | 59.78 | 46.57 | 7.16 |
| 43 | 7/4/2014 | 77.88 | 59.89 | 46.57 | 7.28 |
| 44 | 7/5/2014 | 77.85 | 59.92 | 46.41 | 7.16 |
| 45 | 7/6/2014 | 77.71 | 59.8 | 46.54 | 7.29 |
| 46 | 7/7/2014 | 77.76 | 59.85 | 46.63 | 7.28 |
| 47 | 7/8/2014 | 77.64 | 59.71 | 46.6 | 7.32 |
| 48 | 7/9/2014 | 77.82 | 59.72 | 46.52 | 7.13 |
| 49 | 7/10/2014 | 77.88 | 59.86 | 46.48 | 7.33 |

| Hari Giling Ke- | Tanggal | HK Nira Kental Tersulfitir | Brix Nira Kental Tersulfitir | Pol Nira Kental Tersulfitir | PH Nira Kental Tersulfitir |
|-----------------|-----------|----------------------------|------------------------------|-----------------------------|----------------------------|
| 50 | 7/11/2014 | 77.81 | 59.75 | 46.42 | 7.26 |
| 51 | 7/12/2014 | 77.85 | 59.93 | 46.51 | 7.38 |
| 52 | 7/13/2014 | 77.81 | 59.84 | 46.49 | 7.29 |
| 53 | 7/14/2014 | 77.84 | 59.74 | 46.49 | 7.33 |
| 54 | 7/15/2014 | 77.7 | 59.85 | 46.43 | 7.26 |
| 55 | 7/16/2014 | 76.71 | 61.66 | 47.17 | 7.27 |
| 56 | 7/17/2014 | 76.42 | 61.59 | 47.36 | 7.37 |
| 57 | 7/18/2014 | 76.77 | 61.64 | 47.17 | 7.29 |
| 58 | 7/19/2014 | 76.52 | 61.86 | 47.13 | 7.25 |
| 59 | 7/20/2014 | 76.74 | 61.84 | 47.19 | 7.18 |
| 60 | 7/21/2014 | 76.52 | 61.6 | 47.31 | 7.25 |
| 61 | 7/22/2014 | 76.7 | 61.59 | 47.21 | 7.34 |
| 62 | 7/23/2014 | 76.61 | 61.68 | 47.19 | 7.33 |
| 63 | 7/24/2014 | 76.61 | 61.51 | 47.13 | 7.32 |
| 64 | 7/25/2014 | 76.47 | 61.53 | 47.29 | 7.1 |
| 65 | 8/3/2014 | 77.72 | 61.15 | 47.52 | 6.56 |
| 66 | 8/4/2014 | 77.65 | 61.2 | 47.47 | 6.55 |
| 67 | 8/5/2014 | 77.76 | 61.21 | 47.38 | 6.46 |
| 68 | 8/6/2014 | 77.6 | 61.35 | 47.54 | 6.53 |
| 69 | 8/7/2014 | 77.81 | 61.17 | 47.55 | 6.51 |
| 70 | 8/8/2014 | 77.68 | 61.26 | 47.57 | 6.45 |
| 71 | 8/9/2014 | 77.62 | 61.12 | 47.6 | 6.57 |
| 72 | 8/10/2014 | 77.57 | 61.12 | 47.53 | 6.54 |

| Hari Giling Ke- | Tanggal | HK Nira Kental Tersulfitir | Brix Nira Kental Tersulfitir | Pol Nira Kental Tersulfitir | PH Nira Kental Tersulfitir |
|-----------------|-----------|----------------------------|------------------------------|-----------------------------|----------------------------|
| 73 | 8/11/2014 | 77.64 | 61.12 | 47.54 | 6.64 |
| 74 | 8/12/2014 | 77.64 | 61.01 | 47.57 | 6.51 |
| 75 | 8/13/2014 | 77.84 | 61.29 | 47.56 | 6.54 |
| 76 | 8/14/2014 | 77.67 | 61.14 | 47.57 | 6.56 |
| 77 | 8/15/2014 | 77.67 | 61.13 | 47.42 | 6.4 |
| 78 | 8/16/2014 | 79.37 | 65.18 | 51.68 | 6.51 |
| 79 | 8/17/2014 | 79.33 | 65.13 | 51.58 | 6.76 |
| 80 | 8/18/2014 | 79.13 | 65.13 | 51.55 | 6.39 |
| 81 | 8/19/2014 | 79.24 | 65.29 | 51.58 | 6.62 |
| 82 | 8/20/2014 | 79.19 | 64.92 | 51.43 | 6.54 |
| 83 | 8/21/2014 | 79.23 | 65.06 | 51.48 | 6.25 |
| 84 | 8/22/2014 | 79.23 | 64.88 | 51.63 | 6.44 |
| 85 | 8/23/2014 | 79.1 | 65.11 | 51.64 | 6.46 |
| 86 | 8/24/2014 | 79.34 | 65.14 | 51.56 | 6.39 |
| 87 | 8/25/2014 | 79.24 | 65.07 | 51.43 | 6.46 |
| 88 | 8/26/2014 | 79.46 | 65.05 | 51.43 | 6.53 |
| 89 | 8/27/2014 | 79.07 | 65.11 | 51.59 | 6.6 |
| 90 | 8/28/2014 | 79.26 | 65.09 | 51.56 | 6.46 |
| 91 | 8/29/2014 | 79.34 | 65.08 | 51.68 | 6.48 |
| 92 | 8/30/2014 | 79.14 | 65.35 | 51.68 | 6.62 |
| 93 | 8/31/2014 | 79.02 | 65.05 | 51.8 | 6.54 |
| 94 | 9/1/2014 | 78.82 | 67.5 | 53.5 | 6.41 |
| 95 | 9/2/2014 | 78.93 | 67.83 | 53.37 | 6.62 |

| Hari Giling Ke- | Tanggal | HK Nira Kental Tersulfitir | Brix Nira Kental Tersulfitir | Pol Nira Kental Tersulfitir | PH Nira Kental Tersulfitir |
|-----------------|-----------|----------------------------|------------------------------|-----------------------------|----------------------------|
| 96 | 9/3/2014 | 78.85 | 67.8 | 53.5 | 6.58 |
| 97 | 9/4/2014 | 78.99 | 67.73 | 53.08 | 6.51 |
| 98 | 9/5/2014 | 78.89 | 67.7 | 53.48 | 6.48 |
| 99 | 9/6/2014 | 78.89 | 67.98 | 53.29 | 6.49 |
| 100 | 9/7/2014 | 78.81 | 67.65 | 53.54 | 6.4 |
| 101 | 9/8/2014 | 78.89 | 67.79 | 53.36 | 6.53 |
| 102 | 9/9/2014 | 78.86 | 67.76 | 53.53 | 6.4 |
| 103 | 9/10/2014 | 78.95 | 67.88 | 53.51 | 6.59 |
| 104 | 9/11/2014 | 79.06 | 67.76 | 53.58 | 6.51 |
| 105 | 9/12/2014 | 78.81 | 67.9 | 53.62 | 6.53 |
| 106 | 9/13/2014 | 78.9 | 67.6 | 53.57 | 6.41 |
| 107 | 9/14/2014 | 78.8 | 67.81 | 53.39 | 6.47 |
| 108 | 9/15/2014 | 78.75 | 67.8 | 53.45 | 6.57 |
| 109 | 9/16/2014 | 78.31 | 68.69 | 53.95 | 6.58 |
| 110 | 9/17/2014 | 78.37 | 68.77 | 53.95 | 6.42 |
| 111 | 9/18/2014 | 78.38 | 68.66 | 53.91 | 6.48 |
| 112 | 9/19/2014 | 78.42 | 68.79 | 53.9 | 6.56 |
| 113 | 9/20/2014 | 78.44 | 68.87 | 53.96 | 6.58 |
| 114 | 9/21/2014 | 78.5 | 68.92 | 54.03 | 6.59 |
| 115 | 9/22/2014 | 78.24 | 68.68 | 53.89 | 6.69 |
| 116 | 9/23/2014 | 78.5 | 68.65 | 53.84 | 6.32 |
| 117 | 9/24/2014 | 78.59 | 68.67 | 53.91 | 6.37 |
| 118 | 9/25/2014 | 78.19 | 68.77 | 53.94 | 6.68 |

| Hari Giling Ke- | Tanggal | HK Nira Kental Tersulfitir | Brix Nira Kental Tersulfitir | Pol Nira Kental Tersulfitir | PH Nira Kental Tersulfitir |
|-----------------|------------|----------------------------|------------------------------|-----------------------------|----------------------------|
| 119 | 9/26/2014 | 78.33 | 68.58 | 53.65 | 6.51 |
| 120 | 9/27/2014 | 78.58 | 68.86 | 53.97 | 6.35 |
| 121 | 9/28/2014 | 78.53 | 68.87 | 53.97 | 6.51 |
| 122 | 9/29/2014 | 78.42 | 68.75 | 54.02 | 6.42 |
| 123 | 9/30/2014 | 78.42 | 68.78 | 53.84 | 6.57 |
| 124 | 10/1/2014 | 77.95 | 67.31 | 52.54 | 6.88 |
| 125 | 10/2/2014 | 77.97 | 67.27 | 52.48 | 6.6 |
| 126 | 10/3/2014 | 78.1 | 67.21 | 52.59 | 6.71 |
| 127 | 10/4/2014 | 78.15 | 67.17 | 52.69 | 6.66 |
| 128 | 10/5/2014 | 78.1 | 67.3 | 52.42 | 6.9 |
| 129 | 10/7/2014 | 78.02 | 67.2 | 52.53 | 6.82 |
| 130 | 10/8/2014 | 78.15 | 67.19 | 52.49 | 6.64 |
| 131 | 10/9/2014 | 78.03 | 67.28 | 52.4 | 6.83 |
| 132 | 10/10/2014 | 78.13 | 67.48 | 52.6 | 6.61 |
| 133 | 10/11/2014 | 78.07 | 67.31 | 52.63 | 6.68 |
| 134 | 10/12/2014 | 77.85 | 67.47 | 52.48 | 6.52 |
| 135 | 10/13/2014 | 78.03 | 67.31 | 52.47 | 6.65 |
| 136 | 10/14/2014 | 78.01 | 67.46 | 52.58 | 6.8 |
| 137 | 10/15/2014 | 78.08 | 67.24 | 52.59 | 6.92 |
| 138 | 10/16/2014 | 70.95 | 67.93 | 48 | 6.7 |
| 139 | 10/17/2014 | 70.76 | 68.05 | 48.02 | 6.71 |
| 140 | 10/18/2014 | 70.47 | 68.06 | 48.22 | 6.63 |
| 141 | 10/19/2014 | 70.9 | 68.1 | 48.11 | 6.71 |

| Hari Giling Ke- | Tanggal | HK Nira Kental Tersulfitir | Brix Nira Kental Tersulfitir | Pol Nira Kental Tersulfitir | PH Nira Kental Tersulfitir |
|-----------------|------------|----------------------------|------------------------------|-----------------------------|----------------------------|
| 142 | 10/20/2014 | 70.68 | 67.9 | 47.98 | 6.87 |
| 143 | 10/21/2014 | 70.75 | 68.17 | 48.11 | 6.83 |
| 144 | 10/22/2014 | 70.57 | 68.12 | 48.07 | 6.53 |
| 145 | 10/23/2014 | 70.55 | 68.14 | 48.07 | 6.78 |
| 146 | 10/24/2014 | 70.6 | 67.91 | 48.06 | 6.69 |
| 147 | 10/25/2014 | 70.77 | 68.04 | 48.15 | 6.76 |
| 148 | 10/26/2014 | 70.61 | 67.98 | 48.29 | 6.79 |
| 149 | 10/27/2014 | 70.59 | 67.96 | 48.06 | 6.8 |

Tabel A. 4 Data stasiun masakan

| Hari Giling Ke- | Tanggal | Brix Masakan A | Pol Masakan A | HK Masakan A | Brix Masakan C | Pol Masakan C | HK Masakan C | Brix Masakan D | Pol Masakan D | HK Masakan D |
|-----------------|-----------|----------------|---------------|--------------|----------------|---------------|--------------|----------------|---------------|--------------|
| 1 | 5/23/2014 | 94.09 | 71.965 | 78.035 | 97.2 | 70.56 | 72.35 | 95.9 | 70.5 | 73.51 |
| 2 | 5/24/2014 | 91.55 | 70.65 | 77.7 | 97.46 | 68.1 | 69.41 | 97.7 | 59.33 | 57.56 |
| 3 | 5/25/2014 | 94.31 | 73.5 | 77.93 | 96.63 | 65.67 | 67.75 | 96.46 | 56.83 | 58.92 |
| 4 | 5/26/2014 | 94.8 | 74 | 78.06 | 97.17 | 68.4 | 70.39 | 94.6 | 54.33 | 55.53 |
| 5 | 5/27/2014 | 95.2 | 72.95 | 76.86 | 96.73 | 67.77 | 70.11 | 95.5 | 55.03 | 57.61 |
| 6 | 5/28/2014 | 95.2 | 72.95 | 76.86 | 96.73 | 67.7 | 70.11 | 95.5 | 55.03 | 57.61 |
| 7 | 5/29/2014 | 95.23 | 74.45 | 78.18 | 95.4 | 67.9 | 71.17 | 95.63 | 58.43 | 61.1 |
| 8 | 5/30/2014 | 94.45 | 73.79 | 77.16 | 97.47 | 66.73 | 65.14 | 97.15 | 57.3 | 57.41 |
| 9 | 5/31/2014 | 95.08 | 75.58 | 76.38 | 97.87 | 68.7 | 70.16 | 90.27 | 54.06 | 55 |

| Hari Gilin g Ke- | Tanggal | Brix Masaka n A | Pol Masaka n A | HK Masaka n A | Brix Masaka n C | Pol Masaka n C | HK Masaka n C | Brix Masaka n D | Pol Masaka n D | HK Masaka n D |
|------------------|-----------|-----------------|----------------|---------------|-----------------|----------------|---------------|-----------------|----------------|---------------|
| 10 | 6/1/2014 | 94.55 | 73.6 | 77.86 | 97.2 | 67.3 | 69.23 | 95.46 | 57.3 | 59.45 |
| 11 | 6/2/2014 | 94.6 | 73.7 | 77.91 | 95.34 | 77.66 | 82.86 | 98.63 | 56.13 | 56.9 |
| 12 | 6/3/2014 | 93.83 | 73.37 | 78.19 | 93.4 | 68.3 | 73.13 | 97.33 | 57.33 | 38.9 |
| 13 | 6/4/2014 | 95.07 | 74.83 | 78.71 | 98.6 | 68.7 | 69.68 | 96.7 | 57.27 | 59.22 |
| 14 | 6/5/2014 | 94.7 | 73.9 | 78.04 | 97.6 | 66.6 | 68.24 | 98.8 | 57.53 | 58.2 |
| 15 | 6/6/2014 | 95.13 | 74.75 | 78.58 | 97.8 | 68.3 | 69.84 | 98 | 56.2 | 57.35 |
| 16 | 6/7/2014 | 92.75 | 73.13 | 78.85 | 96.3 | 66.2 | 68.74 | 98.23 | 56.73 | 57.75 |
| 17 | 6/8/2014 | 95.2 | 74 | 77.73 | 97.75 | 67.05 | 68.59 | 98.87 | 57.07 | 57.72 |
| 18 | 6/9/2014 | 94.82 | 74.88 | 78.94 | 97.23 | 65.7 | 67.57 | 98.97 | 57.67 | 58.27 |
| 19 | 6/10/2014 | 95.1 | 75.08 | 78.95 | 98.8 | 67.4 | 68.22 | 92.37 | 58.13 | 62.93 |
| 20 | 6/11/2014 | 94.15 | 74.28 | 78.9 | 98.18 | 66.47 | 67.71 | 99.4 | 58.1 | 58.45 |
| 21 | 6/12/2014 | 94.03 | 74.6 | 79.34 | 98.6 | 58.6 | 57.49 | 98.97 | 58.77 | 59.38 |
| 22 | 6/13/2014 | 93.98 | 74.15 | 78.9 | 97.93 | 68.1 | 69.54 | 99.3 | 57.97 | 58.38 |
| 23 | 6/14/2014 | 94.48 | 75.58 | 80 | 97.7 | 66.17 | 67.73 | 97.97 | 57.17 | 58.35 |
| 24 | 6/15/2014 | 93.53 | 74.83 | 80.01 | 98.57 | 67.7 | 68.68 | 98.67 | 58.03 | 58.82 |
| 25 | 6/16/2014 | 94.6 | 77.42 | 81.82 | 96.46 | 68.19 | 70.6 | 95.76 | 57.53 | 59.28 |
| 26 | 6/17/2014 | 94.58 | 76.8 | 81.24 | 96.97 | 69.2 | 71.39 | 98.67 | 58.6 | 59.75 |
| 27 | 6/18/2014 | 94.53 | 76.68 | 81.2 | 98.73 | 66.4 | 69.45 | 96.9 | 58.93 | 60.6 |
| 28 | 6/19/2014 | 95.1 | 77.27 | 81.34 | 97.95 | 68.51 | 69.69 | 96.46 | 59.6 | 61.14 |
| 29 | 6/20/2014 | 95.28 | 74.25 | 79.85 | 97.3 | 67.3 | 68.43 | 99.27 | 58.26 | 59.48 |
| 30 | 6/21/2014 | 94.61 | 78.45 | 82.89 | 97.4 | 67.1 | 62.9 | 96.26 | 58.6 | 60.88 |
| 31 | 6/22/2014 | 93.25 | 75.48 | 80.31 | 95.97 | 65.63 | 71.02 | 97.36 | 59.13 | 60.86 |

| Hari Gilin g Ke- | Tanggal | Brix Masaka n A | Pol Masaka n A | HK Masaka n A | Brix Masaka n C | Pol Masaka n C | HK Masaka n C | Brix Masaka n D | Pol Masaka n D | HK Masaka n D |
|------------------|-----------|-----------------|----------------|---------------|-----------------|----------------|---------------|-----------------|----------------|---------------|
| 32 | 6/23/2014 | 94.63 | 76.67 | 81.02 | 96.73 | 68.7 | 71.02 | 98.5 | 58.97 | 59.87 |
| 33 | 6/24/2014 | 94.6 | 75.83 | 80.16 | 97.57 | 67.67 | 69.36 | 98.5 | 58.33 | 59.22 |
| 34 | 6/25/2014 | 94.35 | 75.05 | 79.54 | 98.15 | 69.15 | 70.45 | 98.93 | 58.23 | 58.86 |
| 35 | 6/26/2014 | 94.6 | 76.65 | 81.03 | 97.9 | 68.5 | 69.97 | 98.17 | 57.47 | 58.54 |
| 36 | 6/27/2014 | 93.68 | 75.5 | 80.59 | 96.9 | 67.73 | 69.9 | 98.7 | 58.67 | 59.44 |
| 37 | 6/28/2014 | 93.92 | 76.73 | 81.7 | 97.93 | 67.8 | 69.23 | 98.93 | 58.9 | 59.54 |
| 38 | 6/29/2014 | 94.15 | 76.92 | 81.7 | 97.57 | 69.13 | 70.85 | 99 | 58.27 | 58.86 |
| 39 | 6/30/2014 | 94.2 | 77.52 | 82.29 | 96.9 | 66.3 | 68.42 | 98.93 | 60.07 | 60.71 |
| 40 | 7/1/2014 | 94.45 | 78.3 | 82.8 | 95.5 | 65 | 68 | 98.55 | 59.35 | 60.22 |
| 41 | 7/2/2014 | 94.77 | 77.03 | 81.28 | 97.3 | 69.3 | 71.22 | 99.07 | 60.3 | 60.87 |
| 42 | 7/3/2014 | 94.43 | 76 | 80.48 | 96.97 | 64.3 | 66.31 | 98.27 | 58.7 | 59.73 |
| 43 | 7/4/2014 | 94.35 | 77.37 | 82 | 97.27 | 68.5 | 70.42 | 98.83 | 56.78 | 57.37 |
| 44 | 7/5/2014 | 93.9 | 76.13 | 81.08 | 98.13 | 69.1 | 70.42 | 99.37 | 59 | 59.37 |
| 45 | 7/6/2014 | 95.73 | 77.08 | 80.52 | 96.43 | 64.8 | 67.2 | 98.7 | 57.7 | 58.46 |
| 46 | 7/7/2014 | 94.11 | 75.52 | 80.75 | 97.57 | 68.97 | 70.68 | 98.4 | 58.8 | 59.63 |
| 47 | 7/8/2014 | 94.1 | 74.73 | 79.94 | 96.75 | 67.95 | 70.23 | 98.6 | 58.87 | 59.71 |
| 48 | 7/9/2014 | 94.37 | 75.75 | 80.26 | 97.27 | 67.8 | 69.7 | 98.33 | 58.17 | 59.16 |
| 49 | 7/10/2014 | 94.58 | 77.28 | 81.7 | 95.53 | 66.85 | 69.9 | 97.76 | 57.53 | 58.85 |
| 50 | 7/11/2014 | 94.23 | 76.83 | 81.53 | 96.4 | 66.8 | 69.3 | 96.4 | 58 | 60.02 |
| 51 | 7/12/2014 | 93.6 | 76.3 | 81.51 | 96.97 | 67.4 | 69.5 | 98.8 | 58 | 58.7 |
| 52 | 7/13/2014 | 94.03 | 75.95 | 80.15 | 96.8 | 67.7 | 69.94 | 98.43 | 58.6 | 59.53 |
| 53 | 7/14/2014 | 93.95 | 76.53 | 81.46 | 96.97 | 67.4 | 69.51 | 98.47 | 58.27 | 59.17 |

| Hari Gilin g Ke- | Tanggal | Brix Masaka n A | Pol Masaka n A | HK Masaka n A | Brix Masaka n C | Pol Masaka n C | HK Masaka n C | Brix Masaka n D | Pol Masaka n D | HK Masaka n D |
|------------------|-----------|-----------------|----------------|---------------|-----------------|----------------|---------------|-----------------|----------------|---------------|
| 54 | 7/15/2014 | 93.63 | 76.33 | 81.52 | 96.83 | 68.1 | 70.33 | 99.07 | 59.17 | 59.73 |
| 55 | 7/16/2014 | 93.53 | 76 | 81.26 | 96.7 | 65.43 | 67.66 | 98.1 | 57.13 | 58.24 |
| 56 | 7/17/2014 | 93.87 | 76.33 | 81.31 | 96.73 | 67.07 | 69.34 | 98.27 | 58.53 | 59.56 |
| 57 | 7/18/2014 | 93.6 | 75.7 | 80.88 | 97.23 | 68.3 | 70.25 | 97.17 | 57.33 | 59 |
| 58 | 7/19/2014 | 93.55 | 75.4 | 80.6 | 96.9 | 66.87 | 69.01 | 98.27 | 58.13 | 59.19 |
| 59 | 7/20/2014 | 94.13 | 76.43 | 81.2 | 97.3 | 68.2 | 70.09 | 98.5 | 58.07 | 58.93 |
| 60 | 7/21/2014 | 93.93 | 76.83 | 81.8 | 96.7 | 67 | 69.29 | 96.7 | 56.77 | 58.7 |
| 61 | 7/22/2014 | 94.03 | 75 | 79.76 | 96.53 | 66.67 | 69.06 | 57.87 | 58 | 59.26 |
| 62 | 7/23/2014 | 93.57 | 75.9 | 81.12 | 97.6 | 68.2 | 69.88 | 97.93 | 59.27 | 60.91 |
| 63 | 7/24/2014 | 93.73 | 76.05 | 81.14 | 97.03 | 67.5 | 69.57 | 98.03 | 57.8 | 58.96 |
| 64 | 7/25/2014 | 94.27 | 76.88 | 81.56 | 97.33 | 68 | 69.87 | 98.4 | 59.69 | 60.66 |
| 65 | 8/3/2014 | 93.25 | 75.55 | 81 | 56.5 | 66.6 | 69.01 | 97.5 | 58.3 | 59.79 |
| 66 | 8/4/2014 | 94.77 | 74.98 | 79.11 | 97.5 | 67.95 | 69.69 | 98.25 | 58.7 | 59.75 |
| 67 | 8/5/2014 | 93.93 | 75.37 | 80.24 | 96.9 | 67.9 | 70.07 | 96.75 | 59.25 | 61.24 |
| 68 | 8/6/2014 | 94.16 | 75.62 | 80.31 | 97.4 | 68.53 | 70.49 | 98.47 | 59 | 59.92 |
| 69 | 8/7/2014 | 93.62 | 75.58 | 80.73 | 96.87 | 68 | 70.19 | 97.7 | 57.77 | 59.12 |
| 70 | 8/8/2014 | 94.38 | 75.88 | 80.4 | 96.7 | 67.75 | 70.06 | 98.25 | 59.2 | 60.25 |
| 71 | 8/9/2014 | 94.45 | 77.07 | 81.6 | 96.2 | 67.3 | 69.89 | 97.83 | 58.75 | 60.05 |
| 72 | 8/10/2014 | 93.7 | 75.83 | 80.93 | 97.9 | 67.8 | 69.25 | 98.27 | 58.9 | 59.94 |
| 73 | 8/11/2014 | 94.28 | 76.53 | 81.17 | 97.93 | 68.9 | 70.36 | 98.8 | 59.27 | 59.98 |
| 74 | 8/12/2014 | 94.73 | 76.78 | 81.05 | 97.47 | 67.73 | 69.49 | 98.53 | 59 | 59.88 |
| 75 | 8/13/2014 | 94.73 | 76.67 | 80.93 | 96.9 | 68.27 | 70.45 | 98.13 | 58.8 | 59.92 |

| Hari Gilin g Ke- | Tanggal | Brix Masaka n A | Pol Masaka n A | HK Masaka n A | Brix Masaka n C | Pol Masaka n C | HK Masaka n C | Brix Masaka n D | Pol Masaka n D | HK Masaka n D |
|------------------|-----------|-----------------|----------------|---------------|-----------------|----------------|---------------|-----------------|----------------|---------------|
| 76 | 8/14/2014 | 95.17 | 76.72 | 80.61 | 96.47 | 67.3 | 69.76 | 98.6 | 59.4 | 60.24 |
| 77 | 8/15/2014 | 94.93 | 76.3 | 80.37 | 96.47 | 67.7 | 70.18 | 98.17 | 59.13 | 60.23 |
| 78 | 8/16/2014 | 94.87 | 76.58 | 80.72 | 96.67 | 67.5 | 69.82 | 98.6 | 58.8 | 59.63 |
| 79 | 8/17/2014 | 94.5 | 75.65 | 80.05 | 96.3 | 67.4 | 70.11 | 98.43 | 59.57 | 60.52 |
| 80 | 8/18/2014 | 94.88 | 76.63 | 80.77 | 96.8 | 68.5 | 70.76 | 98.83 | 59.4 | 60.1 |
| 81 | 8/19/2014 | 94.22 | 75.98 | 80.64 | 96.87 | 67.8 | 69.9 | 98.13 | 59 | 60.12 |
| 82 | 8/20/2014 | 94.43 | 75.93 | 80.41 | 97.5 | 68.25 | 70.25 | 98.43 | 58.7 | 59.64 |
| 83 | 8/21/2014 | 94.48 | 75.78 | 80.21 | 97.07 | 68.1 | 70.16 | 97.47 | 58.67 | 60.19 |
| 84 | 8/22/2014 | 94.67 | 75.88 | 80.16 | 97.23 | 68.77 | 70.73 | 98.4 | 58.77 | 59.72 |
| 85 | 8/23/2014 | 94.45 | 76 | 80.62 | 97 | 66.67 | 68.73 | 98.1 | 59.07 | 60.21 |
| 86 | 8/24/2014 | 94.07 | 75.85 | 80.63 | 98.2 | 67.67 | 69.69 | 98.05 | 58.9 | 60.07 |
| 87 | 8/25/2014 | 93.67 | 76.4 | 81.62 | 97.55 | 67.2 | 68.88 | 98 | 59.3 | 60.51 |
| 88 | 8/26/2014 | 93.98 | 76.38 | 81.27 | 96.67 | 67.7 | 70.03 | 98.2 | 58.77 | 59.8 |
| 89 | 8/27/2014 | 92.6 | 76.1 | 82.18 | 97.1 | 67.87 | 69.9 | 97.67 | 59.03 | 60.43 |
| 90 | 8/28/2014 | 93.23 | 76.8 | 83.34 | 92.27 | 68 | 69.91 | 98.4 | 59.1 | 60.06 |
| 91 | 8/29/2014 | 94.07 | 76.63 | 81.46 | 97.43 | 67.9 | 69.69 | 98.6 | 59.3 | 60.14 |
| 92 | 8/30/2014 | 93.6 | 76.28 | 81.8 | 97.19 | 68.1 | 70.07 | 98.13 | 59.95 | 61.92 |
| 93 | 8/31/2014 | 94.33 | 77.18 | 81.82 | 96.63 | 67.3 | 69.65 | 98.1 | 59.5 | 60.65 |
| 94 | 9/1/2014 | 93.5 | 75.7 | 80.96 | 97.2 | 68.5 | 70.47 | 98.83 | 38.93 | 59.63 |
| 95 | 9/2/2014 | 94.07 | 76.35 | 81.62 | 96.8 | 68.1 | 70.35 | 98.47 | 58.9 | 59.82 |
| 96 | 9/3/2014 | 94.2 | 75.85 | 80.52 | 95.83 | 66.77 | 69.67 | 97 | 58.5 | 60.3 |
| 97 | 9/4/2014 | 93.27 | 74.25 | 79.61 | 96.8 | 67.03 | 69.24 | 98.53 | 59.43 | 60.32 |

| Hari Gilin g Ke- | Tanggal | Brix Masaka n A | Pol Masaka n A | HK Masaka n A | Brix Masaka n C | Pol Masaka n C | HK Masaka n C | Brix Masaka n D | Pol Masaka n D | HK Masaka n D |
|------------------|-----------|-----------------|----------------|---------------|-----------------|----------------|---------------|-----------------|----------------|---------------|
| 98 | 9/5/2014 | 93.83 | 95.4 | 80.36 | 96.53 | 66.57 | 68.96 | 98.17 | 58.57 | 59.66 |
| 99 | 9/6/2014 | 94 | 75.6 | 80.42 | 97.67 | 67.77 | 69.39 | 98.8 | 58.13 | 58.8 |
| 100 | 9/7/2014 | 93.35 | 75.45 | 86.82 | 96.43 | 67.13 | 69.62 | 98.2 | 59.1 | 60.18 |
| 101 | 9/8/2014 | 94.07 | 76.47 | 81.29 | 96.8 | 67.9 | 70.14 | 97.93 | 59.37 | 60.62 |
| 102 | 9/9/2014 | 94.55 | 76.68 | 81.1 | 97.3 | 68.17 | 70.06 | 98.93 | 59.53 | 60.18 |
| 103 | 9/10/2014 | 94.55 | 76.08 | 80.47 | 96.53 | 67.12 | 69.53 | 98.27 | 59.9 | 60.95 |
| 104 | 9/11/2014 | 94.07 | 76.1 | 80.9 | 97.43 | 67.9 | 69.69 | 98.5 | 59.53 | 60.44 |
| 105 | 9/12/2014 | 94.38 | 76.76 | 81.36 | 97 | 67.9 | 69.93 | 98.33 | 59.19 | 60.17 |
| 106 | 9/13/2014 | 94.17 | 75.98 | 80.69 | 97.2 | 67.67 | 69.62 | 97.9 | 58.8 | 60.06 |
| 107 | 9/14/2014 | 94.17 | 75.9 | 80.38 | 97.1 | 67.9 | 69.93 | 98.05 | 58.17 | 59.33 |
| 108 | 9/15/2014 | 93.92 | 75.7 | 80.6 | 96.43 | 67.3 | 67.79 | 97.5 | 58.9 | 60.41 |
| 109 | 9/16/2014 | 93.82 | 75.68 | 80.69 | 96.7 | 67.7 | 70.01 | 97.9 | 59.3 | 60.57 |
| 110 | 9/17/2014 | 94 | 75.9 | 80.74 | 97.1 | 67.7 | 69.72 | 98.57 | 59 | 59.86 |
| 111 | 9/18/2014 | 93.69 | 76.55 | 81.53 | 96.85 | 67.8 | 70 | 98.3 | 59.07 | 60.09 |
| 112 | 9/19/2014 | 94.6 | 76.67 | 81.05 | 96.86 | 67.13 | 69.31 | 98.2 | 60.37 | 61.48 |
| 113 | 9/20/2014 | 93.7 | 76.68 | 81.83 | 97.2 | 67.85 | 69.8 | 98.6 | 59.77 | 60.6 |
| 114 | 9/21/2014 | 94.08 | 76.25 | 81.05 | 97.33 | 67.7 | 69.56 | 99.1 | 59.67 | 60.21 |
| 115 | 9/22/2014 | 94.55 | 77.03 | 81.47 | 97.27 | 67.9 | 69.8 | 98.47 | 60.3 | 61.24 |
| 116 | 9/23/2014 | 94.38 | 76.08 | 80.61 | 96.53 | 67.2 | 69.6 | 98.6 | 59.57 | 60.4 |
| 117 | 9/24/2014 | 94.42 | 76.93 | 81.48 | 97.4 | 68 | 69.81 | 98.53 | 60.7 | 61.6 |
| 118 | 9/25/2014 | 94.37 | 76.13 | 80.67 | 96.87 | 67.37 | 69.85 | 98.63 | 59.37 | 60.19 |
| 119 | 9/26/2014 | 93.63 | 75.15 | 80.26 | 96.97 | 67.9 | 70.02 | 98.6 | 60.17 | 61.02 |

| Hari Gilin g Ke- | Tanggal | Brix Masaka n A | Pol Masaka n A | HK Masaka n A | Brix Masaka n C | Pol Masaka n C | HK Masaka n C | Brix Masaka n D | Pol Masaka n D | HK Masaka n D |
|------------------|------------|-----------------|----------------|---------------|-----------------|----------------|---------------|-----------------|----------------|---------------|
| 120 | 9/27/2014 | 93.32 | 75.95 | 81.39 | 97.48 | 68.4 | 70.17 | 98.97 | 61.13 | 61.76 |
| 121 | 9/28/2014 | 94.48 | 76.78 | 81.27 | 96.57 | 68.8 | 71.24 | 98.6 | 60.27 | 61.13 |
| 122 | 9/29/2014 | 94.27 | 76.53 | 81.19 | 96.67 | 69.03 | 71.41 | 97.7 | 60.47 | 61.89 |
| 123 | 9/30/2014 | 94.33 | 76.7 | 81.51 | 95.83 | 68.7 | 71.69 | 98.4 | 60.83 | 61.82 |
| 124 | 10/1/2014 | 94.3 | 76.78 | 81.42 | 96.27 | 69.13 | 71.81 | 97.5 | 59.9 | 61.44 |
| 125 | 10/2/2014 | 94.57 | 76.98 | 81.4 | 96.8 | 69.43 | 71.73 | 98.23 | 61 | 62.1 |
| 126 | 10/3/2014 | 94.18 | 76.83 | 81.58 | 96.5 | 71.43 | 74.02 | 97.47 | 60.17 | 61.73 |
| 127 | 10/4/2014 | 94.17 | 76.35 | 81.08 | 96.1 | 68.1 | 70.8 | 97.7 | 60.23 | 61 |
| 128 | 10/5/2014 | 94.1 | 77.05 | 81.88 | 96.4 | 69.3 | 71.89 | 98.7 | 60.1 | 60.89 |
| 129 | 10/7/2014 | 94.08 | 95.93 | 80.75 | 95.5 | 65.6 | 68.8 | 97.5 | 59.2 | 60.75 |
| 130 | 10/8/2014 | 94.32 | 76.53 | 81.14 | 96.6 | 68.1 | 70.5 | 98.37 | 60.73 | 61.74 |
| 131 | 10/9/2014 | 94.12 | 77.12 | 81.94 | 96.5 | 68.7 | 71.19 | 98.2 | 60.63 | 61.74 |
| 132 | 10/10/2014 | 94.08 | 77.42 | 82.29 | 96.75 | 68.6 | 70.4 | 98.57 | 59.67 | 60.53 |
| 133 | 10/11/2014 | 94.48 | 76.35 | 80.87 | 95.46 | 67.9 | 71.13 | 97.47 | 58.47 | 61.01 |
| 134 | 10/12/2014 | 94.17 | 76.35 | 81.08 | 96.4 | 68.7 | 71.27 | 97.6 | 59.5 | 60.96 |
| 135 | 10/13/2014 | 94.5 | 76.68 | 81.14 | 95.47 | 67.57 | 70.78 | 96.87 | 59.3 | 61.22 |
| 136 | 10/14/2014 | 94.05 | 76.03 | 80.84 | 96.33 | 67.2 | 69.76 | 98.43 | 60.43 | 61.39 |

| Hari Gilin g Ke- | Tanggal | Brix Masaka n A | Pol Masaka n A | HK Masaka n A | Brix Masaka n C | Pol Masaka n C | HK Masaka n C | Brix Masaka n D | Pol Masaka n D | HK Masaka n D |
|------------------|------------|-----------------|----------------|---------------|-----------------|----------------|---------------|-----------------|----------------|---------------|
| 137 | 10/15/2014 | 94.33 | 76.23 | 80.81 | 97.33 | 68.6 | 70.48 | 98.87 | 59.63 | 60.31 |
| 138 | 10/16/2014 | 94.27 | 75.95 | 80.57 | 97.1 | 68.2 | 70.24 | 98.67 | 59.83 | 60.64 |
| 139 | 10/17/2014 | 94.18 | 76.08 | 80.78 | 95.2 | 66.45 | 69.8 | 97.9 | 59.45 | 60.72 |
| 140 | 10/18/2014 | 93.85 | 75.65 | 80.57 | 98.3 | 94.75 | 96.29 | 98.21 | 57.66 | 59.04 |
| 141 | 10/19/2014 | 94.53 | 75.5 | 79.87 | 97.8 | 67.15 | 68.66 | 99 | 58.67 | 59.26 |
| 142 | 10/20/2014 | 94.22 | 75.88 | 80.54 | 96.5 | 67.35 | 69.79 | 98.03 | 58.47 | 59.6 |
| 143 | 10/21/2014 | 94.05 | 76.18 | 81 | 97.13 | 67.2 | 69.19 | 98.7 | 58.03 | 58.8 |
| 144 | 10/22/2014 | 94.47 | 77.72 | 82.27 | 96.43 | 68 | 70.52 | 98 | 59.53 | 60.75 |
| 145 | 10/23/2014 | 94.83 | 76.05 | 80.2 | 95.2 | 67.05 | 70.43 | 98.5 | 60.43 | 61.35 |
| 146 | 10/24/2014 | 94.1 | 76.08 | 80.85 | 97.13 | 68.47 | 70.49 | 98.27 | 60.8 | 61.87 |
| 147 | 10/25/2014 | 93.92 | 76.23 | 81.16 | 96.1 | 67.9 | 70.66 | 98.07 | 60.1 | 61.28 |

| Hari Gilin g Ke- | Tanggal | Brix Masaka n A | Pol Masaka n A | HK Masaka n A | Brix Masaka n C | Pol Masaka n C | HK Masaka n C | Brix Masaka n D | Pol Masaka n D | HK Masaka n D |
|------------------|------------|-----------------|----------------|---------------|-----------------|----------------|---------------|-----------------|----------------|---------------|
| 148 | 10/26/2014 | 94.03 | 75.4 | 80.19 | 96.85 | 68 | 70.31 | 98.7 | 60.2 | 60.99 |
| 149 | 10/27/2014 | 93.83 | 76 | 81 | 96.65 | 67.65 | 70 | 98.75 | 59.15 | 59.9 |

Tabel A. 5 Data warna larutan (ICUMSA) dan BJB

| Hari Giling Ke- | Tanggal | ICUMSA | BJB |
|------------------------|----------------|---------------|------------|
| 1 | 5/23/2014 | 181.65 | 0.64 |
| 2 | 5/24/2014 | 264.149 | 0.86 |
| 3 | 5/25/2014 | 263.915 | 0.87 |
| 4 | 5/26/2014 | 367.23 | 0.87 |
| 5 | 5/27/2014 | 297.49 | 0.87 |
| 6 | 5/28/2014 | 219.7 | 0.87 |
| 7 | 5/29/2014 | 229.522 | 0.86 |
| 8 | 5/30/2014 | 294.83 | 0.88 |
| 9 | 5/31/2014 | 257.88 | 0.88 |
| 10 | 6/1/2014 | 303.3 | 0.87 |
| 11 | 6/2/2014 | 183.47 | 0.82 |
| 12 | 6/3/2014 | 136.57 | 0.89 |
| 13 | 6/4/2014 | 157.4 | 0.86 |
| 14 | 6/5/2014 | 155.18 | 0.87 |
| 15 | 6/6/2014 | 124.17 | 0.86 |
| 16 | 6/7/2014 | 471.84 | 0.87 |
| 17 | 6/8/2014 | 107.51 | 0.87 |
| 18 | 6/9/2014 | 121 | 0.87 |
| 19 | 6/10/2014 | 144.41 | 0.68 |
| 20 | 6/11/2014 | 202.88 | 0.87 |
| 21 | 6/12/2014 | 138.04 | 0.91 |
| 22 | 6/13/2014 | 70.91 | 0.86 |

| Hari Giling Ke- | Tanggal | ICUMSA | BJB |
|------------------------|----------------|---------------|------------|
| 23 | 6/14/2014 | 120.51 | 0.83 |
| 24 | 6/15/2014 | 434.7 | 1 |
| 25 | 6/16/2014 | 191.37 | 0.85 |
| 26 | 6/17/2014 | 208.85 | 0.95 |
| 27 | 6/18/2014 | 212.15 | 1.02 |
| 28 | 6/19/2014 | 129.19 | 1.2 |
| 29 | 6/20/2014 | 82.57 | 0.88 |
| 30 | 6/21/2014 | 100.92 | 0.9 |
| 31 | 6/22/2014 | 225.6 | 0.89 |
| 32 | 6/23/2014 | 275.98 | 0.88 |
| 33 | 6/24/2014 | 543.65 | 0.94 |
| 34 | 6/25/2014 | 403.02 | 0.88 |
| 35 | 6/26/2014 | 313.46 | 0.74 |
| 36 | 6/27/2014 | 210.72 | 0.89 |
| 37 | 6/28/2014 | 305.8 | 0.9 |
| 38 | 6/29/2014 | 289.5 | 0.98 |
| 39 | 6/30/2014 | 249.484 | 0.86 |
| 40 | 7/1/2014 | 433 | 1.07 |
| 41 | 7/2/2014 | 515.9 | 0.73 |
| 42 | 7/3/2014 | 227.7 | 0.75 |
| 43 | 7/4/2014 | 390.85 | 0.83 |
| 44 | 7/5/2014 | 392.63 | 0.97 |
| 45 | 7/6/2014 | 192.55 | 0.89 |
| 46 | 7/7/2014 | 399.6 | 0.85 |

| Hari Giling Ke- | Tanggal | ICUMSA | BJB |
|------------------------|----------------|---------------|------------|
| 47 | 7/8/2014 | 410.54 | 0.95 |
| 48 | 7/9/2014 | 311.93 | 0.91 |
| 49 | 7/10/2014 | 221.62 | 0.81 |
| 50 | 7/11/2014 | 477 | 0.86 |
| 51 | 7/12/2014 | 154.83 | 0.87 |
| 52 | 7/13/2014 | 152.59 | 0.93 |
| 53 | 7/14/2014 | 236.15 | 0.93 |
| 54 | 7/15/2014 | 229.51 | 0.9 |
| 55 | 7/16/2014 | 261.58 | 0.84 |
| 56 | 7/17/2014 | 342.22 | 0.86 |
| 57 | 7/18/2014 | 287.79 | 0.85 |
| 58 | 7/19/2014 | 334.25 | 0.72 |
| 59 | 7/20/2014 | 149.36 | 0.84 |
| 60 | 7/21/2014 | 214.35 | 0.84 |
| 61 | 7/22/2014 | 193.08 | 0.93 |
| 62 | 7/23/2014 | 112.63 | 0.67 |
| 63 | 7/24/2014 | 181.65 | 0.64 |
| 64 | 7/25/2014 | 230.768 | 0.8 |
| 65 | 8/3/2014 | 354.76 | 0.86 |
| 66 | 8/4/2014 | 354.09 | 0.89 |
| 67 | 8/5/2014 | 590.16 | 0.86 |
| 68 | 8/6/2014 | 686.65 | 0.85 |
| 69 | 8/7/2014 | 443.52 | 0.71 |
| 70 | 8/8/2014 | 307.01 | 0.81 |

| Hari Giling Ke- | Tanggal | ICUMSA | BJB |
|------------------------|----------------|---------------|------------|
| 71 | 8/9/2014 | 300.032 | 0.89 |
| 72 | 8/10/2014 | 167.12 | 0.72 |
| 73 | 8/11/2014 | 243.42 | 0.81 |
| 74 | 8/12/2014 | 346.29 | 0.85 |
| 75 | 8/13/2014 | 203.45 | 0.83 |
| 76 | 8/14/2014 | 340.89 | 0.78 |
| 77 | 8/15/2014 | 270.09 | 0.8 |
| 78 | 8/16/2014 | 466.06 | 0.75 |
| 79 | 8/17/2014 | 330.61 | 0.74 |
| 80 | 8/18/2014 | 322.56 | 0.71 |
| 81 | 8/19/2014 | 692.02 | 0.83 |
| 82 | 8/20/2014 | 466.06 | 0.86 |
| 83 | 8/21/2014 | 499.16 | 0.81 |
| 84 | 8/22/2014 | 490.52 | 0.7 |
| 85 | 8/23/2014 | 555.77 | 0.92 |
| 86 | 8/24/2014 | 618.48 | 0.86 |
| 87 | 8/25/2014 | 477.78 | 0.84 |
| 88 | 8/26/2014 | 649.74 | 1.004 |
| 89 | 8/27/2014 | 692.58 | 0.87 |
| 90 | 8/28/2014 | 276.92 | 0.87 |
| 91 | 8/29/2014 | 238.73 | 0.88 |
| 92 | 8/30/2014 | 276.12 | 0.82 |
| 93 | 8/31/2014 | 403.1 | 0.83 |
| 94 | 9/1/2014 | 221.62 | 0.8 |

| Hari Giling Ke- | Tanggal | ICUMSA | BJB |
|------------------------|----------------|---------------|------------|
| 95 | 9/2/2014 | 294 | 0.83 |
| 96 | 9/3/2014 | 442.95 | 0.96 |
| 97 | 9/4/2014 | 481.32 | 0.92 |
| 98 | 9/5/2014 | 442.95 | 0.94 |
| 99 | 9/6/2014 | 282.04 | 0.92 |
| 100 | 9/7/2014 | 174.39 | 0.63 |
| 101 | 9/8/2014 | 442.06 | 0.83 |
| 102 | 9/9/2014 | 525.24 | 0.69 |
| 103 | 9/10/2014 | 328.09 | 0.85 |
| 104 | 9/11/2014 | 356.58 | 0.74 |
| 105 | 9/12/2014 | 276.14 | 0.87 |
| 106 | 9/13/2014 | 383.1 | 0.83 |
| 107 | 9/14/2014 | 792.15 | 0.83 |
| 108 | 9/15/2014 | 299.23 | 0.79 |
| 109 | 9/16/2014 | 383.38 | 0.81 |
| 110 | 9/17/2014 | 317.89 | 0.82 |
| 111 | 9/18/2014 | 285.83 | 0.87 |
| 112 | 9/19/2014 | 333.94 | 0.78 |
| 113 | 9/20/2014 | 261.41 | 0.84 |
| 114 | 9/21/2014 | 364.06 | 0.81 |
| 115 | 9/22/2014 | 285.3 | 0.88 |
| 116 | 9/23/2014 | 152.59 | 0.81 |
| 117 | 9/24/2014 | 217.62 | 0.88 |
| 118 | 9/25/2014 | 216.43 | 0.82 |

| Hari Giling Ke- | Tanggal | ICUMSA | BJB |
|------------------------|----------------|---------------|------------|
| 119 | 9/26/2014 | 360.7 | 0.85 |
| 120 | 9/27/2014 | 245.96 | 0.88 |
| 121 | 9/28/2014 | 262.89 | 0.81 |
| 122 | 9/29/2014 | 636.11 | 0.79 |
| 123 | 9/30/2014 | 300.48 | 0.79 |
| 124 | 10/1/2014 | 462.62 | 0.92 |
| 125 | 10/2/2014 | 592.6 | 0.68 |
| 126 | 10/3/2014 | 431.47 | 0.82 |
| 127 | 10/4/2014 | 537.16 | 0.82 |
| 128 | 10/5/2014 | 583.4 | 0.84 |
| 129 | 10/7/2014 | 285.75 | 0.82 |
| 130 | 10/8/2014 | 432.32 | 0.86 |
| 131 | 10/9/2014 | 408.78 | 0.79 |
| 132 | 10/10/2014 | 450.5 | 0.78 |
| 133 | 10/11/2014 | 339.38 | 0.77 |
| 134 | 10/12/2014 | 376.77 | 0.87 |
| 135 | 10/13/2014 | 306.58 | 0.79 |
| 136 | 10/14/2014 | 225.89 | 0.75 |
| 137 | 10/15/2014 | 375.21 | 0.79 |
| 138 | 10/16/2014 | 561.7 | 0.83 |
| 139 | 10/17/2014 | 448.52 | 0.86 |
| 140 | 10/18/2014 | 580.83 | 0.79 |
| 141 | 10/19/2014 | 684.24 | 0.83 |
| 142 | 10/20/2014 | 803.17 | 0.77 |

| Hari Giling Ke- | Tanggal | ICUMSA | BJB |
|------------------------|----------------|---------------|------------|
| 143 | 10/21/2014 | 770.9 | 0.75 |
| 144 | 10/22/2014 | 432.34 | 0.9 |
| 145 | 10/23/2014 | 708.45 | 0.7 |
| 146 | 10/24/2014 | 678.3 | 0.63 |
| 147 | 10/25/2014 | 600.93 | 0.8 |
| 148 | 10/26/2014 | 351.9 | 0.63 |
| 149 | 10/27/2014 | 348.78 | 0.67 |

LAMPIRAN B : HASIL PREDIKSI SVM GRID SEARCH DAN KLASIFIKASI BJB DAN ICUMSA

Tabel B. 1 Hasil prediksi SVM grid search dan klasifikasi BJB 80%:20%

| Tanggal | Prediksi BJB (Dot) | Prediksi Klasifikasi | Prediksi BJB (Radial) | Prediksi Klasifikasi |
|------------|--------------------|----------------------|-----------------------|----------------------|
| 9/27/2014 | 0.84339504 | Lolos | 0.816022229 | Lolos |
| 9/28/2014 | 0.841255297 | Lolos | 0.822060539 | Lolos |
| 9/29/2014 | 0.840433131 | Lolos | 0.849663591 | Lolos |
| 9/30/2014 | 0.837935697 | Lolos | 0.865050534 | Lolos |
| 10/1/2014 | 0.83851483 | Lolos | 0.88620205 | Lolos |
| 10/2/2014 | 0.837566908 | Lolos | 0.80634734 | Lolos |
| 10/3/2014 | 0.826925819 | Lolos | 0.863714344 | Lolos |
| 10/4/2014 | 0.846545124 | Lolos | 0.852817613 | Lolos |
| 10/5/2014 | 0.83566778 | Lolos | 0.871158045 | Lolos |
| 10/7/2014 | 0.939391318 | Lolos | 0.893473595 | Lolos |
| 10/8/2014 | 0.84488564 | Lolos | 0.848686151 | Lolos |
| 10/9/2014 | 0.838074092 | Lolos | 0.865540985 | Lolos |
| 10/10/2014 | 0.839551992 | Lolos | 0.815871934 | Lolos |
| 10/11/2014 | 0.843318317 | Lolos | 0.933731772 | Lolos |
| 10/12/2014 | 0.842683433 | Lolos | 0.868990114 | Lolos |
| 10/13/2014 | 0.84624584 | Lolos | 0.957789713 | Lolos |
| 10/14/2014 | 0.850260628 | Lolos | 0.821128862 | Lolos |
| 10/15/2014 | 0.846275403 | Lolos | 0.754330741 | Undefined |
| 10/16/2014 | 0.848657583 | Lolos | 0.742851328 | Undefined |

| Tanggal | Prediksi BJB (Dot) | Prediksi Klasifikasi | Prediksi BJB (Radial) | Prediksi Klasifikasi |
|------------|--------------------|----------------------|-----------------------|----------------------|
| 10/17/2014 | 0.852709924 | Lolos | 0.924083277 | Lolos |
| 10/18/2014 | 0.725566375 | Undefined | 0.864299266 | Lolos |
| 10/19/2014 | 0.859193335 | Lolos | 0.988090148 | Lolos |
| 10/20/2014 | 0.85281563 | Lolos | 0.885668399 | Lolos |
| 10/21/2014 | 0.852677986 | Lolos | 0.854367782 | Lolos |
| 10/22/2014 | 0.840647699 | Lolos | 0.879402352 | Lolos |
| 10/23/2014 | 0.852013124 | Lolos | 0.79198921 | Undefined |
| 10/24/2014 | 0.845393314 | Lolos | 0.808927817 | Lolos |
| 10/25/2014 | 0.845113438 | Lolos | 0.857416734 | Lolos |
| 10/26/2014 | 0.85033282 | Lolos | 0.81822638 | Lolos |
| 10/27/2014 | 0.848753555 | Lolos | 0.868116118 | Lolos |

Tabel B. 2 Hasil prediksi SVM grid search dan klasifikasi ICUMSA 80%:20%

| Tanggal | Prediksi ICUMSA (Dot) | Prediksi Klasifikasi | Prediksi ICUMSA (Radial) | Prediksi Klasifikasi |
|-----------|-----------------------|----------------------|--------------------------|----------------------|
| 9/27/2014 | 356.0840035 | Undefined | 287.79 | GKP2 |
| 9/28/2014 | 324.037179 | Undefined | 287.79 | GKP2 |
| 9/29/2014 | 371.0619581 | Undefined | 287.79 | GKP2 |
| 9/30/2014 | 344.2306162 | Undefined | 287.79 | GKP2 |
| 10/1/2014 | 311.9300202 | Undefined | 287.79 | GKP2 |
| 10/2/2014 | 336.129533 | Undefined | 287.79 | GKP2 |

| Tanggal | Prediksi ICUMSA (Dot) | Prediksi Klasifikasi | Prediksi ICUMSA (Radial) | Prediksi Klasifikasi |
|------------|-----------------------|----------------------|--------------------------|----------------------|
| 10/3/2014 | 347.3055816 | Undefined | 287.79 | GKP2 |
| 10/4/2014 | 335.0456846 | Undefined | 287.79 | GKP2 |
| 10/5/2014 | 312.8289974 | Undefined | 287.79 | GKP2 |
| 10/7/2014 | 326.501581 | Undefined | 287.79 | GKP2 |
| 10/8/2014 | 317.7177447 | Undefined | 287.79 | GKP2 |
| 10/9/2014 | 310.9504416 | Undefined | 287.79 | GKP2 |
| 10/10/2014 | 335.453839 | Undefined | 287.79 | GKP2 |
| 10/11/2014 | 311.7324339 | Undefined | 287.79 | GKP2 |
| 10/12/2014 | 340.6509396 | Undefined | 287.79 | GKP2 |
| 10/13/2014 | 342.1123611 | Undefined | 287.79 | GKP2 |
| 10/14/2014 | 307.4092468 | Undefined | 287.79 | GKP2 |
| 10/15/2014 | 299.1958615 | GKP2 | 287.79 | GKP2 |
| 10/16/2014 | 254.0223172 | GKP2 | 287.79 | GKP2 |
| 10/17/2014 | 247.9915678 | GKP2 | 287.79 | GKP2 |
| 10/18/2014 | 419.0546858 | Undefined | 287.79 | GKP2 |
| 10/19/2014 | 240.3706431 | GKP2 | 287.79 | GKP2 |
| 10/20/2014 | 278.6437045 | GKP2 | 287.79 | GKP2 |
| 10/21/2014 | 259.7401959 | GKP2 | 287.79 | GKP2 |
| 10/22/2014 | 258.2992702 | GKP2 | 287.79 | GKP2 |
| 10/23/2014 | 238.0072255 | GKP2 | 287.79 | GKP2 |
| 10/24/2014 | 265.3856898 | GKP2 | 287.79 | GKP2 |
| 10/25/2014 | 272.6089358 | GKP2 | 287.79 | GKP2 |

| Tanggal | Prediksi ICUMSA (Dot) | Prediksi Klasifikasi | Prediksi ICUMSA (Radial) | Prediksi Klasifikasi |
|------------|-----------------------|----------------------|--------------------------|----------------------|
| 10/26/2014 | 248.2784894 | GKP2 | 287.79 | GKP2 |
| 10/27/2014 | 252.2973549 | GKP2 | 287.79 | GKP2 |

Tabel B. 3 Hasil prediksi SVM grid search dan klasifikasi BJB 60%:40%

| Tanggal | Prediksi BJB (Dot) | Prediksi Klasifikasi | Prediksi BJB (Radial) | Prediksi Klasifikasi |
|-----------|--------------------|----------------------|-----------------------|----------------------|
| 8/28/2014 | 0.854815201 | Lolos | 0.85583270 | Lolos |
| 8/29/2014 | 0.853602076 | Lolos | 0.86543636 | Lolos |
| 8/30/2014 | 0.848317007 | Lolos | 0.85540478 | Lolos |
| 8/31/2014 | 0.854453391 | Lolos | 0.85440130 | Lolos |
| 9/1/2014 | 0.890348341 | Lolos | 0.85583270 | Lolos |
| 9/2/2014 | 0.853208474 | Lolos | 0.88527108 | Lolos |
| 9/3/2014 | 0.859414321 | Lolos | 0.85604099 | Lolos |
| 9/4/2014 | 0.85544015 | Lolos | 0.85583271 | Lolos |
| 9/5/2014 | 0.844406829 | Lolos | 0.85583270 | Lolos |
| 9/6/2014 | 0.859035394 | Lolos | 0.85863150 | Lolos |
| 9/7/2014 | 0.862927912 | Lolos | 0.85583270 | Lolos |
| 9/8/2014 | 0.852150206 | Lolos | 0.86543700 | Lolos |
| 9/9/2014 | 0.850741997 | Lolos | 0.85268422 | Lolos |
| 9/10/2014 | 0.85303057 | Lolos | 0.85229830 | Lolos |

| Tanggal | Prediksi BJB (Dot) | Prediksi Klasifikasi | Prediksi BJB (Radial) | Prediksi Klasifikasi |
|-----------|-----------------------|-------------------------|-----------------------------|-------------------------|
| 9/11/2014 | 0.85251439 | Lolos | 0.85495206 | Lolos |
| 9/12/2014 | 0.853458755 | Lolos | 0.84808924 | Lolos |
| 9/13/2014 | 0.856298535 | Lolos | 0.84872555 | Lolos |
| 9/14/2014 | 0.857036477 | Lolos | 0.87990682 | Lolos |
| 9/15/2014 | 0.862351753 | Lolos | 0.85579642 | Lolos |
| 9/16/2014 | 0.853009615 | Lolos | 0.85082929 | Lolos |
| 9/17/2014 | 0.854815134 | Lolos | 0.85994183 | Lolos |
| 9/18/2014 | 0.853738043 | Lolos | 0.87413237 | Lolos |
| 9/19/2014 | 0.852052769 | Lolos | 0.85582988 | Lolos |
| 9/20/2014 | 0.851623267 | Lolos | 0.85633446 | Lolos |
| 9/21/2014 | 0.852545799 | Lolos | 0.85664746 | Lolos |
| 9/22/2014 | 0.849351176 | Lolos | 0.85454446 | Lolos |
| 9/23/2014 | 0.853887043 | Lolos | 0.85129014 | Lolos |
| 9/24/2014 | 0.847522832 | Lolos | 0.85548181 | Lolos |
| 9/25/2014 | 0.853575975 | Lolos | 0.84522093 | Lolos |
| 9/26/2014 | 0.848626432 | Lolos | 0.85583021 | Lolos |
| 9/27/2014 | 0.843625662 | Lolos | 0.85583265 | Lolos |
| 9/28/2014 | 0.843096713 | Lolos | 0.85260422 | Lolos |
| 9/29/2014 | 0.841673629 | Lolos | 0.85582826 | Lolos |
| 9/30/2014 | 0.839969622 | Lolos | 0.85582924 | Lolos |
| 10/1/2014 | 0.842657371 | Lolos | 0.85582058 | Lolos |
| 10/2/2014 | 0.837650039 | Lolos | 0.85532740 | Lolos |

| Tanggal | Prediksi BJB (Dot) | Prediksi Klasifikasi | Prediksi BJB (Radial) | Prediksi Klasifikasi |
|------------|-----------------------|----------------------|--------------------------|----------------------|
| 10/3/2014 | 0.830308388 | Lolos | 0.85583270 | Lolos |
| 10/4/2014 | 0.847565304 | Lolos | 0.85575925 | Lolos |
| 10/5/2014 | 0.840941949 | Lolos | 0.85583257 | Lolos |
| 10/7/2014 | 0.844676238 | Lolos | 0.85583270 | Lolos |
| 10/8/2014 | 0.844963798 | Lolos | 0.85580560 | Lolos |
| 10/9/2014 | 0.842410962 | Lolos | 0.85583179 | Lolos |
| 10/10/2014 | 0.848857225 | Lolos | 0.85578020 | Lolos |
| 10/11/2014 | 0.85072135 | Lolos | 0.85580376 | Lolos |
| 10/12/2014 | 0.84662125 | Lolos | 0.85563492 | Lolos |
| 10/13/2014 | 0.851457485 | Lolos | 0.85584374 | Lolos |
| 10/14/2014 | 0.850068541 | Lolos | 0.85583150 | Lolos |
| 10/15/2014 | 0.848120951 | Lolos | 0.85079341 | Lolos |
| 10/16/2014 | 0.848836123 | Lolos | 0.85334762 | Lolos |
| 10/17/2014 | 0.855512699 | Lolos | 0.85589983 | Lolos |
| 10/18/2014 | 0.72432158 | Undefined | 0.85583270 | Lolos |
| 10/19/2014 | 0.86004604 | Lolos | 0.85848999 | Lolos |
| 10/20/2014 | 0.857676294 | Lolos | 0.86356803 | Lolos |
| 10/21/2014 | 0.861342774 | Lolos | 0.85470307 | Lolos |
| 10/22/2014 | 0.850463649 | Lolos | 0.85582599 | Lolos |
| 10/23/2014 | 0.848044677 | Lolos | 0.85579809 | Lolos |
| 10/24/2014 | 0.84393091 | Lolos | 0.85583264 | Lolos |
| 10/25/2014 | 0.847476865 | Lolos | 0.85580498 | Lolos |

| Tanggal | Prediksi BJB (Dot) | Prediksi Klasifikasi | Prediksi BJB (Radial) | Prediksi Klasifikasi |
|------------|-----------------------|----------------------|--------------------------|----------------------|
| 10/26/2014 | 0.847373247 | Lolos | 0.85583214 | Lolos |
| 10/27/2014 | 0.853450073 | Lolos | 0.86215139 | Lolos |

Tabel B. 4 Hasil prediksi SVM grid search dan klasifikasi ICUMSA 60%:40%

| Tanggal | Prediksi ICUMSA (Dot) | Prediksi Klasifikasi | Prediksi ICUMSA (Radial) | Prediksi Klasifikasi |
|-----------|--------------------------|----------------------|-----------------------------|----------------------|
| 8/28/2014 | 467.5092833 | Undefined | 273.7593003 | GKP2 |
| 8/29/2014 | 443.3948022 | Undefined | 273.9073606 | GKP2 |
| 8/30/2014 | 491.3490001 | Undefined | 274.188118 | GKP2 |
| 8/31/2014 | 519.757946 | Undefined | 273.7458042 | GKP2 |
| 9/1/2014 | 918.8501993 | Undefined | 273.7458042 | GKP2 |
| 9/2/2014 | 558.034561 | Undefined | 273.7458042 | GKP2 |
| 9/3/2014 | 500.4793324 | Undefined | 273.746642 | GKP2 |
| 9/4/2014 | 542.7977184 | Undefined | 273.7493094 | GKP2 |
| 9/5/2014 | 616.32965 | Undefined | 273.7458042 | GKP2 |
| 9/6/2014 | 527.1142342 | Undefined | 273.7462295 | GKP2 |
| 9/7/2014 | 531.8852484 | Undefined | 273.7458042 | GKP2 |
| 9/8/2014 | 532.8630492 | Undefined | 273.7458042 | GKP2 |
| 9/9/2014 | 479.8982165 | Undefined | 273.7458042 | GKP2 |
| 9/10/2014 | 458.8012706 | Undefined | 274.1578419 | GKP2 |

| Tanggal | Prediksi ICUMSA (Dot) | Prediksi Klasifikasi | Prediksi ICUMSA (Radial) | Prediksi Klasifikasi |
|-----------|-----------------------|----------------------|--------------------------|----------------------|
| 9/11/2014 | 637.6728841 | Undefined | 273.7491749 | GKP2 |
| 9/12/2014 | 501.9307969 | Undefined | 274.1037651 | GKP2 |
| 9/13/2014 | 485.3936796 | Undefined | 273.7580199 | GKP2 |
| 9/14/2014 | 470.8813046 | Undefined | 273.7492604 | GKP2 |
| 9/15/2014 | 505.6656716 | Undefined | 274.0607906 | GKP2 |
| 9/16/2014 | 502.3376444 | Undefined | 273.7458077 | GKP2 |
| 9/17/2014 | 534.2460146 | Undefined | 273.7499401 | GKP2 |
| 9/18/2014 | 543.3612737 | Undefined | 273.7460344 | GKP2 |
| 9/19/2014 | 438.9660703 | Undefined | 273.813889 | GKP2 |
| 9/20/2014 | 471.3748178 | Undefined | 273.7713941 | GKP2 |
| 9/21/2014 | 536.2525306 | Undefined | 273.7465767 | GKP2 |
| 9/22/2014 | 413.0703355 | Undefined | 273.8226164 | GKP2 |
| 9/23/2014 | 540.227413 | Undefined | 273.7458086 | GKP2 |
| 9/24/2014 | 456.3569602 | Undefined | 273.7471308 | GKP2 |
| 9/25/2014 | 407.7917691 | Undefined | 273.8410882 | GKP2 |
| 9/26/2014 | 561.1560878 | Undefined | 273.7648308 | GKP2 |
| 9/27/2014 | 561.1902615 | Undefined | 273.7462244 | GKP2 |
| 9/28/2014 | 472.0045674 | Undefined | 273.7461104 | GKP2 |
| 9/29/2014 | 537.3581244 | Undefined | 273.7463074 | GKP2 |
| 9/30/2014 | 483.839351 | Undefined | 273.7476303 | GKP2 |
| 10/1/2014 | 391.8817397 | Undefined | 273.7468949 | GKP2 |
| 10/2/2014 | 419.2071153 | Undefined | 273.748706 | GKP2 |

| Tanggal | Prediksi ICUMSA (Dot) | Prediksi Klasifikasi | Prediksi ICUMSA (Radial) | Prediksi Klasifikasi |
|------------|-----------------------|----------------------|--------------------------|----------------------|
| 10/3/2014 | 506.2345986 | Undefined | 273.7458043 | GKP2 |
| 10/4/2014 | 376.8714617 | Undefined | 273.7458223 | GKP2 |
| 10/5/2014 | 376.4822298 | Undefined | 273.7469867 | GKP2 |
| 10/7/2014 | 414.814122 | Undefined | 273.7458042 | GKP2 |
| 10/8/2014 | 402.0689306 | Undefined | 273.7700685 | GKP2 |
| 10/9/2014 | 434.9359334 | Undefined | 273.7459371 | GKP2 |
| 10/10/2014 | 477.442885 | Undefined | 273.7523851 | GKP2 |
| 10/11/2014 | 448.7645352 | Undefined | 273.7463981 | GKP2 |
| 10/12/2014 | 471.5400518 | Undefined | 273.7504822 | GKP2 |
| 10/13/2014 | 480.489243 | Undefined | 273.7462298 | GKP2 |
| 10/14/2014 | 416.7669959 | Undefined | 273.7458085 | GKP2 |
| 10/15/2014 | 357.3779488 | Undefined | 273.7460828 | GKP2 |
| 10/16/2014 | 419.0283707 | Undefined | 273.7458042 | GKP2 |
| 10/17/2014 | 384.7976581 | Undefined | 273.7458042 | GKP2 |
| 10/18/2014 | 465.112181 | Undefined | 273.7458042 | GKP2 |
| 10/19/2014 | 468.817439 | Undefined | 273.7458042 | GKP2 |
| 10/20/2014 | 561.3228586 | Undefined | 273.7458042 | GKP2 |
| 10/21/2014 | 467.6279498 | Undefined | 273.7458042 | GKP2 |
| 10/22/2014 | 427.5686445 | Undefined | 273.7458042 | GKP2 |
| 10/23/2014 | 360.21289 | Undefined | 273.7458042 | GKP2 |
| 10/24/2014 | 430.1629473 | Undefined | 273.7458042 | GKP2 |
| 10/25/2014 | 445.7920927 | Undefined | 273.7458042 | GKP2 |

| Tanggal | Prediksi ICUMSA (Dot) | Prediksi Klasifikasi | Prediksi ICUMSA (Radial) | Prediksi Klasifikasi |
|------------|-----------------------------|-------------------------|--------------------------------|-------------------------|
| 10/26/2014 | 393.5181933 | Undefined | 273.7458042 | GKP2 |
| 10/27/2014 | 451.5391751 | Undefined | 273.7458042 | GKP2 |

LAMPIRAN C : DATA HASIL PREDIKSI DAN KLASIFIKASI SVM GA

Tabel C. 1 Hasil prediksi SVM GA dan klasifikasi BJB 80%:20%

| Tanggal | Prediksi BJB (Dot) | Prediksi Klasifikasi | Prediksi BJB (Radial) | Prediksi Klasifikasi |
|------------|--------------------|----------------------|-----------------------|----------------------|
| 9/27/2014 | 0.839659753 | Lolos | 0.837599078 | Lolos |
| 9/28/2014 | 0.841739629 | Lolos | 0.791708952 | Undefined |
| 9/29/2014 | 0.834885314 | Lolos | 0.793577571 | Undefined |
| 9/30/2014 | 0.836536281 | Lolos | 0.781980756 | Undefined |
| 10/1/2014 | 0.836986712 | Lolos | 0.813660774 | Lolos |
| 10/2/2014 | 0.83270136 | Lolos | 0.768342238 | Undefined |
| 10/3/2014 | 0.823010515 | Lolos | 0.848493874 | Lolos |
| 10/4/2014 | 0.845013006 | Lolos | 0.813068937 | Lolos |
| 10/5/2014 | 0.840774293 | Lolos | 0.829926945 | Lolos |
| 10/7/2014 | 0.895667573 | Lolos | 0.934442118 | Lolos |
| 10/8/2014 | 0.841114068 | Lolos | 0.778216643 | Undefined |
| 10/9/2014 | 0.838720079 | Lolos | 0.805682021 | Lolos |
| 10/10/2014 | 0.849051154 | Lolos | 0.839292378 | Lolos |
| 10/11/2014 | 0.843697736 | Lolos | 0.817205447 | Lolos |
| 10/12/2014 | 0.841783581 | Lolos | 0.82673243 | Lolos |
| 10/13/2014 | 0.845275459 | Lolos | 0.812142525 | Lolos |
| 10/14/2014 | 0.846900743 | Lolos | 0.80190136 | Lolos |
| 10/15/2014 | 0.848195082 | Lolos | 0.820915426 | Lolos |
| 10/16/2014 | 0.847300605 | Lolos | 0.814838328 | Lolos |
| 10/17/2014 | 0.853484618 | Lolos | 0.826281787 | Lolos |

| Tanggal | Prediksi BJB (Dot) | Prediksi Klasifikasi | Prediksi BJB (Radial) | Prediksi Klasifikasi |
|------------|-----------------------|-------------------------|--------------------------|-------------------------|
| 10/18/2014 | 0.7144479 | Undefined | 0.84249458 | Lolos |
| 10/19/2014 | 0.86210075 | Lolos | 0.83352085 | Lolos |
| 10/20/2014 | 0.857283109 | Lolos | 0.83843618 | Lolos |
| 10/21/2014 | 0.864868581 | Lolos | 0.849126664 | Lolos |
| 10/22/2014 | 0.849809629 | Lolos | 0.834119791 | Lolos |
| 10/23/2014 | 0.846508223 | Lolos | 0.76667472 | Undefined |
| 10/24/2014 | 0.838125926 | Lolos | 0.787515689 | Undefined |
| 10/25/2014 | 0.843625318 | Lolos | 0.823322372 | Lolos |
| 10/26/2014 | 0.844553455 | Lolos | 0.825232905 | Lolos |
| 10/27/2014 | 0.854399052 | Lolos | 0.854798419 | Lolos |

Tabel C. 2 Hasil prediksi SVM GA dan klasifikasi ICUMSA 80%:20%

| Tanggal | Prediksi ICUMSA (Dot) | Prediksi Klasifikasi | Prediksi ICUMSA (Radial) | Prediksi Klasifikasi |
|-----------|-----------------------------|-------------------------|--------------------------------|-------------------------|
| 9/27/2014 | 356.0840035 | Undefined | 289.0642424 | GKP2 |
| 9/28/2014 | 324.037179 | Undefined | 290.4109552 | GKP2 |
| 9/29/2014 | 371.0619581 | Undefined | 289.2139574 | GKP2 |
| 9/30/2014 | 344.2306162 | Undefined | 289.3527816 | GKP2 |
| 10/1/2014 | 311.9300202 | Undefined | 289.2629139 | GKP2 |
| 10/2/2014 | 336.129533 | Undefined | 289.117416 | GKP2 |
| 10/3/2014 | 347.3055816 | Undefined | 289.0988657 | GKP2 |

| Tanggal | Prediksi ICUMSA (Dot) | Prediksi Klasifikasi | Prediksi ICUMSA (Radial) | Prediksi Klasifikasi |
|------------|-----------------------|----------------------|--------------------------|----------------------|
| 10/4/2014 | 335.0456846 | Undefined | 289.4197447 | GKP2 |
| 10/5/2014 | 312.8289974 | Undefined | 289.2338377 | GKP2 |
| 10/7/2014 | 326.501581 | Undefined | 289.3965732 | GKP2 |
| 10/8/2014 | 317.7177447 | Undefined | 289.0840933 | GKP2 |
| 10/9/2014 | 310.9504416 | Undefined | 289.2733758 | GKP2 |
| 10/10/2014 | 335.453839 | Undefined | 290.9176673 | GKP2 |
| 10/11/2014 | 311.7324339 | Undefined | 289.2577838 | GKP2 |
| 10/12/2014 | 340.6509396 | Undefined | 290.7615477 | GKP2 |
| 10/13/2014 | 342.1123611 | Undefined | 289.3148189 | GKP2 |
| 10/14/2014 | 307.4092468 | Undefined | 289.2601622 | GKP2 |
| 10/15/2014 | 299.1958615 | GKP2 | 289.2059801 | GKP2 |
| 10/16/2014 | 254.0223172 | GKP2 | 289.3926535 | GKP2 |
| 10/17/2014 | 247.9915678 | GKP2 | 289.3476112 | GKP2 |
| 10/18/2014 | 419.0546858 | Undefined | 289.4396149 | GKP2 |
| 10/19/2014 | 240.3706431 | GKP2 | 289.289234 | GKP2 |
| 10/20/2014 | 278.6437045 | GKP2 | 289.2234504 | GKP2 |
| 10/21/2014 | 259.7401959 | GKP2 | 289.1323889 | GKP2 |
| 10/22/2014 | 258.2992702 | GKP2 | 291.2051019 | GKP2 |
| 10/23/2014 | 238.0072255 | GKP2 | 289.233796 | GKP2 |
| 10/24/2014 | 265.3856898 | GKP2 | 289.0878064 | GKP2 |
| 10/25/2014 | 272.6089358 | GKP2 | 289.1971892 | GKP2 |
| 10/26/2014 | 248.2784894 | GKP2 | 289.3469225 | GKP2 |

| Tanggal | Prediksi ICUMSA (Dot) | Prediksi Klasifikasi | Prediksi ICUMSA (Radial) | Prediksi Klasifikasi |
|------------|-----------------------|----------------------|--------------------------|----------------------|
| 10/27/2014 | 252.2973549 | GKP2 | 289.3161293 | GKP2 |

Tabel C. 3 Hasil prediksi SVM grid search dan klasifikasi BJB 60%:40%

| Tanggal | Prediksi BJB (Dot) | Prediksi Klasifikasi | Prediksi BJB (Radial) | Prediksi Klasifikasi |
|-----------|--------------------|----------------------|-----------------------|----------------------|
| 8/28/2014 | 0.853044496 | Lolos | 0.857019896 | Lolos |
| 8/29/2014 | 0.853109059 | Lolos | 0.873189227 | Lolos |
| 8/30/2014 | 0.848931027 | Lolos | 0.849131783 | Lolos |
| 8/31/2014 | 0.85600248 | Lolos | 0.852807806 | Lolos |
| 9/1/2014 | 0.888315535 | Lolos | 0.856743668 | Lolos |
| 9/2/2014 | 0.853371048 | Lolos | 0.914625237 | Lolos |
| 9/3/2014 | 0.863503508 | Lolos | 0.858320995 | Lolos |
| 9/4/2014 | 0.858443766 | Lolos | 0.856744079 | Lolos |
| 9/5/2014 | 0.860284769 | Lolos | 0.856743668 | Lolos |
| 9/6/2014 | 0.858039255 | Lolos | 0.851177963 | Lolos |
| 9/7/2014 | 0.858939493 | Lolos | 0.855684799 | Lolos |
| 9/8/2014 | 0.853284728 | Lolos | 0.86212232 | Lolos |
| 9/9/2014 | 0.850311073 | Lolos | 0.847017628 | Lolos |
| 9/10/2014 | 0.855685864 | Lolos | 0.844773592 | Lolos |
| 9/11/2014 | 0.852474673 | Lolos | 0.851088459 | Lolos |
| 9/12/2014 | 0.853529793 | Lolos | 0.845317993 | Lolos |

| Tanggal | Prediksi BJB (Dot) | Prediksi Klasifikasi | Prediksi BJB (Radial) | Prediksi Klasifikasi |
|-----------|-----------------------|-------------------------|--------------------------|-------------------------|
| 9/13/2014 | 0.856709843 | Lolos | 0.854724917 | Lolos |
| 9/14/2014 | 0.857425397 | Lolos | 0.883039088 | Lolos |
| 9/15/2014 | 0.858854994 | Lolos | 0.8560316 | Lolos |
| 9/16/2014 | 0.854932998 | Lolos | 0.831249632 | Lolos |
| 9/17/2014 | 0.855444651 | Lolos | 0.875331098 | Lolos |
| 9/18/2014 | 0.854771249 | Lolos | 0.883708282 | Lolos |
| 9/19/2014 | 0.853955502 | Lolos | 0.856726227 | Lolos |
| 9/20/2014 | 0.851907124 | Lolos | 0.856794542 | Lolos |
| 9/21/2014 | 0.852726923 | Lolos | 0.854875133 | Lolos |
| 9/22/2014 | 0.849498642 | Lolos | 0.854505351 | Lolos |
| 9/23/2014 | 0.856205585 | Lolos | 0.83871907 | Lolos |
| 9/24/2014 | 0.847588541 | Lolos | 0.856008497 | Lolos |
| 9/25/2014 | 0.855888677 | Lolos | 0.8336937 | Lolos |
| 9/26/2014 | 0.850495418 | Lolos | 0.855938362 | Lolos |
| 9/27/2014 | 0.844042706 | Lolos | 0.856742821 | Lolos |
| 9/28/2014 | 0.844228848 | Lolos | 0.84909425 | Lolos |
| 9/29/2014 | 0.84292038 | Lolos | 0.856691092 | Lolos |
| 9/30/2014 | 0.843014319 | Lolos | 0.856684774 | Lolos |
| 10/1/2014 | 0.844318886 | Lolos | 0.856497129 | Lolos |
| 10/2/2014 | 0.838229774 | Lolos | 0.855002411 | Lolos |
| 10/3/2014 | 0.829981945 | Lolos | 0.856743668 | Lolos |
| 10/4/2014 | 0.850205858 | Lolos | 0.855465142 | Lolos |
| 10/5/2014 | 0.841885101 | Lolos | 0.856733115 | Lolos |

| Tanggal | Prediksi BJB (Dot) | Prediksi Klasifikasi | Prediksi BJB (Radial) | Prediksi Klasifikasi |
|------------|-----------------------|-------------------------|--------------------------|-------------------------|
| 10/7/2014 | 0.863907291 | Lolos | 0.856743668 | Lolos |
| 10/8/2014 | 0.847009914 | Lolos | 0.856533602 | Lolos |
| 10/9/2014 | 0.843903735 | Lolos | 0.856730946 | Lolos |
| 10/10/2014 | 0.847538167 | Lolos | 0.855031962 | Lolos |
| 10/11/2014 | 0.85484226 | Lolos | 0.855769374 | Lolos |
| 10/12/2014 | 0.848304069 | Lolos | 0.854285759 | Lolos |
| 10/13/2014 | 0.85581425 | Lolos | 0.855669617 | Lolos |
| 10/14/2014 | 0.853446714 | Lolos | 0.856693454 | Lolos |
| 10/15/2014 | 0.847659272 | Lolos | 0.840957204 | Lolos |
| 10/16/2014 | 0.849493223 | Lolos | 0.850849423 | Lolos |
| 10/17/2014 | 0.861394838 | Lolos | 0.857996582 | Lolos |
| 10/18/2014 | 0.701365049 | Undefined | 0.856743668 | Lolos |
| 10/19/2014 | 0.859482689 | Lolos | 0.865620697 | Lolos |
| 10/20/2014 | 0.859628387 | Lolos | 0.874663072 | Lolos |
| 10/21/2014 | 0.861550454 | Lolos | 0.861436862 | Lolos |
| 10/22/2014 | 0.851680631 | Lolos | 0.856400526 | Lolos |
| 10/23/2014 | 0.853881664 | Lolos | 0.856536317 | Lolos |
| 10/24/2014 | 0.844884861 | Lolos | 0.856740584 | Lolos |
| 10/25/2014 | 0.850694452 | Lolos | 0.856434588 | Lolos |
| 10/26/2014 | 0.8495414 | Lolos | 0.856915571 | Lolos |
| 10/27/2014 | 0.855095644 | Lolos | 0.863859712 | Lolos |

Tabel C. 4 Hasil prediksi SVM grid search dan klasifikasi ICUMSA 60%:40%

| Tanggal | Prediksi ICUMSA (Dot) | Prediksi Klasifikasi | Prediksi ICUMSA (Radial) | Prediksi Klasifikasi |
|----------------|--------------------------------------|---------------------------------|---|---------------------------------|
| 8/28/2014 | 448.2083069 | Undefined | 401.5553917 | Undefined |
| 8/29/2014 | 435.3086122 | Undefined | 400.7451745 | Undefined |
| 8/30/2014 | 462.2264128 | Undefined | 398.2732548 | Undefined |
| 8/31/2014 | 499.5779608 | Undefined | 389.3197143 | Undefined |
| 9/1/2014 | 508.0651641 | Undefined | 415.2981198 | Undefined |
| 9/2/2014 | 481.8469409 | Undefined | 358.4471982 | Undefined |
| 9/3/2014 | 450.3594216 | Undefined | 397.5951303 | Undefined |
| 9/4/2014 | 497.4011151 | Undefined | 407.8478104 | Undefined |
| 9/5/2014 | 321.1947073 | Undefined | 411.8995534 | Undefined |
| 9/6/2014 | 518.5732695 | Undefined | 412.0810641 | Undefined |
| 9/7/2014 | 507.0778436 | Undefined | 409.1339579 | Undefined |
| 9/8/2014 | 460.0615481 | Undefined | 401.6568263 | Undefined |
| 9/9/2014 | 479.8182785 | Undefined | 405.4935232 | Undefined |
| 9/10/2014 | 459.9296786 | Undefined | 406.0271055 | Undefined |
| 9/11/2014 | 558.7177628 | Undefined | 400.9257614 | Undefined |
| 9/12/2014 | 474.4141388 | Undefined | 412.2416287 | Undefined |
| 9/13/2014 | 492.3012224 | Undefined | 415.9946915 | Undefined |
| 9/14/2014 | 481.8959397 | Undefined | 406.7218777 | Undefined |
| 9/15/2014 | 478.4477273 | Undefined | 404.4156542 | Undefined |
| 9/16/2014 | 501.9598805 | Undefined | 398.1918899 | Undefined |
| 9/17/2014 | 490.441515 | Undefined | 400.2618262 | Undefined |

| Tanggal | Prediksi ICUMSA (Dot) | Prediksi Klasifikasi | Prediksi ICUMSA (Radial) | Prediksi Klasifikasi |
|------------|-----------------------------|-------------------------|--------------------------------|-------------------------|
| 9/18/2014 | 476.9691065 | Undefined | 398.9925204 | Undefined |
| 9/19/2014 | 437.1381283 | Undefined | 391.0458645 | Undefined |
| 9/20/2014 | 456.3145321 | Undefined | 387.8253473 | Undefined |
| 9/21/2014 | 487.7991131 | Undefined | 406.2594327 | Undefined |
| 9/22/2014 | 427.9180165 | Undefined | 386.5679035 | Undefined |
| 9/23/2014 | 498.8677838 | Undefined | 407.9628438 | Undefined |
| 9/24/2014 | 470.8364175 | Undefined | 404.8014323 | Undefined |
| 9/25/2014 | 415.713575 | Undefined | 380.3569689 | Undefined |
| 9/26/2014 | 514.679582 | Undefined | 407.9008519 | Undefined |
| 9/27/2014 | 513.0160939 | Undefined | 405.0029326 | Undefined |
| 9/28/2014 | 437.3505022 | Undefined | 394.3369684 | Undefined |
| 9/29/2014 | 519.164617 | Undefined | 409.2187132 | Undefined |
| 9/30/2014 | 485.7460373 | Undefined | 404.7246259 | Undefined |
| 10/1/2014 | 390.012762 | Undefined | 375.4664764 | Undefined |
| 10/2/2014 | 434.3370195 | Undefined | 395.7598722 | Undefined |
| 10/3/2014 | 427.2323384 | Undefined | 391.4325746 | Undefined |
| 10/4/2014 | 433.7307529 | Undefined | 397.4857383 | Undefined |
| 10/5/2014 | 391.6698708 | Undefined | 373.4460122 | Undefined |
| 10/7/2014 | 187.4683843 | GKP1 | 367.1078542 | Undefined |
| 10/8/2014 | 419.3833849 | Undefined | 389.9769517 | Undefined |
| 10/9/2014 | 397.1590511 | Undefined | 368.9409482 | Undefined |
| 10/10/2014 | 440.5925147 | Undefined | 398.8466021 | Undefined |

| Tanggal | Prediksi ICUMSA (Dot) | Prediksi Klasifikasi | Prediksi ICUMSA (Radial) | Prediksi Klasifikasi |
|------------|-----------------------------|-------------------------|--------------------------------|-------------------------|
| 10/11/2014 | 407.8735843 | Undefined | 386.3296397 | Undefined |
| 10/12/2014 | 447.2818533 | Undefined | 401.0825228 | Undefined |
| 10/13/2014 | 458.4028684 | Undefined | 397.3285505 | Undefined |
| 10/14/2014 | 428.1432372 | Undefined | 381.8444721 | Undefined |
| 10/15/2014 | 383.673691 | Undefined | 371.6059821 | Undefined |
| 10/16/2014 | 355.9766537 | Undefined | 309.2403495 | Undefined |
| 10/17/2014 | 350.6388998 | Undefined | 308.602878 | Undefined |
| 10/18/2014 | 351.6991698 | Undefined | 314.1512143 | Undefined |
| 10/19/2014 | 362.7211737 | Undefined | 313.9079698 | Undefined |
| 10/20/2014 | 435.0171873 | Undefined | 319.5091301 | Undefined |
| 10/21/2014 | 372.6515205 | Undefined | 313.7276251 | Undefined |
| 10/22/2014 | 347.0097308 | Undefined | 312.8822397 | Undefined |
| 10/23/2014 | 345.3952326 | Undefined | 309.8435348 | Undefined |
| 10/24/2014 | 375.7129235 | Undefined | 316.4645121 | Undefined |
| 10/25/2014 | 381.2450297 | Undefined | 312.2391183 | Undefined |
| 10/26/2014 | 354.1220044 | Undefined | 307.5471775 | Undefined |
| 10/27/2014 | 347.3182162 | Undefined | 315.9156913 | Undefined |

Halaman ini sengaja dikosongkan

LAMPIRAN D : DATA HASIL KLASIFIKASI KUALITAS GULA
Tabel D. 1 Hasil klasifikasi kualitas gula SVM grid search 80%:20%

| Tanggal | Kernel: Dot | | | Kernel: Radial | | |
|------------|--------------|-----------------|---------------|----------------|-----------------|---------------|
| | Prediksi BJB | Prediksi ICUMSA | Prediksi Gula | Prediksi BJB | Prediksi ICUMSA | Prediksi Gula |
| 9/27/2014 | Lolos | Undefined | Undefined | Lolos | GKP2 | GKP2 |
| 9/28/2014 | Lolos | Undefined | Undefined | Lolos | GKP2 | GKP2 |
| 9/29/2014 | Lolos | Undefined | Undefined | Lolos | GKP2 | GKP2 |
| 9/30/2014 | Lolos | Undefined | Undefined | Lolos | GKP2 | GKP2 |
| 10/1/2014 | Lolos | Undefined | Undefined | Lolos | GKP2 | GKP2 |
| 10/2/2014 | Lolos | Undefined | Undefined | Lolos | GKP2 | GKP2 |
| 10/3/2014 | Lolos | Undefined | Undefined | Lolos | GKP2 | GKP2 |
| 10/4/2014 | Lolos | Undefined | Undefined | Lolos | GKP2 | GKP2 |
| 10/5/2014 | Lolos | Undefined | Undefined | Lolos | GKP2 | GKP2 |
| 10/7/2014 | Lolos | Undefined | Undefined | Lolos | GKP2 | GKP2 |
| 10/8/2014 | Lolos | Undefined | Undefined | Lolos | GKP2 | GKP2 |
| 10/9/2014 | Lolos | Undefined | Undefined | Lolos | GKP2 | GKP2 |
| 10/10/2014 | Lolos | Undefined | Undefined | Lolos | GKP2 | GKP2 |
| 10/11/2014 | Lolos | Undefined | Undefined | Lolos | GKP2 | GKP2 |
| 10/12/2014 | Lolos | Undefined | Undefined | Lolos | GKP2 | GKP2 |
| 10/13/2014 | Lolos | Undefined | Undefined | Lolos | GKP2 | GKP2 |
| 10/14/2014 | Lolos | Undefined | Undefined | Lolos | GKP2 | GKP2 |
| 10/15/2014 | Lolos | GKP2 | GKP2 | Undefined | GKP2 | Undefined |
| 10/16/2014 | Lolos | GKP2 | GKP2 | Undefined | GKP2 | Undefined |

| Tanggal | Kernel: Dot | | | Kernel: Radial | | |
|------------|--------------|-----------------|---------------|----------------|-----------------|---------------|
| | Prediksi BJB | Prediksi ICUMSA | Prediksi Gula | Prediksi BJB | Prediksi ICUMSA | Prediksi Gula |
| 10/17/2014 | Lolos | GKP2 | GKP2 | Lolos | GKP2 | GKP2 |
| 10/18/2014 | Undefined | Undefined | Undefined | Lolos | GKP2 | GKP2 |
| 10/19/2014 | Lolos | GKP2 | GKP2 | Lolos | GKP2 | GKP2 |
| 10/20/2014 | Lolos | GKP2 | GKP2 | Lolos | GKP2 | GKP2 |
| 10/21/2014 | Lolos | GKP2 | GKP2 | Lolos | GKP2 | GKP2 |
| 10/22/2014 | Lolos | GKP2 | GKP2 | Lolos | GKP2 | GKP2 |
| 10/23/2014 | Lolos | GKP2 | GKP2 | Undefined | GKP2 | Undefined |
| 10/24/2014 | Lolos | GKP2 | GKP2 | Lolos | GKP2 | GKP2 |
| 10/25/2014 | Lolos | GKP2 | GKP2 | Lolos | GKP2 | GKP2 |
| 10/26/2014 | Lolos | GKP2 | GKP2 | Lolos | GKP2 | GKP2 |
| 10/27/2014 | Lolos | GKP2 | GKP2 | Lolos | GKP2 | GKP2 |

Tabel D. 2 Hasil klasifikasi kualitas gula SVM GA 80%:20%

| Tanggal | Kernel: Dot | | | Kernel: Radial | | |
|-----------|--------------|-----------------|---------------|----------------|-----------------|---------------|
| | Prediksi BJB | Prediksi ICUMSA | Prediksi Gula | Prediksi BJB | Prediksi ICUMSA | Prediksi Gula |
| 9/27/2014 | Lolos | Undefined | Undefined | Lolos | GKP2 | GKP2 |
| 9/28/2014 | Lolos | Undefined | Undefined | Undefined | GKP2 | Undefined |
| 9/29/2014 | Lolos | Undefined | Undefined | Undefined | GKP2 | Undefined |
| 9/30/2014 | Lolos | Undefined | Undefined | Undefined | GKP2 | Undefined |
| 10/1/2014 | Lolos | Undefined | Undefined | Lolos | GKP2 | GKP2 |

| Tanggal | Kernel: Dot | | | Kernel: Radial | | |
|------------|--------------|-----------------|---------------|----------------|-----------------|---------------|
| | Prediksi BJB | Prediksi ICUMSA | Prediksi Gula | Prediksi BJB | Prediksi ICUMSA | Prediksi Gula |
| 10/2/2014 | Lolos | Undefined | Undefined | Undefined | GKP2 | Undefined |
| 10/3/2014 | Lolos | Undefined | Undefined | Lolos | GKP2 | GKP2 |
| 10/4/2014 | Lolos | Undefined | Undefined | Lolos | GKP2 | GKP2 |
| 10/5/2014 | Lolos | Undefined | Undefined | Lolos | GKP2 | GKP2 |
| 10/7/2014 | Lolos | Undefined | Undefined | Lolos | GKP2 | GKP2 |
| 10/8/2014 | Lolos | Undefined | Undefined | Undefined | GKP2 | Undefined |
| 10/9/2014 | Lolos | Undefined | Undefined | Lolos | GKP2 | GKP2 |
| 10/10/2014 | Lolos | Undefined | Undefined | Lolos | GKP2 | GKP2 |
| 10/11/2014 | Lolos | Undefined | Undefined | Lolos | GKP2 | GKP2 |
| 10/12/2014 | Lolos | Undefined | Undefined | Lolos | GKP2 | GKP2 |
| 10/13/2014 | Lolos | Undefined | Undefined | Lolos | GKP2 | GKP2 |
| 10/14/2014 | Lolos | Undefined | Undefined | Lolos | GKP2 | GKP2 |
| 10/15/2014 | Lolos | GKP2 | GKP2 | Lolos | GKP2 | GKP2 |
| 10/16/2014 | Lolos | GKP2 | GKP2 | Lolos | GKP2 | GKP2 |
| 10/17/2014 | Lolos | GKP2 | GKP2 | Lolos | GKP2 | GKP2 |
| 10/18/2014 | Undefined | Undefined | Undefined | Lolos | GKP2 | GKP2 |
| 10/19/2014 | Lolos | GKP2 | GKP2 | Lolos | GKP2 | GKP2 |
| 10/20/2014 | Lolos | GKP2 | GKP2 | Lolos | GKP2 | GKP2 |
| 10/21/2014 | Lolos | GKP2 | GKP2 | Lolos | GKP2 | GKP2 |
| 10/22/2014 | Lolos | GKP2 | GKP2 | Lolos | GKP2 | GKP2 |
| 10/23/2014 | Lolos | GKP2 | GKP2 | Undefined | GKP2 | Undefined |
| 10/24/2014 | Lolos | GKP2 | GKP2 | Undefined | GKP2 | Undefined |

| Tanggal | Kernel: Dot | | | Kernel: Radial | | |
|------------|--------------|-----------------|---------------|----------------|-----------------|---------------|
| | Prediksi BJB | Prediksi ICUMSA | Prediksi Gula | Prediksi BJB | Prediksi ICUMSA | Prediksi Gula |
| 10/25/2014 | Lolos | GKP2 | GKP2 | Lolos | GKP2 | GKP2 |
| 10/26/2014 | Lolos | GKP2 | GKP2 | Lolos | GKP2 | GKP2 |
| 10/27/2014 | Lolos | GKP2 | GKP2 | Lolos | GKP2 | GKP2 |

Tabel D. 3 Hasil klasifikasi kualitas gula SVM grid search 60%:40%

| Tanggal | Kernel: Dot | | | Kernel: Radial | | |
|-----------|--------------|-----------------|---------------|----------------|-----------------|---------------|
| | Prediksi BJB | Prediksi ICUMSA | Prediksi Gula | Prediksi BJB | Prediksi ICUMSA | Prediksi Gula |
| 8/28/2014 | Lolos | Undefined | Undefined | Lolos | GKP2 | GKP2 |
| 8/29/2014 | Lolos | Undefined | Undefined | Lolos | GKP2 | GKP2 |
| 8/30/2014 | Lolos | Undefined | Undefined | Lolos | GKP2 | GKP2 |
| 8/31/2014 | Lolos | Undefined | Undefined | Lolos | GKP2 | GKP2 |
| 9/1/2014 | Lolos | Undefined | Undefined | Lolos | GKP2 | GKP2 |
| 9/2/2014 | Lolos | Undefined | Undefined | Lolos | GKP2 | GKP2 |
| 9/3/2014 | Lolos | Undefined | Undefined | Lolos | GKP2 | GKP2 |
| 9/4/2014 | Lolos | Undefined | Undefined | Lolos | GKP2 | GKP2 |
| 9/5/2014 | Lolos | Undefined | Undefined | Lolos | GKP2 | GKP2 |
| 9/6/2014 | Lolos | Undefined | Undefined | Lolos | GKP2 | GKP2 |
| 9/7/2014 | Lolos | Undefined | Undefined | Lolos | GKP2 | GKP2 |
| 9/8/2014 | Lolos | Undefined | Undefined | Lolos | GKP2 | GKP2 |
| 9/9/2014 | Lolos | Undefined | Undefined | Lolos | GKP2 | GKP2 |

| Tanggal | Kernel: Dot | | | Kernel: Radial | | |
|-----------|--------------|-----------------|---------------|----------------|-----------------|---------------|
| | Prediksi BJB | Prediksi ICUMSA | Prediksi Gula | Prediksi BJB | Prediksi ICUMSA | Prediksi Gula |
| 9/10/2014 | Lolos | Undefined | Undefined | Lolos | GKP2 | GKP2 |
| 9/11/2014 | Lolos | Undefined | Undefined | Lolos | GKP2 | GKP2 |
| 9/12/2014 | Lolos | Undefined | Undefined | Lolos | GKP2 | GKP2 |
| 9/13/2014 | Lolos | Undefined | Undefined | Lolos | GKP2 | GKP2 |
| 9/14/2014 | Lolos | Undefined | Undefined | Lolos | GKP2 | GKP2 |
| 9/15/2014 | Lolos | Undefined | Undefined | Lolos | GKP2 | GKP2 |
| 9/16/2014 | Lolos | Undefined | Undefined | Lolos | GKP2 | GKP2 |
| 9/17/2014 | Lolos | Undefined | Undefined | Lolos | GKP2 | GKP2 |
| 9/18/2014 | Lolos | Undefined | Undefined | Lolos | GKP2 | GKP2 |
| 9/19/2014 | Lolos | Undefined | Undefined | Lolos | GKP2 | GKP2 |
| 9/20/2014 | Lolos | Undefined | Undefined | Lolos | GKP2 | GKP2 |
| 9/21/2014 | Lolos | Undefined | Undefined | Lolos | GKP2 | GKP2 |
| 9/22/2014 | Lolos | Undefined | Undefined | Lolos | GKP2 | GKP2 |
| 9/23/2014 | Lolos | Undefined | Undefined | Lolos | GKP2 | GKP2 |
| 9/24/2014 | Lolos | Undefined | Undefined | Lolos | GKP2 | GKP2 |
| 9/25/2014 | Lolos | Undefined | Undefined | Lolos | GKP2 | GKP2 |
| 9/26/2014 | Lolos | Undefined | Undefined | Lolos | GKP2 | GKP2 |
| 9/27/2014 | Lolos | Undefined | Undefined | Lolos | GKP2 | GKP2 |
| 9/28/2014 | Lolos | Undefined | Undefined | Lolos | GKP2 | GKP2 |
| 9/29/2014 | Lolos | Undefined | Undefined | Lolos | GKP2 | GKP2 |
| 9/30/2014 | Lolos | Undefined | Undefined | Lolos | GKP2 | GKP2 |
| 10/1/2014 | Lolos | Undefined | Undefined | Lolos | GKP2 | GKP2 |

| Tanggal | Kernel: Dot | | | Kernel: Radial | | |
|------------|--------------|-----------------|---------------|----------------|-----------------|---------------|
| | Prediksi BJB | Prediksi ICUMSA | Prediksi Gula | Prediksi BJB | Prediksi ICUMSA | Prediksi Gula |
| 10/2/2014 | Lolos | Undefined | Undefined | Lolos | GKP2 | GKP2 |
| 10/3/2014 | Lolos | Undefined | Undefined | Lolos | GKP2 | GKP2 |
| 10/4/2014 | Lolos | Undefined | Undefined | Lolos | GKP2 | GKP2 |
| 10/5/2014 | Lolos | Undefined | Undefined | Lolos | GKP2 | GKP2 |
| 10/7/2014 | Lolos | Undefined | Undefined | Lolos | GKP2 | GKP2 |
| 10/8/2014 | Lolos | Undefined | Undefined | Lolos | GKP2 | GKP2 |
| 10/9/2014 | Lolos | Undefined | Undefined | Lolos | GKP2 | GKP2 |
| 10/10/2014 | Lolos | Undefined | Undefined | Lolos | GKP2 | GKP2 |
| 10/11/2014 | Lolos | Undefined | Undefined | Lolos | GKP2 | GKP2 |
| 10/12/2014 | Lolos | Undefined | Undefined | Lolos | GKP2 | GKP2 |
| 10/13/2014 | Lolos | Undefined | Undefined | Lolos | GKP2 | GKP2 |
| 10/14/2014 | Lolos | Undefined | Undefined | Lolos | GKP2 | GKP2 |
| 10/15/2014 | Lolos | Undefined | Undefined | Lolos | GKP2 | GKP2 |
| 10/16/2014 | Lolos | Undefined | Undefined | Lolos | GKP2 | GKP2 |
| 10/17/2014 | Lolos | Undefined | Undefined | Lolos | GKP2 | GKP2 |
| 10/18/2014 | Undefined | Undefined | Undefined | Lolos | GKP2 | GKP2 |
| 10/19/2014 | Lolos | Undefined | Undefined | Lolos | GKP2 | GKP2 |
| 10/20/2014 | Lolos | Undefined | Undefined | Lolos | GKP2 | GKP2 |
| 10/21/2014 | Lolos | Undefined | Undefined | Lolos | GKP2 | GKP2 |
| 10/22/2014 | Lolos | Undefined | Undefined | Lolos | GKP2 | GKP2 |
| 10/23/2014 | Lolos | Undefined | Undefined | Lolos | GKP2 | GKP2 |
| 10/24/2014 | Lolos | Undefined | Undefined | Lolos | GKP2 | GKP2 |

| Tanggal | Kernel: Dot | | | Kernel: Radial | | |
|------------|--------------|-----------------|---------------|----------------|-----------------|---------------|
| | Prediksi BJB | Prediksi ICUMSA | Prediksi Gula | Prediksi BJB | Prediksi ICUMSA | Prediksi Gula |
| 10/25/2014 | Lolos | Undefined | Undefined | Lolos | GKP2 | GKP2 |
| 10/26/2014 | Lolos | Undefined | Undefined | Lolos | GKP2 | GKP2 |
| 10/27/2014 | Lolos | Undefined | Undefined | Lolos | GKP2 | GKP2 |

Tabel D. 4 Hasil klasifikasi kualitas gula SVM GA 60%:40%

| Tanggal | Kernel: Dot | | | Kernel: Radial | | |
|-----------|--------------|-----------------|---------------|----------------|-----------------|---------------|
| | Prediksi BJB | Prediksi ICUMSA | Prediksi Gula | Prediksi BJB | Prediksi ICUMSA | Prediksi Gula |
| 8/28/2014 | Lolos | Undefined | Undefined | Lolos | Undefined | Undefined |
| 8/29/2014 | Lolos | Undefined | Undefined | Lolos | Undefined | Undefined |
| 8/30/2014 | Lolos | Undefined | Undefined | Lolos | Undefined | Undefined |
| 8/31/2014 | Lolos | Undefined | Undefined | Lolos | Undefined | Undefined |
| 9/1/2014 | Lolos | Undefined | Undefined | Lolos | Undefined | Undefined |
| 9/2/2014 | Lolos | Undefined | Undefined | Lolos | Undefined | Undefined |
| 9/3/2014 | Lolos | Undefined | Undefined | Lolos | Undefined | Undefined |
| 9/4/2014 | Lolos | Undefined | Undefined | Lolos | Undefined | Undefined |
| 9/5/2014 | Lolos | Undefined | Undefined | Lolos | Undefined | Undefined |
| 9/6/2014 | Lolos | Undefined | Undefined | Lolos | Undefined | Undefined |
| 9/7/2014 | Lolos | Undefined | Undefined | Lolos | Undefined | Undefined |
| 9/8/2014 | Lolos | Undefined | Undefined | Lolos | Undefined | Undefined |
| 9/9/2014 | Lolos | Undefined | Undefined | Lolos | Undefined | Undefined |

| Tanggal | Kernel: Dot | | | Kernel: Radial | | |
|-----------|--------------|-----------------|---------------|----------------|-----------------|---------------|
| | Prediksi BJB | Prediksi ICUMSA | Prediksi Gula | Prediksi BJB | Prediksi ICUMSA | Prediksi Gula |
| 9/10/2014 | Lolos | Undefined | Undefined | Lolos | Undefined | Undefined |
| 9/11/2014 | Lolos | Undefined | Undefined | Lolos | Undefined | Undefined |
| 9/12/2014 | Lolos | Undefined | Undefined | Lolos | Undefined | Undefined |
| 9/13/2014 | Lolos | Undefined | Undefined | Lolos | Undefined | Undefined |
| 9/14/2014 | Lolos | Undefined | Undefined | Lolos | Undefined | Undefined |
| 9/15/2014 | Lolos | Undefined | Undefined | Lolos | Undefined | Undefined |
| 9/16/2014 | Lolos | Undefined | Undefined | Lolos | Undefined | Undefined |
| 9/17/2014 | Lolos | Undefined | Undefined | Lolos | Undefined | Undefined |
| 9/18/2014 | Lolos | Undefined | Undefined | Lolos | Undefined | Undefined |
| 9/19/2014 | Lolos | Undefined | Undefined | Lolos | Undefined | Undefined |
| 9/20/2014 | Lolos | Undefined | Undefined | Lolos | Undefined | Undefined |
| 9/21/2014 | Lolos | Undefined | Undefined | Lolos | Undefined | Undefined |
| 9/22/2014 | Lolos | Undefined | Undefined | Lolos | Undefined | Undefined |
| 9/23/2014 | Lolos | Undefined | Undefined | Lolos | Undefined | Undefined |
| 9/24/2014 | Lolos | Undefined | Undefined | Lolos | Undefined | Undefined |
| 9/25/2014 | Lolos | Undefined | Undefined | Lolos | Undefined | Undefined |
| 9/26/2014 | Lolos | Undefined | Undefined | Lolos | Undefined | Undefined |
| 9/27/2014 | Lolos | Undefined | Undefined | Lolos | Undefined | Undefined |
| 9/28/2014 | Lolos | Undefined | Undefined | Lolos | Undefined | Undefined |
| 9/29/2014 | Lolos | Undefined | Undefined | Lolos | Undefined | Undefined |
| 9/30/2014 | Lolos | Undefined | Undefined | Lolos | Undefined | Undefined |
| 10/1/2014 | Lolos | Undefined | Undefined | Lolos | Undefined | Undefined |

| Tanggal | Kernel: Dot | | | Kernel: Radial | | |
|------------|--------------|-----------------|---------------|----------------|-----------------|---------------|
| | Prediksi BJB | Prediksi ICUMSA | Prediksi Gula | Prediksi BJB | Prediksi ICUMSA | Prediksi Gula |
| 10/2/2014 | Lolos | Undefined | Undefined | Lolos | Undefined | Undefined |
| 10/3/2014 | Lolos | Undefined | Undefined | Lolos | Undefined | Undefined |
| 10/4/2014 | Lolos | Undefined | Undefined | Lolos | Undefined | Undefined |
| 10/5/2014 | Lolos | Undefined | Undefined | Lolos | Undefined | Undefined |
| 10/7/2014 | Lolos | GKP1 | GKP1 | Lolos | Undefined | Undefined |
| 10/8/2014 | Lolos | Undefined | Undefined | Lolos | Undefined | Undefined |
| 10/9/2014 | Lolos | Undefined | Undefined | Lolos | Undefined | Undefined |
| 10/10/2014 | Lolos | Undefined | Undefined | Lolos | Undefined | Undefined |
| 10/11/2014 | Lolos | Undefined | Undefined | Lolos | Undefined | Undefined |
| 10/12/2014 | Lolos | Undefined | Undefined | Lolos | Undefined | Undefined |
| 10/13/2014 | Lolos | Undefined | Undefined | Lolos | Undefined | Undefined |
| 10/14/2014 | Lolos | Undefined | Undefined | Lolos | Undefined | Undefined |
| 10/15/2014 | Lolos | Undefined | Undefined | Lolos | Undefined | Undefined |
| 10/16/2014 | Lolos | Undefined | Undefined | Lolos | Undefined | Undefined |
| 10/17/2014 | Lolos | Undefined | Undefined | Lolos | Undefined | Undefined |
| 10/18/2014 | Undefined | Undefined | Undefined | Lolos | Undefined | Undefined |
| 10/19/2014 | Lolos | Undefined | Undefined | Lolos | Undefined | Undefined |
| 10/20/2014 | Lolos | Undefined | Undefined | Lolos | Undefined | Undefined |
| 10/21/2014 | Lolos | Undefined | Undefined | Lolos | Undefined | Undefined |
| 10/22/2014 | Lolos | Undefined | Undefined | Lolos | Undefined | Undefined |
| 10/23/2014 | Lolos | Undefined | Undefined | Lolos | Undefined | Undefined |
| 10/24/2014 | Lolos | Undefined | Undefined | Lolos | Undefined | Undefined |

| Tanggal | Kernel: Dot | | | Kernel: Radial | | |
|------------|--------------|-----------------|---------------|----------------|-----------------|---------------|
| | Prediksi BJB | Prediksi ICUMSA | Prediksi Gula | Prediksi BJB | Prediksi ICUMSA | Prediksi Gula |
| 10/25/2014 | Lolos | Undefined | Undefined | Lolos | Undefined | Undefined |
| 10/26/2014 | Lolos | Undefined | Undefined | Lolos | Undefined | Undefined |
| 10/27/2014 | Lolos | Undefined | Undefined | Lolos | Undefined | Undefined |

LAMPIRAN E : CONTOH HASIL PERHITUNGAN PREDIKSI SVM

- Data Aktual

| X1 | X2 | Y |
|------|-----|----|
| 35 | 110 | 20 |
| 45 | 125 | 9 |
| 40 | 150 | 17 |
| 37.5 | 125 | 12 |

- Matriks hasil mapping (Kernel Dot)

5075 6525 5800 5437.5
5950 7650 6800 6375
6650 8550 7600 7125
5687.5 7312.5 6500 6093.75

- Fungsi Lagrange

$$(\alpha_1 + \alpha_2 + \alpha_3 + \alpha_4) - (((5075 * \alpha_1 * \alpha_1) + (5950 * \alpha_1 * \alpha_2) + (6650 * \alpha_1 * \alpha_3) + (5687.5 * \alpha_1 * \alpha_4) + (6525 * \alpha_2 * \alpha_1) + (7650 * \alpha_2 * \alpha_2) + (8550 * \alpha_2 * \alpha_3) + (7312.5 * \alpha_2 * \alpha_4) + (5800 * \alpha_3 * \alpha_1) + (6800 * \alpha_3 * \alpha_2) + (7600 * \alpha_3 * \alpha_3) + (6500 * \alpha_3 * \alpha_4) + (5437.5 * \alpha_4 * \alpha_1) + (6375 * \alpha_4 * \alpha_2) + (7125 * \alpha_4 * \alpha_3) + (6093.75 * \alpha_4 * \alpha_4)) / 2$$

- Nilai bias = 14.5

- Nilai weight X1= 0.348

Nilai weight X2= 0.348

- Hasil prediksi

| X1 | X2 | Y | Hasil prediksi Y |
|----|-----|----|------------------|
| 35 | 110 | 20 | 15.30 |
| 45 | 125 | 9 | 15.42 |

| X1 | X2 | Y | Hasil prediksi Y |
|-----------|-----------|----------|-------------------------|
| 40 | 150 | 17 | 15.58 |
| 37.5 | 125 | 12 | 15.41 |